

ผลของวัสดุบูรณะที่สามารถปลดปล่อยฟลูออิร์เด็ตต่อความแข็งระดับจุลภาคที่พื้นผิวนairoยผู้ระยะ
เริ่มต้นของฟันซีข้างเคียง : การทดลองในห้องปฏิบัติการ



จุฬาลงกรณ์มหาวิทยาลัย
CHULALONGKORN UNIVERSITY

วิทยานิพนธ์นี้เป็นส่วนหนึ่งของการศึกษาตามหลักสูตรปริญญาวิทยาศาสตรมหาบัณฑิต
สาขาวิชาทันตกรรมสำหรับเด็ก ภาควิชาทันตกรรมสำหรับเด็ก
คณะทันตแพทยศาสตร์ จุฬาลงกรณ์มหาวิทยาลัย
ปีการศึกษา 2563
ลิขสิทธิ์ของจุฬาลงกรณ์มหาวิทยาลัย



จุฬาลงกรณ์มหาวิทยาลัย

CHULALONGKORN UNIVERSITY

THE EFFECTS OF FLUORIDE-RELEASING MATERIALS ON SURFACE MICROHARDNESS OF
ADJACENT INITIAL INTERPROXIMAL CARIES: IN VITRO STUDY



A Thesis Submitted in Partial Fulfillment of the Requirements
for the Degree of Master of Science in Pediatric Dentistry
Department of Pediatric Dentistry
FACULTY OF DENTISTRY
Chulalongkorn University
Academic Year 2020
Copyright of Chulalongkorn University

หัวข้อวิทยานิพนธ์	ผลของวัสดุบุรณะที่สามารถปลดปล่อยฟลูออไรเดต่อความ แข็งระดับจุลภาคที่พื้นผิวนairoยผู้ระยะเริ่มต้นของพื้นที่
โดย	ช.ส.ทิพย์ธิดา ชีรรักษ์
สาขาวิชา	ทันตกรรมสำหรับเด็ก
อาจารย์ที่ปรึกษาวิทยานิพนธ์หลัก	ผู้ช่วยศาสตราจารย์ ทันตแพทย์หญิง ดร.วรรณกร ศรีอาเจ

คณะกรรมการนี้เป็นส่วนหนึ่ง
ของการศึกษาตามหลักสูตรบริโภคภารยาศาสตร์มหาบัณฑิต
ของการศึกษาตามหลักสูตรบริโภคภารยาศาสตร์มหาบัณฑิต

คณะกรรมการทันตแพทยศาสตร์

(รองศาสตราจารย์ ทันตแพทย์ ดร.พรชัย จันศิษย์ยานนท์)

คณะกรรมการสอบบวิทยานิพนธ์

ประธานกรรมการ

(ศาสตราจารย์(พิเศษ) ทันตแพทย์หญิงชุดามา ไตรรัตน์วรกุล)

อาจารย์ที่ปรึกษาวิทยานิพนธ์หลัก

(ผู้ช่วยศาสตราจารย์ ทันตแพทย์หญิง ดร.วรรณกร ศรีอาเจ)

กรรมการ

(รองศาสตราจารย์ ทันตแพทย์หญิง ดร.ทิพวรรณ ธรรมวิชานานนท์)

กรรมการภายนอกมหาวิทยาลัย

(ผู้ช่วยศาสตราจารย์ ทันตแพทย์หญิง ดร.อ้อยทิพย์ ชาญการค้า)

ทิพย์ธิดา ธีรรัชต์ : ผลของวัสดุบูรณะที่สามารถปลดปล่อยฟลูออไรเดต่อความแข็งระดับจุลภาคที่พื้นผิวน้อยในรอยผุรยะเริ่มต้นของฟันซี่ข้างเคียง : การทดลองในห้องปฏิบัติการ. (

THE EFFECTS OF FLUORIDE-RELEASING MATERIALS ON SURFACE MICROHARDNESS OF ADJACENT INITIAL INTERPROXIMAL CAVITIES: IN VITRO STUDY) อ.ที่ปรึกษาหลัก : ผศ. ทญ. ดร.วรรณกร ศรีอาจ

จุดประสงค์: เพื่อเปรียบเทียบความแข็งระดับจุลภาคที่พื้นผิวน้อยในรอยผุรยะเริ่มต้นของชิ้นฟันที่ติดกับวัสดุบูรณะอัลคาไซต์ แก้วไอโอดีโนเมอร์ และคอมโพสิตเรซินชนิดไม่ปลดปล่อยฟลูออไรเดต วิธีการวิจัย: นำชิ้นฟันที่ตัดจากด้านประชิดของฟันกรามน้อยแท็บน จำนวน 30 ชิ้นมาฝังในอะคริลิกแล้ววัดความแข็งผิวระดับจุลภาคที่พื้นผิวด้วยหัวกดนูป เพื่อบันทึกเป็นค่าตั้งต้นและแบ่งกลุ่ม 3 กลุ่ม (1)กลุ่มวัสดุแก้วไอโอดีโนเมอร์ 10 ชิ้น (2)กลุ่มวัสดุอัลคาไซต์ 10 ชิ้น (3)กลุ่มวัสดุคอมโพสิตเรซินชนิดไม่ปลดปล่อยฟลูออไรเดต 10 ชิ้น แล้วจึงนำชิ้นฟันมาสร้างรอยผุจำลอง ทำการวัดความแข็งผิวระดับจุลภาคที่พื้นผิวของรอยผุจำลอง จากนั้นนำชิ้นฟันไปติดกับบล็อกอะคริลิกที่ทำการบูรณะด้านประชิดด้วยวัสดุบูรณะตามกลุ่ม แล้วนำไปผ่านกระบวนการเลียนแบบสภาพการเปลี่ยนแปลงความเป็นกรดด่างในช่องปากเป็นเวลา 7 วันแล้วจึงนำมารวัดความแข็งผิวระดับจุลภาคที่พื้นผิว คำนวณหาร้อยละการคืนกลับความแข็งผิวแล้วเปรียบเทียบระหว่าง 3 กลุ่มด้วยสถิติ Kruskal-Wallis Test โดยกำหนดระดับนัยสำคัญที่ 0.05 และทดสอบความแตกต่างในแต่ละคู่ด้วยสถิติ Mann-Whitney Test โดยมีระดับนัยสำคัญที่ 0.017 ซึ่งเป็นระดับนัยสำคัญที่ผ่านการทดสอบ Bonferroni multiple testing correction ผลการศึกษา: ค่าร้อยละการคืนกลับความแข็งผิวระดับจุลภาคของกลุ่มวัสดุอัลคาไซต์มีค่าเฉลี่ยอันดับมากที่สุดเป็น 25.5 ส่วนกลุ่มแก้วไอโอดีโนเมอร์และกลุ่มคอมโพสิตเรซินเป็น 15.5 และ 5.5 ตามลำดับ ซึ่งเมื่อทำการเปรียบเทียบค่าร้อยละการคืนกลับความแข็งผิวระดับจุลภาคระหว่าง 3 กลุ่มพบว่าทุกกลุ่มมีความแตกต่างกันอย่างมีนัยสำคัญ ($p < 0.017$) สรุป: การบูรณะด้วยวัสดุอัลคาไซต์ให้ผลการคืนกลับแร่ร่าตุในรอยผุรยะเริ่มต้นของชิ้นฟันได้มากกว่าวัสดุบูรณะแก้วไอโอดีโนเมอร์และคอมโพสิตเรซินอย่างมีนัยสำคัญทางสถิติในห้องปฏิบัติการ วัสดุอัลคาไซต์จึงถือเป็นวัสดุหนึ่งที่สามารถเลือกใช้ในกรณีที่ต้องบูรณะฟันคลาสทู ในกรณีที่ฟันซี่ข้างเคียงมีรอยผุรยะเริ่มต้นเพื่อยับยั้งการลุกลามของรอยโรคฟันผุ

สาขาวิชา ทันตกรรมสำหรับเด็ก

ลายมือชื่อนิสิต

ปีการศึกษา 2563

ลายมือชื่อ อ.ที่ปรึกษาหลัก

6175819932 : MAJOR PEDIATRIC DENTISTRY

KEYWORD: Remineralization, Initial caries, Surface Microhardness, Glass ionomer cement, EQUIA Forte, Alkasite, Cention N

Thipthida Theerarath : THE EFFECTS OF FLUORIDE-RELEASING MATERIALS ON SURFACE MICROHARDNESS OF ADJACENT INITIAL INTERPROXIMAL CARIES: IN VITRO STUDY. Advisor: Asst. Prof. WANNAKORN SRIARJ, D.D.S. , Ph.D.

Objective: To compare surface microhardness of Alkasite , Glass ionomer cement, and Resin composite of incipient artificial interproximal caries. *Methods:* Human enamel specimens were randomly assigned to 3 groups: Alkasite (Cention N®) (n = 10) Glass ionomer cement (EQUIA Forte®) (n = 10) and Composite resin (Filtek Z350) (n = 10). The baseline hardness was determined using Knoop microhardness. Artificial caries was formed in the specimen and put in contact with proximal restorative materials then submitted to 7 days of pH-cycling. Knoop microhardness test was determined after artificial caries formation and pH-cycling. The differences in the percentage of surface hardness recovery among the groups were compared by Kruskal-Wallis Test. Mann-Whitney Test with Bonferroni multiple testing correction was used for between-groups comparisons. *Results:* There was a significant difference in the percentage of surface hardness recovery between the three groups ($p < 0.017$).The percentage of surface hardness recovery of the Alkasite group was increased significantly compared to other materials. *Conclusion:* Alkasite restorations can affect remineralization of incipient artificial interproximal caries to a much greater extent than do glass ionomer cement and resin composite restorations. Alkasite could be an alternative restoration to arrest initial enamel lesions in approximal adjacent surfaces.

Field of Study: Pediatric Dentistry

Student's Signature

Academic Year: 2020

Advisor's Signature

กิตติกรรมประกาศ

ขอขอบพระคุณผู้ช่วยศาสตราจารย์ ทันตแพทย์หญิง ดร.วรรณกร ศรีอาจ อารยที่ปรึกษา
วิทยานิพนธ์ ผู้สละเวลาให้การดูแลช่วยเหลือ ให้คำปรึกษาและคำแนะนำจนวิทยานิพนธ์ฉบับนี้สำเร็จ^{ลุล่วงไปด้วยดี}

ขอขอบพระคุณคณะกรรมการสอบโครงร่างวิทยานิพนธ์และสอบวิทยานิพนธ์ทุกท่านที่ให้
คำแนะนำ ชี้แนะข้อบกพร่องที่ควรปรับปรุงแก้ไขในวิทยานิพนธ์ฉบับนี้

ขอขอบพระคุณบุคลากรศูนย์วิจัยชีววิทยาช่องปาก ศูนย์วิจัยทันตวัสดุศาสตร์และภาควิชา^{ชีวเคมี คณะทันตแพทยศาสตร์ จุฬาลงกรณ์มหาวิทยาลัย}ที่เอื้อเพื่อสถานที่ วัสดุและอุปกรณ์ ตลอดจน^{ให้คำปรึกษาในการดำเนินงานวิจัย}

สุดท้ายนี้ ขอขอบพระคุณครอบครัว และเพื่อนพี่น้องที่เคยสนับสนุนและเป็นกำลังใจในการ^{เรียนและทำวิจัยเสมอมา ประโยชน์อันเกิดจากการวิจัยนี้ ขอขอบแก่ผู้มีพระคุณทุกท่านที่มีส่วนทำให้^{งานวิจัยนี้สำเร็จลุล่วงไปได้ด้วยดี}}

ทิพย์ธิดา ชีรรัฐ

จุฬาลงกรณ์มหาวิทยาลัย
CHULALONGKORN UNIVERSITY

สารบัญ

หน้า

.....	ค
บทคัดย่อภาษาไทย.....	ค
.....	ง
บทคัดย่อภาษาอังกฤษ.....	ง
กิตติกรรมประกาศ.....	จ
สารบัญ.....	ฉ
สารบัญตาราง.....	ภ
สารบัญรูปภาพ.....	ภ
บทที่ 1 บทนำ	1
ที่มาและความสำคัญของปัญหา	1
คำนำการวิจัย	4
วัตถุประสงค์ของการวิจัย	4
สมมติฐานการวิจัย	4
ขอบเขตการวิจัย	4
คำจำกัดความที่ใช้ในงานวิจัย	4
ปัญหาทางจริยธรรม.....	4
ประโยชน์ที่คาดว่าจะได้รับ.....	5
ข้อจำกัดของการวิจัย	5
คำสำคัญ.....	5
รูปแบบการวิจัย	5
กรอบแนวคิดในการวิจัย	5

บทที่ 2 เอกสารและงานวิจัยที่เกี่ยวข้อง	6
โรคฟันผุ.....	6
แนวทางการบูรณะรอยโรคฟันผุ.....	7
วัสดุประเภทคอมโพสิตเรซิน	8
วัสดุประเภทแก้วไอโอดีโนเมอร์	10
วัสดุประเภทอลคาไซเต็ด (Alkasite)	14
การคืนกลับของแร่ธาตุในรอยผุจะยารีมต้นของฟันข้างเคียงที่สัมผัสกับฟันที่ได้รับการบูรณะ	22
การวัดผลการสูญเสียและคืนกลับแร่ธาตุ.....	29
บทที่ 3 การดำเนินการวิจัย	34
วัสดุและอุปกรณ์ที่ใช้ในการวิจัย	35
ขั้นตอนดำเนินงานวิจัย	37
บทที่ 4 ผลการดำเนินการวิจัย.....	45
บทที่ 5 สรุปผลการวิจัย อภิปรายผลและข้อเสนอแนะ	48
บรรณานุกรม.....	52
ภาคผนวก.....	61
ภาคผนวก ก เอกสารผลพิจารณาจuryกรรมการวิจัยในมนุษย์	62
ภาคผนวก ข เอกสารผลการประเมินความปลอดภัยทางชีวภาพ	63
ภาคผนวก ค เอกสารสำหรับขอฟันเพื่อใช้ในการวิจัย	64
ภาคผนวก ง เอกสารยินยอมมอบฟันเพื่อใช้ในการทำวิจัย	65
ภาคผนวก จ รายละเอียดข้อมูลและการวิเคราะห์ข้อมูลทางสถิติ	66
ประวัติผู้เขียน	78



จุฬาลงกรณ์มหาวิทยาลัย
CHULALONGKORN UNIVERSITY



จุฬาลงกรณ์มหาวิทยาลัย

CHULALONGKORN UNIVERSITY



จุฬาลงกรณ์มหาวิทยาลัย
CHULALONGKORN UNIVERSITY

สารบัญตาราง

ตาราง 1 แสดงตัวอย่างวัสดุแก้วไวน์เมอร์ชนิดดั้งเดิมและ
วัสดุแก้วไวน์เมอร์ชนิดดัดแปลงด้วยเรซิน 11

ตาราง 2 แสดงคุณสมบัติของอนุภาคในส่วนของอัลคาไซต์ 14

ตาราง 3 แสดงคุณสมบัติโน้มโนร์ในส่วนน้ำของอัลคาไซต์ 15

ตาราง 4 แสดงการศึกษาการคืนกลับของแร่ธาตุในรอยผุระยะเริ่มต้นของพื้นข้างเคียงที่สัมผัสกับ
พื้นที่ได้รับการบูรณะด้วยวัสดุที่มีการปลดปล่อยฟลูออิร์ด 24

ตาราง 5 ค่าเฉลี่ย (Mean) และส่วนเบี่ยงเบนมาตรฐาน (SD) ของความแข็งผิวระดับ
จุลภาคตั้งต้น เมื่อทำรอยผุจำลอง หลังผ่านการจำลองสภาพช่องปากและร้อยละ
การคืนกลับความแข็งผิวระดับจุลภาค 46

ตาราง 6 ค่าเฉลี่ยอันดับ (mean rank) และค่ามัธยฐาน (median) ของความแข็งผิวระดับจุลภาค
หลังผ่านการจำลองสภาพช่องปากและค่าร้อยละการคืนกลับความแข็งผิวระดับจุลภาค 46

สารบัญรูปภาพ

รูปภาพ 1	แสดงสมดุลของการเกิดกระบวนการเสียแร่ธาตุ และกระบวนการคืนกลับแร่ธาตุ	6
รูปภาพ 2	แสดงปฏิกริยาการแข็งตัวของวัสดุแก้วไอโอดีนเมอร์	10
รูปภาพ 3	แสดงความสามารถในการปลดปล่อยประจุฟลูอิร์ด และประจุแคลเซียมในสภาพเป็นกรดและเป็นกลางโดยแบ่งตามลักษณะการบ่ม	18
รูปภาพ 4	แสดงความสามารถในการปลดปล่อยประจุฟลูอิร์ดในสภาพเป็นกรดของวัสดุ เช่นที่นี่ เอ็นเทียบกับวัสดุแก้วไอโอดีนเมอร์ชนิดอื่น ๆ	18
รูปภาพ 5	แสดงความสามารถในการปลดปล่อยประจุแคลเซียมในสภาพเป็นกรดของวัสดุ เช่นที่นี่ เอ็นเทียบกับวัสดุแก้วไอโอดีนเมอร์ชนิดอื่น ๆ	18
รูปภาพ 6	แสดงความสามารถปรับสภาพความเป็นกรดให้เป็นกลางของวัสดุ เช่นที่นี่ เอ็น	19
รูปภาพ 7	แสดงผลการประเมินทางคลินิกของวัสดุบูรณะ เช่นที่นี่ เอ็น ตามเกณฑ์ FDI ในรูปแบบร้อยละ	20
รูปภาพ 8	แสดงภาพพื้นที่บูรณะด้วยวัสดุ เช่นที่นี่ เอ็น วัสดุแก้วไอโอดีนเมอร์ชนิดฟูจิโนะและชนิดคีแทคโนลาร์	22
รูปภาพ 9	แสดงภาพกล้องจุลทรรศน์ชนิดแสงโพลาไรซ์และหลักการทำงาน	30
รูปภาพ 10	แสดงหัวกดวิกเกอร์ส (Vickers)	32
รูปภาพ 11	แสดงหัวกดนูป (Knoop)	32
รูปภาพ 12	กราฟค่าเฉลี่ยของขั้นตัวอย่างการคืนกลับความแข็งผิวระดับจุลภาคในรอยผุจำลองเมื่อสัมผัสถกับวัสดุ	47

บทที่ 1 บทนำ

ที่มาและความสำคัญของปัญหา

โรคฟันผุเป็นโรคไม่ติดต่อที่ก่อให้เกิดปัญหาสุขภาพกับประชากรทั่วโลกมาอย่างยาวนาน(1) จากรายงานสถานการณ์ภาระโรค (Global burden diseases) ที่สำรวจจากประชากรทั่วโลกในปี 2016 พบร่วมกับโรคในช่องปากส่งผลกระทบต่อประชากรกว่า 3.58 ล้านล้านคนหรือประมาณครึ่งหนึ่ง ของประชากรทั่วโลก โดยพบว่าเด็กจากทั่วโลกมากถึง 486 ล้านคนที่ได้รับความเจ็บปวดจากการมีฟันน้ำนมผุ(2) ซึ่งสอดคล้องกับผลการสำรวจสภาวะสุขภาพช่องปากแห่งชาติครั้งที่ 8 ของประเทศไทยในปีพ.ศ. 2560 ที่พบว่าฟันผุถือเป็นสาเหตุหลักของการเจ็บปวดและสูญเสียฟันน้ำนมในเด็กก่อนวัยเรียน ผลการสำรวจพบว่าความชุกของโรคฟันผุในฟันน้ำนมในเด็กอายุ 3 ปีมีมากถึงร้อยละ 52.9 และเพิ่มขึ้นสูงถึงร้อยละ 75.6 เมื่อเด็กอายุ 5 ปี(3) หากฟันผุเหล่านั้นไม่ได้รับการรักษาอย่างสม่ำเสมอ รับประทานอาหารหรือนอนบนหลังได้ตามปกติ และอาจรุนแรงจนต้องเข้ารับการรักษาในโรงพยาบาล และต้องขาดเรียนทำให้เกิดผลเสียต่อประสิทธิภาพในการเรียน รวมถึงต้องเสียเงินจำนวนมากเป็นค่ารักษา(4)

ด้านประชิดเป็นบริเวณที่มีความชุกในการเกิดฟันผุสูงทั้งในฟันรามน้ำนมและฟันรามแท้(5) เนื่องจากมีลักษณะเป็นจุดสัมผัสเลือดต่อการสะสมของคราบจุลินทรีย์ และเป็นบริเวณที่ทำความสะอาดสะอาดยาก แต่เนื่องจากด้านประชิดไม่ได้รับแรงจากการบดเคี้ยวโดยตรงเมื่อกัดroyผู้ระยะเริ่มแรก แม้จะมีการสูญเสียแร่ธาตุในชั้นเนื้อฟันก็อาจไม่เกิดรอยผุเป็นโพรง(6, 7) ดังนั้นหากตรวจสอบฟันผุ ด้านประชิดและให้การวินิจฉัยได้ตั้งแต่ระยะเริ่มแรกที่รอยผุยังไม่เป็นโพรง จะสามารถใช้วิธีการรักษาแบบไม่ลุกล้ำ (Noninvasive) ซึ่งไม่ต้องทำการกรอและบูรณะให้สูญเสียเนื้อฟันที่จะนำไปสู่วัฏจักร อาการที่ห่างการบูรณะฟันในอนาคต (Repeat restoration cycle)(8, 9)

ฟลูออไรด์มีบทบาทสำคัญในการป้องกันและยับยั้งการลุกลามของฟันผุ(10) เนื่องจากมีกลไกสำคัญในการป้องกันฟันผุเฉพาะที่ 3 กลไก นั่นคือ ยับยั้งการสูญเสียการสูญเสียแร่ธาตุ (demineralization) ส่งเสริมการคืนกลับของแร่ธาตุ (remineralization) และยับยั้งกระบวนการเมtabolism (metabolism) ของแบคทีเรีย(11) ต่อมาได้มีการการนำฟลูออไรด์มาใช้ในการพัฒนาวัสดุบูรณะให้มีความสามารถในการปลดปล่อยฟลูออไรด์เพื่อหวังผลเพิ่มคุณสมบัติ้านทานการผุ(12)

หนึ่งในวัสดุบูรณะที่นิยมใช้ในการส่งเสริมการคืนกลับแร่ร่าตุของรอยผุเริ่มต้นคือ แก้วไอโอนเมอร์ชีเมนต์

แก้วไอโอนเมอร์ชีเมนต์เป็นวัสดุบูรณะที่ได้รับความนิยม เนื่องจากสามารถปลดปล่อยและสะสมฟลูออิร์ดจึงมีประสิทธิภาพในการต้านทานพื้นผุ รวมถึงให้การยึดติดที่ดีทั้งกับเคลือบพื้นและเนื้อพื้นด้วยพันธะเคมี มีความแนบสนิทบริเวณขอบรอยวัสดุบูรณะ ช่วยลดการร้าวซึมบริเวณขอบอีกทั้งมีความเข้ากันทางชีวภาพที่ดี และมีค่าสัมประสิทธิ์การขยายตัวเมื่อมีการเปลี่ยนแปลงอุณหภูมิที่ใกล้เคียงกับเนื้อพื้น แต่แก้วไอโอนเมอร์ชีเมนต์ก็ยังมีข้อด้อยกว่าเรซินคอมโพสิตในเรื่องความไวต่อความชื้นโดยเฉพาะช่วงแรกที่ทำการบูรณะ คุณสมบัติทางกายภาพที่ไม่แข็งแรงและต้านทานต่อการสึกตรา รวมถึงวัสดุมีสีขุนทับไม่สวยงาม(13-15) เนื่องจากคุณสมบัติในการปลดปล่อยฟลูออิร์ด จึงมีการศึกษาคืนกลับของแร่ร่าตุในรอยผุรุยะเริ่มต้นของพื้นข้างเดียวที่สัมผัสกับพื้นที่ได้รับการบูรณะบริเวณด้านประชิด(คลาสทู)ด้วยวัสดุบูรณะแก้ว ไอโอนเมอร์ทั้งในห้องปฏิบัติการและในทางคลินิกพบว่าผลการศึกษาส่วนใหญ่ตรงกันว่าวัสดุแก้วไอโอนเมอร์ทั้งชนิดดั้งเดิมและชนิดดัดแปลงมีความสามารถในการคืนกลับของแร่ร่าตุและช่วยยับยั้งการสูญเสียแร่ร่าตุบริเวณรอยผุรุยะเริ่มต้นของพื้นข้างเดียวที่มีการบูรณะด้วยแก้วไอโอนเมอร์(12, 16-23)

เซนทิน เอ็น (Cention N[®]) เป็นวัสดุบูรณะสีเหมือนพื้นที่จัดอยู่ในกลุ่มอลคาไซต์ (Alkasite) ซึ่งเป็นกลุ่มย่อยประเภทใหม่ของวัสดุบูรณะ มีวัสดุอุดแทรก (filler) เป็นอัลคาไลน์เจิ่งทำให้มีความสามารถในการปลดปล่อยประจุฟลูออิร์ด ประจุแคลเซียมและประจุไฮดรอกไซต์ได้ สามารถใช้งานแบบบล็อกฟิล์ (bulk fill) และมีความแข็งแรงทนทานเมื่อทำการการบ่มตัวสองแบบ (dual-curing) อีกทั้งยังมีสวยงามทั้งสีและความโปร่งใสที่เหมือนพื้น(24) การศึกษาวิจัยในวัสดุบูรณะเซนทิน เอ็นส่วนมากเป็นการศึกษาในห้องปฏิบัติการ สำหรับการศึกษาที่ติดตามผลทางคลินิกของวัสดุเซนทิน เอ็นยังมีไม่นักนักและส่วนมากเป็นการศึกษาโดยบริษัทผู้ผลิต การศึกษาในห้องปฏิบัติการที่มีในปัจจุบัน ได้แก่ การศึกษาคุณสมบัติวัสดุบูรณะในเรื่องความแข็งแรงโดยศึกษาจากความแข็งแรงดัด(25, 26) ความแข็งแรงทางแรงกด(25, 27) ความสามารถในการต้านทานการแตกของวัสดุที่ใช้บูรณะด้านประชิดของพื้นหลังแบบคลาสทู(28) ความสามารถในการปลดปล่อยประจุฟลูออิร์ด ประจุแคลเซียมและประจุไฮดรอกไซต์(24, 29) ส่วนความสามารถในการยับยั้งการสูญเสียแร่ร่าตุมีการศึกษาของบริษัทผู้ผลิตโดยพิจารณาจากความแข็งผิวพื้นในเคลือบพื้นจากบริเวณที่อยู่ติดกับวัสดุ เซนทิน เอ็นเทียบกับวัสดุคอมโพสิตเรซินที่ไม่มีการปลดปล่อยประจุใด ๆ ซึ่งพบว่าความแข็งผิวพื้นในเคลือบพื้นบริเวณที่อยู่ติดกับวัสดุเซนทิน เอ็นมากกว่าวัสดุคอมโพสิตเรซินอย่างมี

นัยสำคัญจึงสรุปว่าวัสดุเชนที่นิ เอ็นมีความสามารถในการยับยั้งการสูญเสียแร่ธาตุ(24) ส่วนการศึกษาของ Donly และคณะ(19) ที่ทำการศึกษาความสามารถในการยับยั้งการสูญเสียแร่ธาตุของเคลือบฟันที่บูรณะบริเวณคอฟันด้วยวัสดุ 3 ชนิด ได้แก่ วัสดุคอมโพสิตเรซิโน่ที่ไม่มีการปลดปล่อยฟลูออโรด, วัสดุแก้วไอโอดีนเมอร์ และวัสดุเชนที่นิ เอ็นพบว่าการสูญเสียแร่ธาตุในฟันที่บูรณะด้วยวัสดุแก้วไอโอดีนเมอร์ชนิดวิตรีเมอร์ (Vitremer) มีขนาดเล็กที่สุด รองลงมาเป็นวัสดุเชนที่นิ เอ็นและวัสดุคอมโพสิตเรซิโน่ชนิดแซด 100 ($Z100$) ตามลำดับ

จากการทบทวนวรรณกรรมพบว่าการศึกษาส่วนมากพบว่าวัสดุเชนที่นิ เอ็นมีความแข็งแรงทนทานในการบูรณะ สามารถใช้บูรณะด้านประชิดในฟันกรามได้ รวมถึงความสามารถในการปลดปล่อยประจุฟลูออโรด ประจุแคลเซียมและประจุไฮดรอกไซซ์ดีซึ่งนำไปสู่ความสามารถในการส่งเสริมคืนกลับแร่ธาตุและยับยั้งการสูญเสียแร่ธาตุ แต่จะเห็นได้ว่ายังไม่มีการศึกษาการคืนกลับของแร่ธาตุในรอยผุรยะเริ่มต้นของฟันข้างเคียงที่สัมผัสกับฟันที่ได้รับการบูรณะด้านประชิดด้วยวัสดุบูรณะเชนที่นิ เอ็น ดังนั้นในการศึกษานี้จึงต้องการเปรียบเทียบการคืนกลับของแร่ธาตุในรอยผุรยะเริ่มต้นของชิ้นฟันที่อยู่ติดกับวัสดุบูรณะเชนที่นิ เอ็น แก้วไอโอดีนเมอร์และคอมโพสิตเรซิโน่



คำนำการวิจัย

การบูรณะด้วยแก้วไอโอดีโนเมอร์ อัลคาไซต์ และคอมโพสิตเรซินชนิดไม่ปลดปล่อยฟลูออไรด์ สามารถส่งเสริมการคืนกลับแร่ร่าตุในรอยผุรยะเริ่มต้นของชิ้นฟันที่อยู่ติดกับวัสดุบูรณะได้แตกต่างกันหรือไม่

วัตถุประสงค์ของการวิจัย

เพื่อเปรียบเทียบการคืนกลับแร่ร่าตุในรอยผุรยะเริ่มต้นของชิ้นฟันที่ติดกับวัสดุบูรณะแก้วไอโอดีโนเมอร์ อัลคาไซต์ และคอมโพสิตเรซินชนิดไม่ปลดปล่อยฟลูออไรด์ โดยประเมินจากความแข็งระดับจุลภาคที่พื้นผิว

สมมติฐานการวิจัย

ความแข็งระดับจุลภาคที่พื้นผิวในรอยผุรยะเริ่มต้นของชิ้นฟันที่อยู่ติดกับวัสดุบูรณะแก้วไอโอดีโนเมอร์ อัลคาไซต์ และคอมโพสิตเรซินชนิดไม่ปลดปล่อยฟลูออไรด์จะแตกต่างกัน

ขอบเขตการวิจัย

การวิจัยนี้เป็นการศึกษาความแข็งระดับจุลภาคที่พื้นผิวในรอยผุรยะเริ่มต้นของชิ้นฟันที่อยู่ติดกับวัสดุบูรณะวัสดุแก้วไอโอดีโนเมอร์ อัลคาไซต์และคอมโพสิตเรซินชนิดไม่ปลดปล่อยฟลูออไรด์ในภาวะจำลองในช่องปากโดยใช้ชิ้นฟันจากพัฒนน้อยแท็บนซีที่ 1 หรือ 2 ที่ถอนแล้ว

คำจำกัดความที่ใช้ในงานวิจัย

1. ชิ้นฟันตัวอย่าง คือ ชิ้นฟันที่ถูกตัดในขนาดที่กำหนด (กว้าง 2 มิลลิเมตร ยาว 3 มิลลิเมตร) จากด้านประชิดของพัฒนน้อยแท็บน ซีที่ 1 หรือ 2 ที่ปราศจากการอยร้าว รอยผุ วัสดุบูรณะ หรือความผิดปกติของผิวฟัน

2. รอยโรคผุรยะเริ่มต้น (Initial caries) คือ รอยผุในชิ้นเคลือบฟันที่เกิดจากการสูญเสียแร่ร่าตุ แต่ยังไม่มีการทำลายโครงสร้างของชิ้นเคลือบฟันจนเป็นโพรงฟัน ในทางคลินิกพบลักษณะเคลือบฟันเป็นสีขาวขุ่น(30)

3. แก้วไอโอดีโนเมอร์ หมายถึง แก้วไอโอดีโนเมอร์ ที่มีชื่อทางการค้าว่า EQUIA Forte®

4. อัลคาไซต์ หมายถึง อัลคาไซต์ที่มีชื่อทางการค้าว่า Cention N®

5. คอมโพสิตเรซินชนิดไม่ปลดปล่อยฟลูออไรด์ หมายถึง คอมโพสิตเรซินที่มีชื่อทางการค้าว่า Filtek™ Z350

ปัญหาทางจริยธรรม

ไม่มี

ประโยชน์ที่คาดว่าจะได้รับ

การศึกษานี้ต้องการเปรียบเทียบการคืนกลับแร่ร้าตุในรอยผุรยะเริ่มต้นในชั้นเคลือบฟันที่อยู่ติดกับวัสดุบรรณะแก้วไอโอดีโนเมอร์ อัลคาไซเต้ และคอมโพสิตเรซินชนิดไม่ปลดปล่อยฟลูออไรด์ในสภาพจำลองในช่องปาก ซึ่งผลจากการศึกษาจะนำไปสู่การวิจัยทางคลินิก และเป็นแนวทางในการเลือกวัสดุบรรณะให้เหมาะสมกับผู้ป่วยโดยเฉพาะอย่างยิ่งในรายที่มีความเสี่ยงต่อการเกิดฟันผุระดับสูงต่อไป

ข้อจำกัดของการวิจัย

- เนื่องจากระยะเวลาในการศึกษาจำกัด จึงไม่อาจบอกผลการคืนกลับของแร่ร้าตุในรอยผุรยะยะไว้ได้
- การศึกษารังนี้ใช้ฟันกรามน้อยแท้ในการศึกษา ผลการศึกษาที่ได้จึงไม่อาจนำมาสรุปในฟันน้ำนมได้

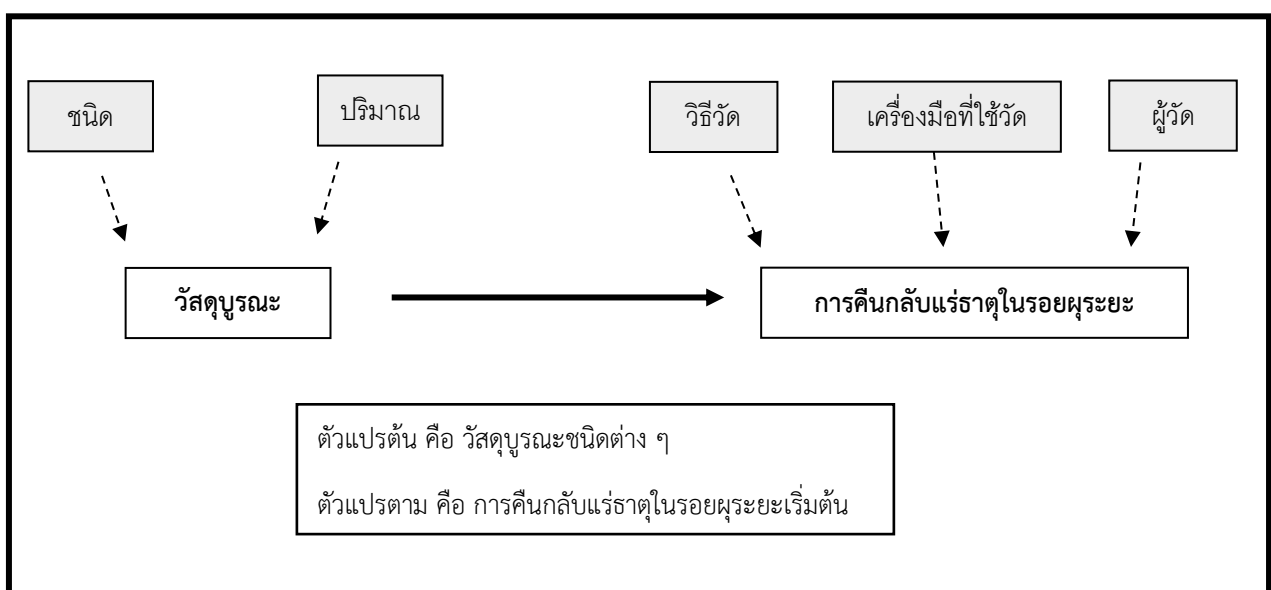
คำสำคัญ

- การคืนกลับกลับของแร่ร้าตุ (Remineralization)
- รอยโรคผุรยะเริ่มต้น (Initial caries)
- ความแข็งระดับจุลภาคที่พื้นผิว (Surface Microhardness)
- อัลคาไซเต้ (Alkasite : Cention N®)
- แก้วไอโอดีโนเมอร์ (Glass Ionomer Cement : EQUIA Forte®)

รูปแบบการวิจัย

จุฬาลงกรณ์มหาวิทยาลัย
CHULALONGKORN UNIVERSITY

กรอบแนวคิดในการวิจัย

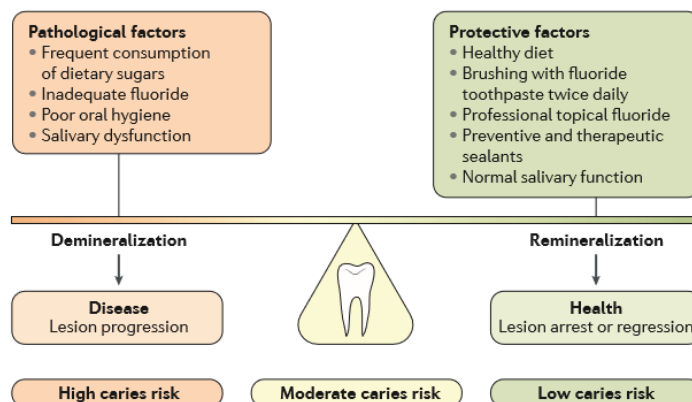


บทที่ 2 เอกสารและงานวิจัยที่เกี่ยวข้อง

โรคฟันผุ

จากรายงานสถานการณ์ภาวะโรคของทั่วโลกในปี 2016 พบร้าโรคในช่องปากส่งผลกระทบต่อประชากรกว่า 3.58 ล้านล้านคน หรือประมาณครึ่งหนึ่งของประชากรทั่วโลกโดยพบว่าปัญหาส่วนมากเกิดจากฟันผุในชุดฟันถาวร(2) ในเด็กพบว่าอาการปวดฟันส่วนมากเกิดมาจากการฟันผุ ซึ่งปัญหาฟันผุ และอาการปวดฟันนี้ถือเป็นปัญหาสุขภาพช่องปากที่ส่งผลกระทบต่อคุณภาพชีวิต(31)

ฟันผุเป็นปฏิกิริยาระหว่างฟัน คราบจุลินทรีย์และน้ำตาล โดยมีน้ำลายและอิทธิพลจากพันธุกรรม เป็นปัจจัยที่เกี่ยวข้อง โดยกระบวนการเกิดฟันผุเป็นกระบวนการที่มีการเปลี่ยนแปลงตลอดเวลาโดย ประกอบด้วยกระบวนการเสียแร่ธาตุ และกระบวนการคืนกลับแร่ธาตุเพื่อรักษาสมดุลการเกิดและการ ป้องกันฟันผุซึ่งหากเกิดการเสียสมดุลจะเกิดการผลิตกรดจากแบคทีเรียที่จะทำให้เคลือบฟันและเนื้อ ฟันสูญเสียแร่ธาตุและนำไปสู่การเกิดฟันผุในที่สุด กระบวนการเกิดฟันผุเป็นกระบวนการที่มีการ เปลี่ยนแปลงอยู่ตลอดเวลาตามสภาพแวดล้อมโดยจะแบ่งได้เป็น 2 ส่วน คือปัจจัยก่อโรคฟันผุ และ ปัจจัยส่งเสริมป้องโรคฟันผุ ปัจจัยก่อโรคฟันผุ ได้แก่ การบริโภcn้ำตาลหลายครั้งในหนึ่งวัน การได้รับ พลูอิรอด์ไม่เพียงพอ ขาดการดูแลทำความสะอาดช่องปาก และการมีน้ำลายน้อยกว่าปกติ ส่วนปัจจัย ส่งเสริมป้องกันโรคฟันผุ ได้แก่ การรับประทานอาหารที่ก่อให้เกิดฟันผุต่ำ การแปรปันด้วยยาสีฟัน พลูอิรอด์ การได้รับพลูอิรอด์เฉพาะที่จากผู้เชี่ยวชาญ การเคลือบหลุ่ร่องฟัน และการทำงานของ ต่อมน้ำลายปกติ ซึ่งหากความสามารถเปลี่ยนแปลงสภาพแวดล้อมในช่องปากและพฤติกรรมให้ เหมาะสมก็จะมารผลโดยกาสการเกิดฟันผุลงได้(31)



รูปภาพ 1แสดงสมดุลของการเกิดกระบวนการเสียแร่ธาตุ และกระบวนการคืนกลับแร่ธาตุซึ่งจะเปลี่ยนแปลงไปตาม ปัจจัยก่อโรคและปัจจัยป้องกันฟันผุ⁽³¹⁾

ในกรณีที่กระบวนการเกิดฟันผุเสียสมดุล ปัจจัยก่อโรคฟันผุมีอิทธิพลมากกว่าจึงเกิดการสร้างกรดจากแบคทีเรียทำให้ฟันที่สัมผัสรดเกิดการละลายแร่ธาตุแล้วเกิดเป็นรอยผุรุยะเริ่มต้นซึ่งจะมีลักษณะขาวขุ่น เรียกว่า “ White spot lesion ” รอยโรคในระยะนี้หากได้รับการส่งเสริมให้เกิดการคืนกลับของแร่ธาตุจะยังสามารถผันกลับหรือหยุดยั้งกระบวนการผุได้(11) ดังนั้นการตรวจพบฟันผุตั้งแต่ระยะเริ่มต้นแล้วส่งเสริมให้เกิดการคืนกลับของแร่ธาตุ รวมถึงให้การป้องกันที่เหมาะสมโดยอาศัยการประเมินความเสี่ยงร่วมด้วยจะช่วยหยุดหรือชะลอฟันผุไม่ให้ผุต่อจนเกิดการแตกออกของฟันจนเป็นโพรงซึ่งจะรักษาได้ด้วยการบูรณะเท่านั้น(32)ในกรณีที่กระบวนการเกิดฟันผุเสียสมดุล ปัจจัยก่อโรคฟันผุมีอิทธิพลมากกว่าจึงเกิดการสร้างกรดจากแบคทีเรียทำให้ฟันที่สัมผัสรดเกิดการละลายแร่ธาตุแล้วเกิดเป็นรอยผุรุยะเริ่มต้นซึ่งจะมีลักษณะขาวขุ่น เรียกว่า “ White spot lesion ” รอยโรคในระยะนี้หากได้รับการส่งเสริมให้เกิดการคืนกลับของแร่ธาตุจะยังสามารถผันกลับหรือหยุดยั้งกระบวนการผุได้(11) ดังนั้นการตรวจพบฟันผุตั้งแต่ระยะเริ่มต้นแล้วส่งเสริมให้เกิดการคืนกลับของแร่ธาตุ รวมถึงให้การป้องกันที่เหมาะสมโดยอาศัยการประเมินความเสี่ยงร่วมด้วยจะช่วยหยุดหรือชะลอฟันผุไม่ให้ผุต่อจนเกิดการแตกออกของฟันจนเป็นโพรงซึ่งจะรักษาได้ด้วยการบูรณะเท่านั้น(32)

แนวทางการบูรณะรอยโรคฟันผุ

ในอดีตการบูรณะจะยึดตามแนวคิดการขยายเพื่อการป้องกัน (extension for prevention) ของ G.V. Black นั่นคือกำจัดรอยผุทั้งหมดออก และขยายขอบเขตของโพรงฟันให้เพียงพอต่อการยึดอยู่ของวัสดุอุดและจุดสิ้นสุดขอบเขตอยู่ในบริเวณที่สามารถทำความสะอาดได้(9) ต่อมาเมื่องานศึกษาในเรื่องฟันผุเปลี่ยนแปลงไป ความรุนแรงของโรคฟันผุในบางประเทศลดลง และมีการพัฒนาของวัสดุบูรณะที่สามารถยึดอยู่ได้ (adhesive material) ส่งผลให้แนวทางการจัดการโรคฟันผุในปัจจุบันอาศัยแนวคิดทางทันตกรรมอนุรักษ์ (Minimum intervention Dentistry) ซึ่งประกอบด้วยหลักการสำคัญ 5 ข้อ ได้แก่(32, 33)

1. การตรวจพบฟันผุตั้งแต่ระยะตั้งแต่เริ่มต้นและการประเมินความเสี่ยงในการเกิดโรคฟันผุ
2. การคืนกลับแร่ธาตุให้กับเคลือบฟันและเนื้อฟันที่เกิดการสูญเสียแร่ธาตุ
3. การได้รับทันตกรรมป้องกันด้วยวิธีที่เหมาะสม

4. การบูรณะรอยผุด้วยหลักการการรักษาแบบรุกรานน้อย (Minimal invasive) ได้แก่ กำจัดรอยผุเฉพาะตำแหน่งที่ผุโดยกำจัดเฉพาะส่วนของเนื้อฟันที่ติดเชื้อ ไม่จำเป็นต้องขยายขอบเขตเพื่อให้เกิดการยึดติดเนื่องจากบูรณะด้วยวัสดุบูรณะที่สามารถยึดอยู่ได้

5. หากพบวัสดุบูรณะเสียหายให้ทำการซ่อมแซมแทนการรื้อบูรณะใหม่

วัสดุบูรณะที่สามารถยึดอยู่ได้นับเป็นปัจจัยสำคัญส่วนหนึ่งในการจัดการรอยผุตามแนวคิดทางทันตกรรมอนุรักษ์ โดยวัสดุบูรณะที่สามารถยึดอยู่ได้ที่นิยมใช้ในปัจจุบัน ได้แก่ วัสดุประเภทคอมโพสิตเรซิน และวัสดุประเภทแก้วไอโอดีนเมอร์

วัสดุประเภทคอมโพสิตเรซิน

วัสดุคอมโพสิตเรซินเริ่มมีการคิดค้นตั้งแต่ช่วงค.ศ. 1960 และได้รับการพัฒนาอย่างต่อเนื่องให้มีคุณสมบัติแข็งแรง ทนทานและมีสีสวยงามเหมือนฟันธรรมชาติ โดยคอมโพสิตเรซินมีองค์ประกอบหลัก 4 ส่วน ได้แก่ สารแม่ทริกซ์(organic polymer matrix) วัสดุอัดแทรกอนินทรีย (inorganic filler particles) สารเชื่อมติด (coupling agent) และสารเริ่มกระตุนให้เกิดปฏิกิริยา (initiator-accelerator system) วัสดุอัดแทรกจะมีผลต่อคุณสมบัติทางกายภาพ ความโปร่งใสและสวยงาม การหดตัวจากปฏิกิริยาเกิดพอลิเมอร์ ดังนั้นขนาดของวัสดุอัดแทรกจะมีผลต่อการจำแนกชนิดของวัสดุคอมโพสิตเรซิน(34) ซึ่งสามารถแบ่งได้ 5 กลุ่ม ได้แก่ แมคโครฟิล์เรซินคอมโพสิต (Macrofill resin composite), ไมโครฟิล์เรซินคอมโพสิต (Microfill resin composite), ไมโครไฮบริดเรซินคอมโพสิต (Microhybrid resin composite), ไฮบริดเรซินคอมโพสิต (Hybrid resin composite) นาโนคอมโพสิต (Nanocomposite)(35)

ปัจจุบันนาโนคอมโพสิต จัดเป็นคอมโพสิตเรซินชนิดยูนิเวอร์แซลดีที่สุดที่เหมาะสมสำหรับการบูรณะทุกรูปแบบ ไม่ว่าจะเป็นฟันหน้าและฟันหลัง นาโนคอมโพสิตประกอบด้วยวัสดุอัดแทรกขนาด 25-75 นาโนเมตรที่จัดเรียงตัวอย่างเป็นระบบบึงทำให้คอมโพสิตเรซินในกลุ่มนี้มีคุณสมบัติทางกายภาพที่ดีแข็งแรง ทนต่อแรงบดเคี้ยวและการสึก สามารถบูรณะและขัดแต่งวัสดุให้สวยงามเหมือนฟันธรรมชาติ และลดโอกาสเกิดการหดตัวจากปฏิกิริยาเกิดพอลิเมอร์ (Polymerization shrinkage)(35) โดยพิลเทก แซด 350 เอ็กซ์ที (Filtek Z350 XT) ซึ่งเป็นวัสดุที่เลือกใช้ในการศึกษานี้ก็จัดอยู่ในกลุ่มนานโนคอมโพสิตด้วยเช่นกัน

สำหรับการนำคอมโพสิตเรซิโนม่าใช้งานในทางคลินิกพบว่าจากการรวมข้อมูลการศึกษาในทางคลินิกจำนวน 59 การศึกษาพบว่าการบูรณะคลาสทู (Class II) ด้วยวัสดุคอมโพสิตเรซิโนม่าอัตราความสำเร็จถึงร้อยละ 90 เมื่อติดตามผลหลังบูรณะไป 10 ปี(36) ซึ่งทางสมาคมทันตแพทย์สำหรับเด็กแห่งสหรัฐอเมริกาได้ออกคำแนะนำการใช้คอมโพสิตเรซิโนม่าในการบูรณะโดยในฟันแท็พบ์ว่ามีหลักฐานการศึกษาที่น่าเชื่อถือสูงที่บ่งชี้ว่าการใช้คอมโพสิตเรซิโนม่าบูรณะฟันคลาสทูมีอัตราความสำเร็จสูง(37) ส่วนในฟันน้ำนมพบว่าในการบูรณะในคลาสทูก็มีการศึกษาทางคลินิกที่สนับสนุนถึงผลความสำเร็จในการบูรณะเมื่อติดตามผลหลังบูรณะไป 2 ปี(38)

แต่ปัญหาที่สำคัญของวัสดุคอมโพสิตเรซิโนม่า คือ การหดตัวจากปฏิกิริยาเกิดพอลิเมอร์ซึ่งเกิดจากสารเมทริกซ์ชนิดอินทรีย์ที่เมื่อเกิดการสร้างเป็นโพลิเมอร์ (Polymer)แล้วจะหดตัวจนเกิดการเปลี่ยนแปลงปริมาตรจนส่งผลต่อโครงสร้างฟันและรอยต่อระหว่างวัสดุอุดกับฟันจนการยึดติดล้มเหลวแล้วเกิดการรั่วซึมระดับอนุภาค(Microleakage) และนำไปสู่การเกิดฟันผุชำในอนาคตซึ่งถือเป็นปัญหาหลักที่ทำให้การบูรณะฟันด้วยคอมโพสิตเรซิโนม่าล้มเหลว(39, 40) รวมถึงทำให้เกิดอาการเสียฟันหลังจากที่บูรณะอีกด้วย ดังนั้นหากเราต้องการลดการหดตัวจากปฏิกิริยาเกิดพอลิเมอร์สามารถทำได้โดยคำนึงถึงปัจจัยในเรื่องของวัสดุ และ ปัจจัยเรื่องค่าซีแฟคเตอร์ (C-factor) วัสดุคอมโพสิตเรซิโนม่าสตูอัดแทรกมากจะช่วยลดโอกาสการหดตัวจากปฏิกิริยาเกิดพอลิเมอร์และมีความแข็งแรงเชิงกล อย่างเช่นวัสดุคอมโพสิตเรซิโนม่าในกลุ่มนาโนคอมโพสิตที่มีอนุภาคขนาดเล็กระดับนาโนเมตรจึงมีปริมาณวัสดุอัดแทรกจำนวนมากทำให้โอกาสเกิดการหดตัวจากปฏิกิริยาเกิดพอลิเมอร์ค่อนข้างต่ำ สำหรับปัจจัยเรื่องค่าซีแฟคเตอร์แก้ไขได้ด้วยการอุดทีล๊ะชัน (Incremental techniques) ข้อจำกัดอีกประการของคอมโพสิตเรซิโนม่าคือเทคนิคในการบูรณะมีความไวสูงโดยเฉพาะเรื่องการควบคุมความชื้น(35) และในแต่การป้องกันฟันผุพบว่าวัสดุคอมโพสิตเรซิโนม่าทั้งแบบไม่ปลดปล่อยฟลูออไรด์และแบบที่สามารถปลดปล่อยฟลูออไรด์ก็มีคุณสมบัติในการป้องกันฟันผุที่น้อยกว่าวัสดุบูรณะประเภทแก้วไอโอนิเมอร์ (41)

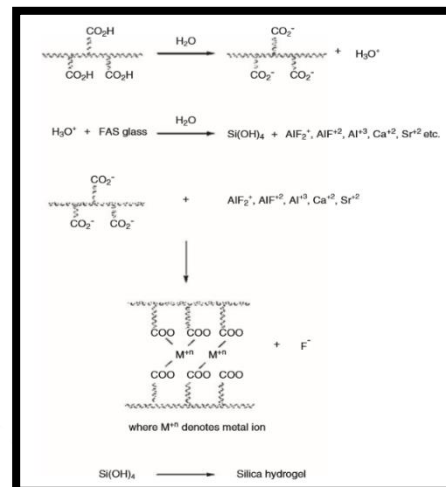
ดังนั้นแม้คอมโพสิตเรซิโนม่าจะเป็นวัสดุที่มีความแข็งแรง ทนทาน มีอัตราความสำเร็จในการบูรณะฟันคลาสทู สูงแต่ก็ยังมีข้อด้อยในเรื่องการหดตัวจากปฏิกิริยาเกิดพอลิเมอร์ เทคนิคในการบูรณะมีความไวสูง และความสามารถในการป้องกันฟันผุที่ด้อยกว่าวัสดุประเภทแก้วไอโอนิเมอร์ซึ่งเมนต์เพราจะนั้นหากจะเลือกใช้วัสดุคอมโพสิตเรซิโนม่าในการบูรณะฟันคลาสทูที่ฟันซี่ข้างเคียงมีรอยผุเริ่มต้นอาจไม่ใช่ทางเลือกการรักษาที่เหมาะสม

วัสดุประเทกแก้วไอโอดีโนเมอร์

วัสดุแก้วไอโอดีโนเมอร์เริ่มมีการพัฒนาและใช้งานตั้งแต่ปีค.ศ.1960 โดยมีส่วนประกอบ 2 ส่วน ได้แก่ ส่วนผงแก้วฟลูออโรซิลิกและส่วนน้ำที่เป็นโพลีเมอร์ของกรดอะคริลิก โดยมีการเติมกรดหาร์ทาลิกเพื่อเพิ่มระยะเวลาการทำงาน เมื่อผสมส่วนผงและน้ำแล้วจะเกิดการทำปฏิกิริยาแบบกรด-ด่าง (acid-base reaction) ซึ่งจะมีการแข็งตัวในระยะแรกตั้งแต่ 3-4 นาทีหลังจากผสม แต่จะแข็งตัวได้สมบูรณ์ต้องใช้เวลาอย่างน้อย 24 ชั่วโมง จากปฏิกิริยาที่เกิดขึ้นจะมีฟลูออโรเดเป็นผลิตภัณฑ์ตามสมการในภาพที่ 2 จึงทำให้วัสดุแก้วไอโอดีโนเมอร์สามารถปลดปล่อยฟลูออโรเดได้ซึ่งถือเป็นหนึ่งในคุณสมบัติเด่นของวัสดุประเทกนี้(34) การปลดปล่อยฟลูออโรเดในช่วง 24 ชั่วโมงแรกจะสูงแล้วค่อยๆลดลงอย่างรวดเร็วในสัปดาห์แรก(42) และจะยังคงปลดปล่อยฟลูออโรเดในระดับต่ำต่อไป โดยจากการศึกษาการปลดปล่อยฟลูออโรเดจากการใช้ฟลูออโรเดเฉพาะที่ ทั้งจากผลิตภัณฑ์ที่ใช้ เช่น ยาสีฟันและน้ำยาบ้วนปากที่มีส่วนประกอบของฟลูออโรเด หรือฟลูออโรเดที่ได้รับจากทันตแพทย์(34)

คุณสมบัติเด่นอื่น ๆ ของวัสดุแก้วไอโอดีโนเมอร์ ได้แก่ วัสดุแก้วไอโอดีโนเมอร์มีความสามารถในการดูดซึมน้ำและเนื้อฟันได้ด้วยปฏิกิริยาเคมี มีค่าสัมประสิทธิ์การขยายตัวเมื่อมีการเปลี่ยนแปลงอุณหภูมิที่ใกล้เคียงกับเนื้อฟัน และมีคุณสมบัติความเข้ากันได้ทางชีวภาพ นอกจากนี้วัสดุแก้วไอโอดีโนเมอร์มีความไวต่อความชื้นน้อยกว่าเมื่อเทียบกับวัสดุประเทกคอมโพสิตเรซิน ส่วนข้อจำกัดของวัสดุแก้วไอโอดีโนเมอร์ ได้แก่ ข้อด้อยในเรื่องความแข็งแรงและความสวยงาม รวมถึงการใช้งานบูรณะที่ทำได้ยากและมีความไวต่อความชื้นในช่วงแรกที่วัสดุเริ่มแข็งตัว การบูรณะด้วยแก้วไอโอดีโนเมอร์จะมีโอกาสเปราะแตกได้ง่าย ไม่ทนต่อการสึก รวมถึงสีและความเปรี้ยวไม่เหมือนฟันธรรมชาติ(34, 37, 44)

วัสดุแก้วไอโอดีโนเมอร์แบ่งได้ 2 ประเภทหลัก ได้แก่ วัสดุแก้วไอโอดีโนเมอร์ชนิดดั้งเดิม และวัสดุแก้วไอโอดีโนเมอร์ชนิดดัดแปลงด้วยเรซิน (Resin modified glass ionomer cements-RMGC) ซึ่ง



รูปภาพ 2 แสดงปฏิกิริยาการแข็งตัวของวัสดุแก้วไอโอดีโนเมอร์

พัฒนาขึ้นเพื่อแก้ไขปัญหาการแข็งตัวและเวลาทำงานโดยมีการเติมสารประกอบเมทاكอริเลท (methacrylate) ที่เป็นสารริเริ่มการเกิดปฏิกิริยาเกิดโพลิเมอร์ สำหรับส่วนประกอบอื่น ๆ จะไม่แตกต่างจากวัสดุแก้วไอโอดีโนเมอร์ชนิดเดิม การแข็งตัวของวัสดุประเภทนี้จึงสามารถเกิดขึ้นได้จากปฏิกิริยาเกิดโพลิเมอร์ ในรูปแบบการฉายแสงหรือการบ่มตัวเองตามแต่ประเภทของสารริเริ่มในช่วงแรก แล้วจึงแข็งตัวจากปฏิกิริยาแบบกรด-ด่างตามมาในภายหลัง(34) วัสดุแก้วไอโอดีโนเมอร์ชนิดตัดเปล่งด้วยเรซินเจ็มีข้อดี ได้แก่ มีระยะเวลาการแข็งที่น้อยกว่าวัสดุแก้วไอโอดีโนเมอร์ชนิดเดิม สามารถทำให้แข็งตัวเมื่อต้องการได้ด้วยการฉายแสงในชนิดที่บ่มตัวด้วยแสงจีสีดาและใช้บูรณะได้สะดวกมากขึ้น(45) รวมถึงได้รับการพัฒนาให้มีคุณสมบัติทางกายภาพ ความแข็งแรง ความสามารถในการทนต่อการสึกและการคงสภาพให้ดีกว่าวัสดุแก้วไอโอดีโนเมอร์ชนิดเดิม(34)

บริษัทผู้ผลิตพยายามพัฒนาคุณสมบัติทางกลของวัสดุชนิดตัดเดิมอย่างต่อเนื่องเพื่อแก้ไขข้อด้อยของแก้วไอโอดีโนเมอร์ที่ perse ละสึกง่าย ไม่ว่าจะเป็นการเติมผงอะมัลกัมอัลลอย หรือผงโลหะชนิดต่าง ๆ เช่น เงิน ทอง ไททาเนียมและพลาเดียม เป็นต้น แต่การปรับปรุงนี้ทำให้วัสดุนี้ขัดแย้งให้สวยงามได้ยาก รวมถึงผงโลหะบางชนิดทำให้วัสดุมีสีเทา ไม่สวยงาม ต่อมาก็ได้มีความพยายามในการเติมผงไฮดรอกซีอะพาไทต์ซึ่งเป็นองค์ประกอบที่ให้ความแข็งแรงในฟันธรรมชาติในส่วนผงของวัสดุแก้วไอโอดีโนเมอร์ หรือการใช้ผงแก้วขนาดเล็กและขนาดใหญ่ร่วมกัน รวมถึงมีการปรับสัดส่วนของส่วนผงและน้ำทำให้เกิดเป็นวัสดุแก้วไอโอดีโนเมอร์แบบดังเดิมที่มีความหนืดสูง ในปัจจุบันวัสดุแก้วไอโอดีโนเมอร์ชนิดตัดเดิมจึงมีความแข็งแรง ทนต่อการรับแรงและสามารถใช้ในการบูรณะฟันหลังในบริเวณซอกฟันได้ รวมถึงมีเอดสีให้เลือกใช้บูรณะได้(44, 46, 47)

CHULALONGKORN UNIVERSITY

ตาราง 1 แสดงตัวอย่างวัสดุแก้วไอโอดีโนเมอร์ชนิดตัดเดิมและ วัสดุแก้วไอโอดีโนเมอร์ชนิดตัดเปล่งด้วยเรซิน

วัสดุแก้วไอโอดีโนเมอร์ชนิดตัดเดิม	วัสดุแก้วไอโอดีโนเมอร์ชนิดตัดเปล่งด้วยเรซิน
<ul style="list-style-type: none"> ● Fuji II® ● Fuji VII® ● Fuji IX GP®, Fuji IX GP® EXTRA ● EQUIA Forte® ● Ketac Fil Plus® ● Ketac molar® 	<ul style="list-style-type: none"> ● Fuji II LC® ● Vitremer® ● Ketac Nano®

ในเรื่องการผลปล่อยฟลูออิร์ดของวัสดุแก้วไอโอดีโนเมอร์ชนิดต่าง ๆ จากการศึกษาของ Mousavinasab และคณภาพบว่าวัสดุแก้วไอโอดีโนเมอร์ชนิดฟูจิเซเวน (Fuji VII[®]) มีระดับการผลปล่อยฟลูออิร์ดสะสมในช่วงเวลา 7 วันมากที่สุดรองลงมาเป็นวัสดุแก้วไอโอดีโนเมอร์ชนิดฟูจิไนน์ จีพี เอกตร้า (Fuji IX GP[®] EXTRA) ฟูจิทู แอลซี (Fuji II LC[®]) และฟูจิไนน์ จีพี (Fuji IX GP[®]) ตามลำดับ วัสดุแก้วไอโอดีโนเมอร์ชนิดฟูจิไนน์ จีพี มีระดับการผลปล่อยฟลูออิร์ดที่น้อยกว่าชนิดฟูจิเซเวน เนื่องจากการปรับปรุงคงแก้วเพื่อเพิ่มความแข็งแรงทำให้ฟูจิไนน์ จีพี มีความแน่นของสายโพลิเมอร์จึงทำให้น้ำผ่านได้ยาก จึงทำให้ผลปล่อยฟลูออิร์ดได้น้อยซึ่งนำมาสู่การปรับปรุงโดยการเพิ่มปริมาณฟลูออิร์ดในฟูจิไนน์ จีพี เอกตร้าทำให้ระดับการผลปล่อยฟลูออิร์ดของวัสดุแก้วไอโอดีโนเมอร์ชนิดนี้มากกว่าฟูจิไนน์ จีพีแบบเดิม สำหรับวัสดุแก้วไอโอดีโนเมอร์ชนิดดัดแปลงด้วยเรซินส่วนมากสามารถผลปล่อยฟลูออิร์ดได้ไม่ต่างจากวัสดุแก้วไอโอดีโนเมอร์ชนิดดังเดิม แต่ในบางครั้งพบว่าชนิดของเรซินที่ใช้และผลจากปฏิกิริยาโพลิเมอร์ทำให้เกิดอนุพันธ์ของฟลูออิร์ดที่ซับซ้อนจึงส่งผลให้การผลปล่อยฟลูออิร์ดลดลงได้(48) ส่วนจากการศึกษาของ Mitra และคณารี่องการผลปล่อยฟลูออิร์ดในระยะเวลาเป็นเวลา 360 วันพบว่าวัสดุแก้วไอโอดีโนเมอร์ชนิดดัดแปลงด้วยเรซินมีการผลปล่อยฟลูออิร์ดที่มากกว่าวัสดุแก้วไอโอดีโนเมอร์ชนิดดังเดิมอย่างแตกต่างทางสถิติโดยวัสดุแก้วไอโอดีโนเมอร์ ชนิดดัดแปลงด้วย เรซินที่ศึกษา ได้แก่ ฟูจิทู แอลซี วีทรีเมอร์ และคีแทค nano (Ketac Nano[®]) ส่วนวัสดุแก้วไอโอดีโนเมอร์ชนิดดังเดิม ได้แก่ ฟูจิไนน์ จีพี โดยพบว่าการผลปล่อยฟลูออิร์ดมากในช่วงแรกตามปรากฏการณ์ “Burt effect” แล้วลดระดับการผลปล่อยลงแต่จะคงความสามารถในการผลปล่อยฟลูออิร์ดอย่างต่อเนื่องมากกว่า 1 ปี(49)

ส่วนการศึกษาของ Dasgupta และคณารี่องปี 2018 ได้ทำการศึกษาการผลปล่อยฟลูออิร์ดและการสะสมฟลูออิร์ดใหม่ในวัสดุบูรณะ 5 ชนิดได้แก่ วัสดุแก้วไอโอดีโนเมอร์ชนิดฟูจิไนน์ จีพี เอกตร้า วัสดุแก้วไอโอดีโนเมอร์ชนิดอิเค维ย ฟอร์เต้ พิลล์ (EQUIA[®] FORTE Fil) วัสดุบูรณะประเภทคอมโพสิตชนิดดัดแปลงผิวด้วยวัสดุแก้วไอโอดีโนเมอร์ (S-PRG) ชนิดบิวติพิลล์ บัลค์ (Beautifill Bulk) วัสดุบูรณะคอมโพเมอร์ชนิดไดแรค เอกซ์พี (Dyract[®] XP) และวัสดุบูรณะคอมโพสิตปลดปล่อยฟลูออิร์ดได้ชนิดเทหริก เอ็น ซีเรม (Tetric N-Ceram[®]) ในช่วงเวลา 1 3 7 14 21 และ 28 วันพบว่าวัสดุแก้วไอโอดีโนเมอร์ชนิดอิเค维ย ฟอร์เต้ พิลล์ มีการผลปล่อยฟลูออิร์ดสูงที่สุดโดยมีความแตกต่างจากวัสดุอีก 4 ชนิดอย่างมีนัยสำคัญในทุกช่วงเวลาโดยลักษณะการผลปล่อยฟลูออิร์ดจะสูงในช่วงแรกแล้วลดลงอย่างรวดเร็วเมื่อสิ้นสุดวันที่ 3 แล้วค่อยๆลดระดับการผลปล่อยฟลูออิร์ดลงอย่างคงที่ต่อไปจนครบเวลา 28 วัน ส่วนการสะสมฟลูออิร์ดใหม่เมื่อได้รับฟลูออิร์ดเฉพาะที่ชนิดแอซิดคูเรตฟอสเฟต

ฟลูออไรด์เจลที่ความเข้มข้นร้อยละ 1.23 หลังจาก 28 วันพบว่าวัสดุแก้วไอโอดีโนเมอร์ชนิด อิเค维ย ฟอร์เต้ พิล์มีการปลดปล่อยฟลูออไรด์สูงที่สุดโดยมีความแตกต่างจากวัสดุอีก 4 ชนิดอย่างมีนัยสำคัญเช่นกัน(50)

ในเรื่องการใช้วัสดุแก้วไอโอดีโนเมอร์ในการบูรณะฟันน้ำนมพบว่าในปี 2019 สมาคมทันตแพทย์ สำหรับเด็กแห่งสหราชอาณาจักรได้แนะนำว่าการบูรณะฟันน้ำนมที่ผู้ด้านประชิดแบบคลาสทูนนี้ไม่ แนะนำให้ใช้วัสดุแก้วไอโอดีโนเมอร์ชนิดดังเดิม ส่วนวัสดุแก้วไอโอดีโนเมอร์ชนิดดัดแปลงด้วยเรซินนั้นแม้ จะมีอัตราความสำเร็จทางคลินิกสูงกว่าวัสดุแก้วไอโอดีโนเมอร์ชนิดดังเดิม แต่การศึกษายังมีจำนวนน้อย จึงไม่สามารถให้ข้อสรุปที่แน่นอนได้ ดังนั้นการใช้วัสดุแก้วไอโอดีโนเมอร์ชนิดดัดแปลงด้วยเรซินในการ บูรณะคลาสทูนจึงเป็นเพียงคำแนะนำตามความคิดเห็นของผู้เชี่ยวชาญในกรณีที่รอผุนกดเล็ก(37, 51) อย่างไรก็ตามเนื่องจากการศึกษาที่สมาคมทันตแพทย์สำหรับเด็กแห่งสหราชอาณาจักรได้ใช้อ้างอิง ส่วนมากนั้นทำการศึกษาในวัสดุแก้ว ไอโอดีโนเมอร์ในสมัยที่ยังไม่ได้ปรับปรุงและพัฒนาเรื่องความ เชื่อมโยง รวมถึงมีเพียงงานวิจัยบางส่วนเท่านั้นที่สามารถผ่านเกณฑ์การคัดเข้าของการศึกษาอย่างเป็น ระบบจริงทำให้ข้อมูลที่ได้ค่อนข้างจำกัด ในปัจจุบันพบว่าอัตราความสำเร็จทางคลินิกในการบูรณะฟัน ด้านประชิดคลาสทูนด้วยวัสดุแก้วไอโอดีโนเมอร์ค่อนข้างสูง เช่นการศึกษาของ Menezes-Silva และ คณะในปี 2018 พบว่าจากการทดลองทางคลินิกแบบสุ่มเพื่อศึกษาอัตราความสำเร็จของการบูรณะ ฟันด้านประชิดคลาสทูนในฟันแท็ดด้วยวัสดุแก้วไอโอดีโนเมอร์ชนิดดังเดิมที่มีความหนืดสูง อิเค维ย พิล์ ชนิดแคปซูลด้วยวิธีการรักษาเชิงการบูรณะแบบไม่บาดเจ็บ หรือเออร์ที (Atraumatic Restorative Treatment, ART) เทียบกับการบูรณะด้วยวัสดุคอมโพสิตเรซินฟิลเทก แซด 350 เอ็กซ์ที โดยอัตรา ความสำเร็จที่เวลา 12 เดือนของวัสดุแก้วไอโอดีโนเมอร์คิดเป็นร้อยละ 95.8 ส่วนของวัสดุคอมโพสิต เรซินคิดเป็นร้อยละ 98.7 ซึ่งไม่มีความแตกต่างทางสถิติ(52) สำหรับอัตราความสำเร็จของการ บูรณะฟันด้านประชิดคลาสทูนในฟันน้ำนมด้วยวิธีเออร์ทีจากการศึกษาของ Medeiros Serpa และ คณะพบว่าการบูรณะด้วยวัสดุแก้วไอโอดีโนเมอร์ชนิด คีแทคโมลาร์มีอัตราความสำเร็จที่เวลา 12 เดือน เท่ากับร้อยละ 88 ส่วนวัสดุคอมโพสิตเรซินฟิลเทก แซด 250 (Filtek Z250) มีอัตราสำเร็จเท่ากับร้อย ละ 84.4 ซึ่งไม่มีความแตกต่างทางสถิติ(53)

วัสดุแก้วไอโอดีโนเมอร์ชนิดอิเค维ย ฟอร์เต้ พิล์ที่เลือกใช้ในการศึกษานี้จัดอยู่ในกลุ่mvัสดุแก้ว ไอโอดีโนเมอร์ ชนิดดังเดิมที่มีการปรับปรุงให้ส่วนผสมมีลักษณะเป็นแก้วไฮบริดโดยใช้ร่วมกับสารเคลือบ เพื่อเพิ่มความแข็งแรง จากเอกสารแนะนำผลิตภัณฑ์และการใช้งานของผู้ผลิตระบุคุณสมบัติของ วัสดุอิเค维ย ฟอร์เต้ พิล์ ไว้ได้แก่ วัสดุอิเค维ย ฟอร์เต้ พิล์มีคุณสมบัติแข็งแรง ทนต่อแรง จึง

สามารถใช้บุรณะฟันหลัง และสามารถใช้ในรูปแบบบัลค์ฟิลล์ได้โดยไม่เกิดปัญหาการหดตัว ทันตกรรม และการสีก วัสดุปลดปล่อยฟลูออิร์ดได้มากกว่าวัสดุแก้ว ไอโอดีโนเมอร์ชนิดก่อนๆโดยสามารถปลดปล่อยฟลูออิร์ดใน 1 วันได้มากถึง 115.3 มิโครกรัมต่อตารางเซนติเมตร และมีการพัฒนาให้มีความ似มากขึ้นเพื่อให้ใกล้เคียงกับฟันธรรมชาติมากขึ้น รวมถึงมีเฉดสีให้เลือกถึง 8 สี วัสดุใช้บุรณะได้ง่ายในรูปแบบแคปซูล วัสดุบุรณะจะแข็งตัวในเวลา 2 นาทีแล้วจึงใช้สารเคลือบทาทับแล้วฉาบแสงให้สารเคลือบแข็งตัว สำหรับข้อบ่งใช้ของวัสดุอิควิว ฟอร์เต้ พิลล์ ได้แก่ การใช้สำหรับการบุรณะฟันคลาสวัน ทู ไฟว์และใช้ในการก่อแกนฟัน(54)

วัสดุประเภทอัลคาไซต์ (Alkasite)

วัสดุอัลคาไซต์ เป็นวัสดุบุรณะประเภทใหม่ที่มีอัลคาไลน์เป็นส่วนประกอบในวัสดุอัดแทรก ซึ่งอัลคาไลน์นี้สามารถปลดปล่อยประจุฟลูออิร์ด ประจุแคลเซียมและประจุไฮดรอกไซด์ได้ ในปัจจุบันวัสดุบุรณะในกลุ่มอัลคาไซต์ที่ผลิตออกมากำหนดอยู่ ได้แก่ วัสดุเซนทิน เอ็น

วัสดุเซนทิน เอ็น เป็นวัสดุบุรณะสีเหลืองน้ำเงิน โดยประกอบด้วยส่วนผง และส่วนน้ำ ในส่วนผงจะประกอบด้วยผงแก้วหลายชนิด สารริเริ่มการก่อตัวและสารสี ดังแสดงในตารางที่ 2 ขนาดอนุภาคมีขนาดตั้งแต่ 0.1-35 มิโครเมตร ส่วนน้ำประกอบด้วยสารโมโนเมอร์ สารริเริ่มการก่อตัวและสารเร่งโดยชนิดของโมโนเมอร์แสดงตามตารางที่ 3

จุฬาลงกรณ์มหาวิทยาลัย

ตาราง 2 แสดงคุณสมบัติของอนุภาคในส่วนผงของอัลคาไซต์

ชนิดอนุภาค	คุณสมบัติ
ผงแก้วแบบเรียนมอลูมิเนียม	ทำให้วัสดุแข็งแรง
ผงอิตเทอร์เบียมไตรฟลูออิร์ด	ทำให้วัสดุทึบแสงเมื่อถ่ายภาพรังสี
ผงแคลเซียมแบบเรียนมอลูมิเนียมฟลูออโรซิลิกेट	ทำให้แข็งแรงและปลดปล่อยฟลูออิร์ด
ผงแก้วแคลเซียมฟลูออโรซิลิกेटหรือผงอัลคาไลน์	ปลดปล่อยประจุฟลูออิร์ด แคลเซียมและไฮดรอกไซด์
ผงไอโซพิลเลอร์	ลดแรงเค้นจากการหดตัว

ตาราง 3 แสดงคุณสมบัติโมโนเมอร์ในส่วนน้ำของอัลคาไซต์

ชนิดโมโนเมอร์	คุณสมบัติ
ยูริเทนไไดเมทاكրิเลท	เป็นโมโนเมอร์หลัก มีความหนืดปานกลาง ช่วยทำให้วัสดุแข็งแรงและมีคุณสมบัติไม่ชอบน้ำ
ไตรไซโครดีเคน-ไไดเมทานอล-ไไดเมทاكริเลท	มีความหนืดต่ำ ช่วยให้วัสดุสามารถผสมได้ด้วยมือ และช่วยทำให้วัสดุแข็งแรง
อะโรมาติก-อะลิฟติก-ยูริเทนไไดเมทاكริเลท	มีความหนืดสูงและมีคุณสมบัติไม่ชอบน้ำ จึงช่วยลดการติดสีและทำให้วัสดุแข็งแกร่ง(stiffness)
โพลีเอทธิลีนไกลคอล-400-ไไดเมทاكริเลท	มีคุณสมบัติชอบน้ำ จึงทำให้สามารถใช้กับเคลือบฟันหรือเนื้อฟันที่มีความชื้นและขันสเมียร์ได้ รวมถึงยังมีคุณสมบัติทำให้วัสดุสามารถเคลื่อนไหว

วัสดุชนิดนี้ เอ็น มีคุณสมบัติที่สำคัญในเรื่องความแข็งแรง และความสามารถในการปลดปล่อยประจุฟลูออเรด แคลเซียมและไฮดรอกไซด์รวมถึงป้องกันการรั่วซึมระดับอนุภาคน้ำได้ดี และยังคงความสวยงาม วัสดุชนิดนี้ เอ็น เป็นวัสดุสีเหมือนฟันที่มีความโปร่งใสจึงมีความสวยงามคล้ายคลึงกับฟันธรรมชาติ(24)

ความแข็งแรง

คำแนะนำในการใช้งานจากผู้ผลิตได้กล่าวว่าวัสดุชนิดนี้ เอ็น มีความแข็งแรงและทนทานสามารถใช้แทนวัสดุอุบลักษณ์ในการบูรณะฟันหลัง สามารถบูรณะได้ทั้งฟันน้ำนมและฟันถาวรในด้านบดเคี้ยวแบบคลาสวัน บูรณะด้านประชิดฟันหลังแบบคลาสทู และบูรณะบริเวณคอฟันแบบคลาสไฟร์ เมื่อพิจารณาการศึกษาเรื่องความแข็งแรงของวัสดุชนิดนี้ เอ็น พบว่ามีการศึกษาหลายงานที่ทำในห้องปฏิบัติการ โดยศึกษาค่าความแข็งแกร่งแรงดัด (Flexural strength) และความแข็งแรงทางแรงกด(Compressive strength) จากการศึกษาของ Sadananda และคณะที่ได้ทำการวัดค่าความแข็งแกร่งแรงดัดและความแข็งแรงทางแรงกดในวัสดุชนิดนี้ เอ็น และวัสดุแก้วไอโอดีโนเมอร์ชนิดดังเดิม 3 ชนิด ได้แก่ พูจิไนน์ (Fuji IX[®]) , คีแทค โมลาร์ (Ketac molar[®]) และเซอร์โคโนเมอร์ (Zirconomer[®]) ผลการศึกษาพบว่าชนิดนี้ เอ็นมีค่าความแข็งแกร่งแรงดัด และความแข็งแรงทางแรงกดสูงที่สุด สำหรับค่าความแข็งแรงดัดของชนิดนี้ เอ็นพบว่ามีค่าเฉลี่ยสูงถึง 107.21 เมกะ-พาสคัล รองลงมาเป็นวัสดุคีแทค โมลาร์ , เซอร์โคโนเมอร์ และพูจิไนน์ด้วยค่า 49.80 , 45.61 และ 40.80 ตามลำดับ ส่วนความแข็งแรงทางแรงกดของชนิดนี้ เอ็นพบว่ามีค่าเฉลี่ยสูงถึง 321.92 เมกะ-พาสคัล รองลงมาเป็นวัสดุเซอร์โคโนเมอร์, คีแทค โมลาร์ และพูจิไนน์ด้วยค่า 294.96 , 261.53 และ 210.56 ตามลำดับ(25) ซึ่งสอดคล้องกับผลการศึกษาของ Chole และคณะซึ่งได้ทำการศึกษา

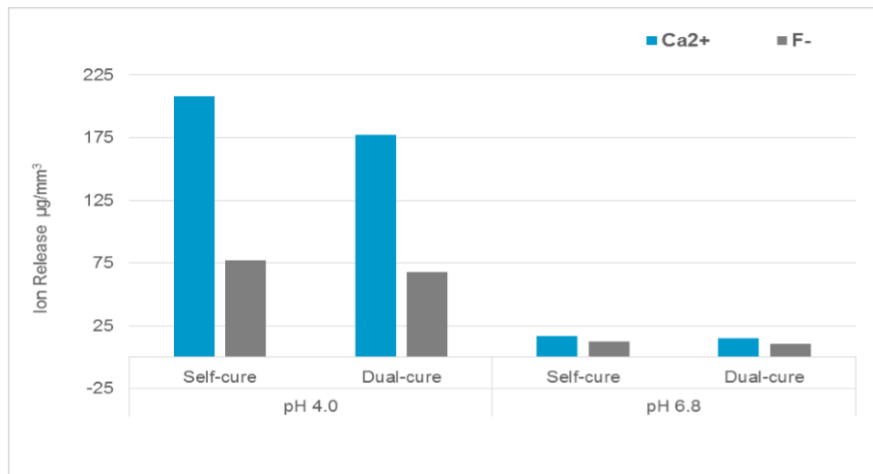
ความแข็งแกร่งแรงดัดในวัสดุเซนทิน เอ็น ,วัสดุคอมโพสิตเรซิน 2 แบบ ได้แก่ แบบนาโนคอมโพสิตกับแบบบัลค์ฟิล์ส และวัสดุแก้วไออกโนเมอร์ชนิดดัดแปลง ผลการศึกษาพบว่าเซนทิน เอ็น มีค่าความแข็งแกร่งแรงดัดสูงที่สุด รองลงมาเป็นวัสดุคอมโพสิตเรซินแบบบูรณะทั้งก้อน, วัสดุคอมโพสิตเรซินแบบนาโนคอมโพสิต และวัสดุแก้วไออกโนเมอร์ชนิดดัดแปลงตามลำดับ(26) เช่นเดียวกับการศึกษาของ Kaur และคณะที่ศึกษาเปรียบเทียบความแข็งแรงทางแรงกดระหว่างวัสดุเซนทิน เอ็น และวัสดุแก้วไออกโนเมอร์ชนิดพูจีไนน์พบว่าความแข็งแรงทางแรงกดของเซนทิน เอ็นมีค่าสูงกว่าวัสดุแก้วไออกโนเมอร์ชนิดดังเดิม(27) และมีการศึกษาความสามารถในการต้านทานการแตกของวัสดุที่ใช้บูรณะด้านประชิดของพื้นหลังแบบคลาสทู โดยเปรียบเทียบระหว่างวัสดุ 3 ชนิด ได้แก่ วัสดุอะมัลกัมวัสดุคอมโพสิตเรซินชนิดฟิลเทก แซด 350 และวัสดุเซนทิน เอ็น ผลการศึกษาของ Chowdhury และคณะพบว่าวัสดุเซนทิน เอ็นมีความสามารถในการต้านทานการแตกของวัสดุที่ใช้บูรณะคลาสทู สูงสุดโดยสามารถต้านทานแรงได้ 172.62 กิโลกรัมแรง (Kgf) ก่อนที่วัสดุจะแตกใกล้เคียงกับกลุ่มควบคุมที่ไม่ได้มีการกรอฟันใด ๆ ที่สามารถต้านทานแรงได้ 176.42 กิโลกรัมแรง รองลงมาคือวัสดุคอมโพสิต เรซินที่สามารถต้านทานแรงได้ 123.52 กิโลกรัมแรง ส่วนวัสดุอะมัลกัมสามารถต้านทานการแตกได้น้อยที่สุดเพียง 85.45 กิโลกรัมแรง(28)

การปล่อยแร่ธาตุ

วัสดุเซนทิน เอ็น มีคุณสมบัติในการลดปล่อยประจุ 3 ชนิด ได้แก่ ประจุฟลูออไรด์ ประจุแคลเซียม และประจุไฮดรอกไซด์(24) โดยประจุฟลูออไรด์ และประจุแคลเซียมเป็นบทบาทสำคัญในการรักษาสมดุลระหว่างกระบวนการละลายและคืนกลับของแร่ธาตุในฟัน(55) เมื่อเกิดการละลายแร่ธาตุของฟัน ประจุฟลูออไรด์จะเข้าแทนที่ประจุไฮดรอกซิลในไฮดรอกซิโอฟายาไทต์ซึ่งเป็นแร่ธาตุหลักในฟันแล้วสร้างเป็นผลึกฟลูออร์อะไฟต์ ซึ่งผลึกฟลูออร์อะไฟต์นี้มีข้อดีที่เหนือกว่าผลึกไฮดรอกซิอะไฟต์เดิม 2 ประการคือ ผลึกฟลูออร์อะไฟต์สามารถต้านทานการละลายของกรดได้ดีกว่า จึงเกิดกระบวนการละลายแร่ธาตุลดลง ประการต่อมาคือ ฟลูออไรด์จะกระตุ้นการคืนกลับแร่ธาตุโดยฟลูออไรด์ที่อยู่บริเวณผิวผลึกจะดึงดูดประจุแคลเซียมและฟอสเฟตเข้ามาสร้างเป็นชั้นผิวผลึกใหม่เกิดการคืนแร่ธาตุทดแทน(11, 55) แม้ตามปกติในน้ำลายจะมีประจุแคลเซียมและฟอสเฟตอยู่ในระดับอิมตัวเพียงพอให้เกิดการคืนกลับของแร่ธาตุ(56) แต่จากการศึกษาของ Mattousch และคณะพบว่ากระบวนการคืนกลับจะเกิดช้าเนื่องจากความเข้มข้นของประจุแคลเซียมและฟอสเฟตในน้ำลายที่ต่ำผลการศึกษาจึงพบว่าอย่างขุ่นขาวจากการผู้ระยะเริ่มต้นจะคงที่ ไม่ผุต่อแต่ไม่เกิดหายไปหรือขนาดเล็กลง(57) ดังนั้นการให้ประจุแคลเซียมและฟอสเฟตเพิ่มเติมจากแหล่งอื่น ๆ จึงช่วยเพิ่มการคืนกลับ

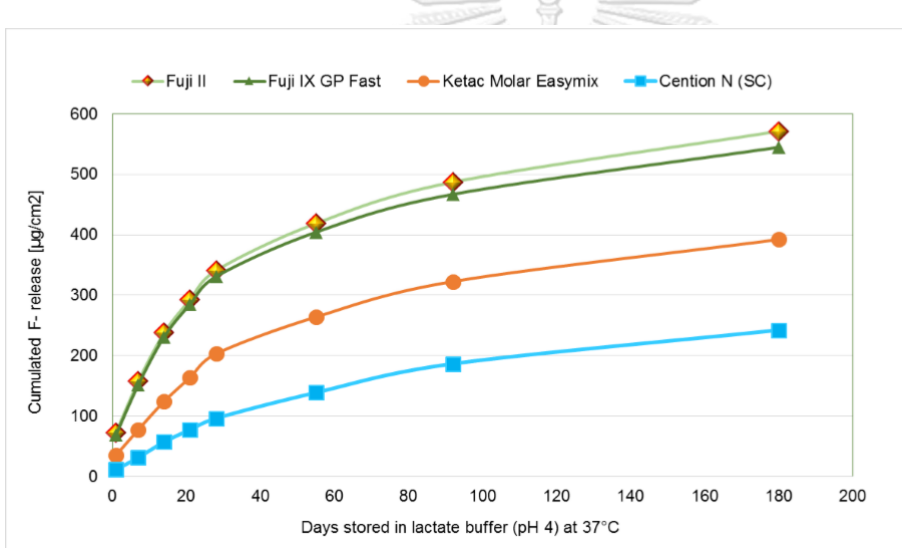
แร่ธาตุให้มากขึ้นทั้งในแร่ปริมาณและคุณภาพที่จะเกิดการคืนกลับได้ในชั้นที่ลึกมากขึ้น(58, 59) จากรายงานของผู้ผลิตพบว่าวัสดุเซนทีน เอ็นสามารถปลดปล่อยประจุฟลูอิร์ด และประจุแคลเซียม ในสภาพกรด ($\text{pH } 4.0$) ได้ดีกว่าในสภาพเป็นกลาง ($\text{pH } 6.8$) และเมื่อเปรียบเทียบการปลดปล่อย ประจุฟลูอิร์ด และประจุแคลเซียมในวัสดุเซนทีน เอ็นที่แข็งตัวด้วยการบ่มตัวเอง (self-cure) กับ การแข็งตัวด้วยการฉายแสงร่วมกับบ่มตัวเอง (dual-cure) พบร่วมวัสดุเซนทีน เอ็นที่แข็งตัวด้วยการบ่ม ตัวเองสามารถปลดปล่อยประจุฟลูอิร์ด และประจุแคลเซียมได้มากกว่า ตั้งแต่ชนิดที่ 3 ส่วนเมื่อศึกษาการปลดปล่อยประจุฟลูอิร์ดสะสม และประจุแคลเซียมสะสมเป็นเวลา 180 วันใน วัสดุเซนทีน เอ็นแบบบ่มตัวเองเทียบกับวัสดุแก้วไอโอนเมอร์ชนิดอื่น ๆ ได้แก่ ฟูจิทู (Fuji II[®]) , ฟูจิ ไนน์จีพีฟาส (Fuji IX GP Fast[®]) และ คีแทคโมลาร์ ในสภาพกรดพบว่าวัสดุแก้ว ไอโอนเมอร์ชนิด ฟูจิทู ปลดปล่อยฟลูอิร์ดได้มากที่สุด รองลงมาเป็นฟูจิไนน์จีพีฟาส , คีแทคโมลาร์และ เซนทีน เอ็น ตามลำดับซึ่งแสดงในภาพที่ 4 ส่วนปลดปล่อยประจุแคลเซียมในสภาพกรดพบว่าวัสดุแก้ว ไอโอนเมอร์ชนิดคีแทคโมลาร์ จะปลดปล่อยประจุแคลเซียมได้มากกว่า เซนทีน เอ็นในช่วง 60 วัน แรกแล้วหลังจากนั้นเซนทีน เอ็นจะปลดปล่อยประจุแคลเซียมสะสมได้มากกว่าตามแผนภาพในภาพที่ 5 แต่จากการศึกษาของ Gupta และคณะเรื่องการปลดปล่อยฟลูอิร์ดของวัสดุบูรณะเซนทีน เอ็น ที่แข็งตัวด้วยการบ่มตัวเองกับการแข็งตัวด้วยการฉายแสง เทียบกับวัสดุแก้วไอโอนเมอร์ที่ไม่มีการ ระบุชนิดในเวลา 7 14 และ 21 วันพบว่าในสภาพเป็นกลางแก้วไอโอนเมอร์มีความสามารถในการ ปลดปล่อยฟลูอิร์ดสูงกว่าวัสดุเซนทีน เอ็นที่แข็งตัวด้วยการบ่มตัวเองและแข็งตัวด้วยการฉายแสงใน ทุกช่วงเวลา ยกเว้นที่เวลา 21 วันที่พบว่าวัสดุแก้วไอโอนเมอร์ ปลดปล่อยฟลูอิร์ดได้เท่ากับวัสดุ เซนทีน เอ็นที่แข็งตัวด้วยการบ่มตัวเอง ส่วนในสภาพเป็นกรด วัสดุทั้งสองชนิดจะปลดปล่อย ฟลูอิร์ดมากขึ้นโดยพบว่าวัสดุเซนทีน เอ็นที่แข็งตัวด้วยการบ่มตัวเองสามารถปลดปล่อยฟลูอิร์ด ได้สูงที่สุดในทุกช่วงเวลา(29)

ส่วนประจุไฮดรอกไซด์จะมีบทบาทในเรื่องสภาพกรดด่าง โดยประจุไฮดรอกไซด์จะช่วยลด ความเป็นกรด เพิ่มค่าพีเอช (pH) และปรับสภาพที่เป็นกรดให้เป็นกลางในที่สุด ได้มีการทดสอบ ความสามารถนี้ของเซนทีน เอ็นด้วยการใช้กรดแลคติกปริมาณ 0.04 มิลลิลิตรหยดลงในสารละลายที่ เป็นกลาง ($\text{pH } 6.8$) ซึ่งมีสารละลายส่วนผสมของวัสดุเซนทีน เอ็น พบร่วมเมื่อยอดกรดแลคติกจะเกิด ความเป็นกรด พีเอชลดลงต่ำจนอยู่ในช่วงวิกฤตที่พีเอช 5.7 และค่าพีเอชจะคงอยู่เพิ่มขึ้นแล้วกลับสู่ ความเป็นกลางที่พีเอช 7 ซึ่งเมื่อยอดกรด แลคติกอีกพบร่วมเกิดการปรับเข้าสู่สมดุลได้ทั้ง 12 ครั้ง ที่ทดลองดังภาพที่ 6 (24)



รูปภาพ 3

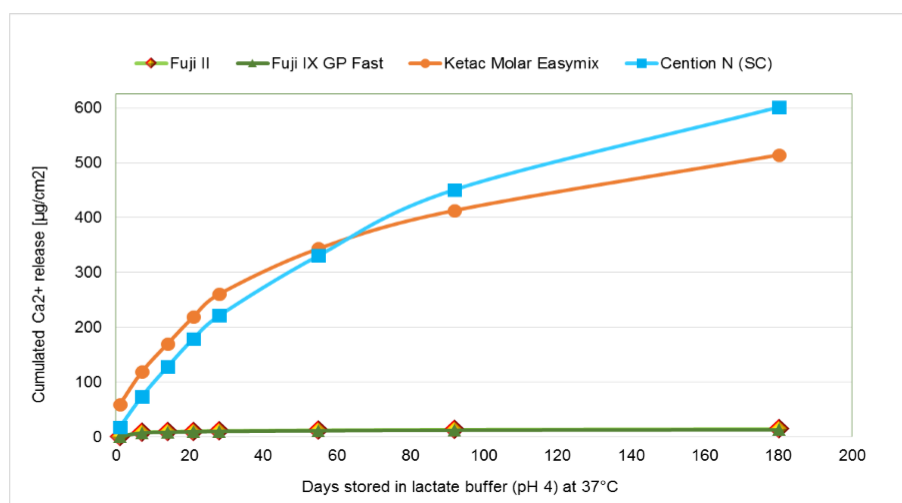
แสดงความสามารถในการปลดปล่อยประจุฟลูออิร์ด และประจุแคลเซียมในสภาวะเป็นกรดและเป็นกลางโดยแบ่งตามลักษณะการรบม



รูปภาพ 4

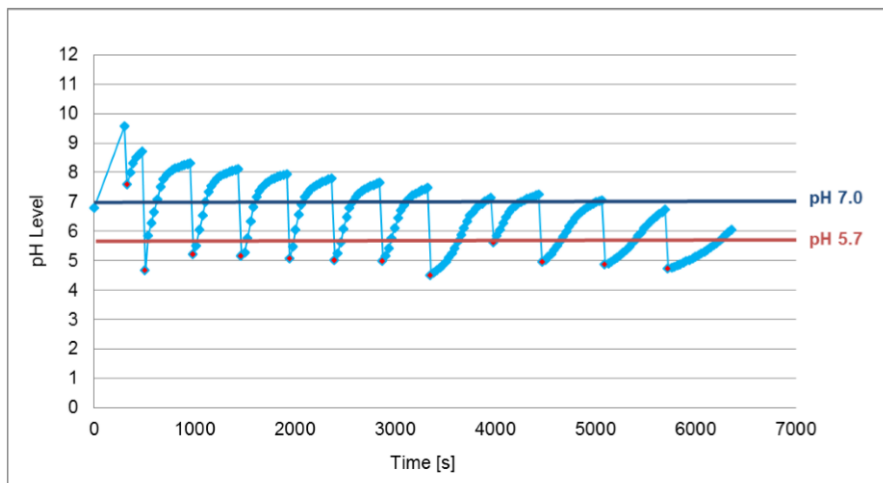
แสดงความสามารถในการปลดปล่อยประจุฟลูออิร์ดในสภาวะเป็นกรดของวัสดุ เช่นที่นิ เอ็นเทียบกับวัสดุแก้วไオโนเมอร์ชนิดอื่น

CHULALONGKORN UNIVERSITY



รูปภาพ 5

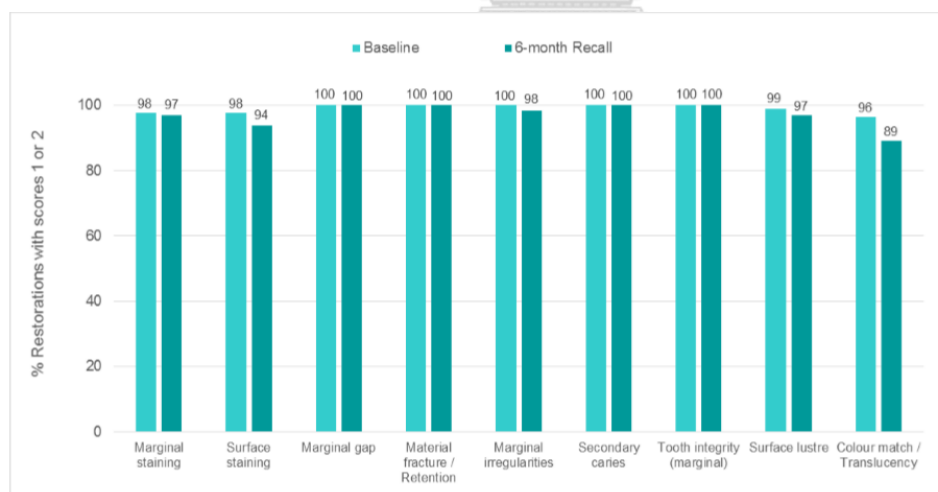
แสดงความสามารถในการปลดปล่อยประจุแคลเซียมในสภาวะเป็นกรดของวัสดุ เช่นที่นิ เอ็นเทียบกับวัสดุแก้วไオโนเมอร์ชนิดอื่น ๆ



รูปภาพ 6
แสดงความสามารถ
ปรับสภาวะความเป็น
กรดให้เป็นกลางของ
วัสดุเซนทิน เอ็น

จากความสามารถในการปลดปล่อยประจุหิ้ง 3 ชนิด จึงนำไปสู่ความสามารถในการยับยั้งการสูญเสียแร่ธาตุและเกิดฟันผุ ตามเอกสารข้อมูลผลิตภัณฑ์ไดระบุว่าผู้ผลิตไดศึกษาความสามารถในการยับยั้งการสูญเสียแร่ธาตุของวัสดุเซนทิน เอ็นในร้อยผู้จำลองโดยการวัดความแข็งผิวฟันเปรียบเทียบกับวัสดุคอมโพสิตเรซิโน่ที่ไม่มีการปลดปล่อยประจุได ๆ ชนิดเทธริก เอ็น ซีแรมโดยมีกลุ่มควบคุมเป็นวัสดุแก้วไอโอดีเมอร์ชนิดฟูจิในนพบฯ เคลือบฟันในบริเวณที่อยู่ติดกับวัสดุเซนทิน เอ็น มีความแข็งผิวมากกว่าเคลือบฟันในบริเวณที่อยู่ติดกับวัสดุเทธริก เอ็น ซีแรม เช่นเดียวกับในกลุ่มควบคุมที่เคลือบฟันในบริเวณที่อยู่ติดกับวัสดุฟูจิในนพบฯ มีความแข็งผิวมากกว่าเคลือบฟันในบริเวณที่อยู่ติดกับวัสดุเทธริก เอ็น ซีแรม จึงสรุปว่าทั้งวัสดุเซนทิน เอ็นและฟูจิในนพบฯ มีความสามารถในการยับยั้งการสูญเสียแร่ธาตุของเคลือบฟันที่บูรณะบริเวณคอฟันด้วยวัสดุ 3 ชนิดได้แก่ วัสดุคอมโพสิตเรซิโน่ที่ไม่มีการปลดปล่อยฟลูออโรเดชันนิดแซด 100 วัสดุแก้วไอโอดีเมอร์ชนิดวีทรีเมอร์และวัสดุเซนทิน เอ็น แล้วนำมาส่องด้วยกล้องจุลทรรศน์ชนิดใช้แสงโพลาไรซ์ (Polarized light microscope) พบว่าขนาดพื้นที่ซึ่งเกิดการสูญเสียแร่ธาตุในฟันที่บูรณะด้วยวัสดุแก้วไอโอดีเมอร์ชนิดวีทรีเมอร์มีขนาดเล็กที่สุด และพบว่าแตกต่างกับขนาดพื้นที่การสูญเสียแร่ธาตุในวัสดุเซนทิน เอ็นและวัสดุคอมโพสิตเรซิโน่ชนิดแซด 100 อย่างมีนัยทางสถิติ และรองลงมาจึงเป็นขนาดพื้นที่ซึ่งเกิดการสูญเสียแร่ธาตุในฟันที่บูรณะด้วยวัสดุเซนทิน เอ็น ซึ่งก็มีความสามารถแตกต่างกับขนาดพื้นที่การสูญเสียแร่ธาตุในวัสดุคอมโพสิตเรซิโน่ชนิดแซด 100 อย่างมีนัยทางสถิติเช่นกัน(60)

สำหรับการศึกษาที่ติดตามผลทางคลินิกของวัสดุเซนทีน เอ็นยังมีไม่นัก และพบว่าเป็นการศึกษาที่ทำโดยบริษัทผู้ผลิต ในปี 2016 Özcan M และคณะได้ทำการประเมินผลทางคลินิกของวัสดุเซนทีน เอ็นในการบูรณะฟันคลาสวันและคลาสทู ในระยะเวลา 6 เดือนพบว่าจากคนไข้จำนวน 50 คนในช่วงอายุตั้งแต่ 18-70 ปี ทำการประเมินทางคลินิกโดยใช้เกณฑ์ FDI คะแนน 1-5 ทำการประเมินเพื่อเก็บข้อมูลตั้งต้นหลังทำการบูรณะ 2 อาทิตย์แล้วติดตามผลที่เวลา 6 เดือน ผลพบว่าจากผู้เข้าร่วมทั้งหมด 50 คน มีการบูรณะทั้งหมดจำนวน 88 แควิตี้ที่รวมทั้งคลาสวันและคลาสทูที่ฟันกรามน้อยและฟันกราม การบูรณะทำแบบไม่ใช้สารยึดติด ในการตรวจเก็บข้อมูลตั้งต้นพบว่ามีผู้มาจำนวน 48 คนและมีจำนวนแควิตี้ที่บูรณะไปจำนวน 84 แควิตี้ ส่วนเมื่อติดตามผลที่ 6 เดือนสามารถติดตามผลการบูรณะได้เพียง 64 แควิตี้ คิดเป็นร้อยละ 76 ของการบูรณะทั้งหมดที่ได้ทำไปจากการตรวจไม่พบการหลุด แตก การผุต่อหรือมีอาการจนต้องได้รับการรักษาหาก เมื่อประเมินตามเกณฑ์ FDI ในเรื่องการติดสีบริเวณขอบและพื้นผิว ซึ่งว่างบริเวณขอบ การแตกหักของวัสดุ การยึดอยู่ การผุต่อ ความแนบของวัสดุ ความชรุขระพื้นผิววัสดุ และความสวยงามเหมือนฟันธรรมชาติทั้งในแสงสีและความใส พบว่าส่วนมากจะอยู่ในเกณฑ์คะแนน 1 หรือ 2 ซึ่งหมายถึง การมีลักษณะทางคลินิกที่ดีเยี่ยม หรือ ดี ทั้งในการประเมินตั้งต้นและที่ 6 เดือนโดยมีรายละเอียดตามแผนภาพที่ 7



รูปภาพ 7
แสดงผลการประเมินทางคลินิกของวัสดุบูรณะเซนทีน เอ็นที่ได้รับคะแนน 1 หรือ 2 ตามเกณฑ์ FDI ในรูปแบบร้อยละ

ในปีเดียวกัน Burgess และ Lawson ได้ทำการศึกษาผลทางคลินิกเบรียบเทียบเมื่อบูรณะด้วยวัสดุ เซนทีน เอ็นแบบใช้สารยึดติด , ไม่ใช้สารยึดติด และอะมัลกัมในคนไข้ 41 คน การบูรณะมีทั้งคลาสวันร้อยละ 29 และคลาสทูร้อยละ 71 ใช้เกณฑ์ FDI คะแนน 1-5 และทดสอบด้วยความเย็น (Cold test) โดยทำการประเมินเพื่อเก็บข้อมูลตั้งต้นหลังทำการบูรณะ 2 อาทิตย์แล้วติดตามผลที่

เวลา 6 เดือน ในการตรวจเก็บข้อมูลตั้งต้นพบว่ามีผู้มาจำนวน 41 คนและมีจำนวนแควตีที่บูรณะไปจำนวน 126 แควตี ส่วนเมื่อติดตามผลที่ 6 เดือน สามารถติดตามผลการบูรณะได้ 38 คน และมีวัสดุบูรณะที่ยังคงอยู่ 115 แควตี พบร่วมกับการบูรณะด้วยวัสดุเซนทิน เอ็น ล้มเหลวจำนวน 2 แควตี ได้แก่ การหลุดของวัสดุในแควตีที่บูรณะด้วยวัสดุเซนทิน เอ็นแบบไม่ใช้สารยึดติด และอาการเสียร้าฟันหลัง การบูรณะ ในกรณีที่มีการหลุดของวัสดุบูรณะเมื่อตรวจและซักกปร่าวติพบร่วมกับคนไข้รายนี้มีประวัตินอน กัดฟัน และมีการเตรียมแควตีไม่เหมาะสมสมจังน่าจะมีผลต่อการยึดอยู่ของวัสดุ ส่วนการทดสอบด้วย ความเย็นพบว่าฟันที่บูรณะด้วยวัสดุอะมัลกัมมีโอกาสเสียร้าฟันมากกว่า วัสดุเซนทิน เอ็น และเมื่อประเมินตามเกณฑ์ FDI พบร่วมกับวัสดุเซนทิน เอ็นมากกว่าร้อยละ 90 อยู่ในเกณฑ์คะแนน 1 หรือ 2 ซึ่ง หมายถึง การมีลักษณะทางคลินิกที่ดีเยี่ยม หรือ ดี ทั้งในการประเมินตั้งต้นและที่ 6 เดือนใกล้เคียงกับ วัสดุ อะมัลกัม ยกเว้นในเรื่องความชรุของพื้นผิววัสดุที่วัสดุเซนทิน เอ็นจะต่ำกว่าอะมัลกัม(24)

จากที่กล่าวมาวัสดุเซนทิน เอ็นอยู่ในรูปแบบผงและน้ำ เมื่อใช้งานจึงนำส่วนผงและน้ำมาผสม ด้วยมือในสัดส่วนผง 1 ช้อน : น้ำ 1 หยด ในเวลา 45-60 วินาทีโดยมีเวลาทำงาน (Working time) ประมาณ 2 นาที 30 วินาทีแล้ววัสดุสามารถแข็งตัวด้วยการบ่มตัวเองในเวลา 4 นาที (รวมเวลาในการผสมและเวลาทำงาน) หรือหากต้องการให้แข็งตัวทันทีสามารถฉาวยแสงเพื่อให้เกิดการบ่มตัวด้วยแสง แล้วจึงเกิดการบ่มตัวด้วยตัวเองได้เช่นกัน โดยแนะนำให้ใช้เครื่องฉาวยแสงในช่วงคืนแสงสีฟ้าความ ยาว 400-500 นาโนเมตร ในการบูรณะสามารถใช้บูรณะแบบหั่นก้อนได้เนื่องจากวัสดุมีการแข็งตัว ด้วยการบ่มตัวเอง ความหนาของวัสดุจึงไม่เป็นข้อจำกัด รวมถึงได้มีการใส่ผงไอโซฟิลเลอร์ (Isofiller) เพื่อลดแรงเค้นจากการหดตัวของปฏิกิริยาโพลิเมอร์ การเตรียมแควตีสำหรับวัสดุเซนทิน เอ็น ใน กรณีที่ใช้สารยึดติด (Adhesive Universal) ให้ทำงานหลักการ รักษาแบบรุกรานน้อย โดยระบบสาร ยึดติดสามารถทำได้ทั้งระบบโททธอลเอทซ์ และระบบเซลฟ์ เอทซ์ โดยให้ผลการยึดติดและปิดผนึกไม่ แตกต่างกัน และในกรณีที่ไม่ต้องการใช้สารยึดติดในการบูรณะก็สามารถทำได้โดยการเตรียมแควตีให้ มีรูปร่างและส่วนลด (Undercut) ที่วัสดุสามารถยึดติดได้เมื่อมีการเตรียมแควตีสำหรับการบูรณะ ด้วยวัสดุอะมัลกัม ส่วนลักษณะทางคลินิกของวัสดุเซนทิน เอ็นจะมีสีเหมือนพื้นอยู่ในเขตสี เอ 2 (A2) ความโปร่งใสจะมากกว่าวัสดุแก้วไอโอนเมอร์โดยมีระดับความโปร่งแสงร้อยละ 4 เท่านั้น ลักษณะทางคลินิกของ วัสดุเซนทิน เอ็นแสดงในภาพที่ 8(24)



รูปภาพ 8 (ซ้าย)แสดงภาพฟันที่บูรณะด้วยวัสดุเซนทีน เอ็น, (กลาง) แสดงภาพฟันที่บูรณะด้วยวัสดุแก้วไอโอนิเมอร์ ชนิดฟูจิไนน์ สีเอ 2 , (ขวา) แสดงภาพฟันที่บูรณะด้วยวัสดุแก้วไอโอนิเมอร์ ชนิดคีแทคโมลาร์ สีเอ 3

การคืนกลับของแร่ร่าตุในรอยผุระยะเริ่มต้นของฟันข้างเคียงที่สัมผัสกับฟันที่ได้รับการบูรณะ

ด้านประชิดหรือบริเวณซอกฟันเป็นบริเวณที่มีการสะสมของคราบจุลินทรีย์ได้ง่ายเนื่องจากลักษณะทางกายวิภาคที่เป็นจุดสัมผัสระหว่างซี่ฟัน อีกทั้งยังเข้าทำความสะอาดยาก บริเวณนี้จึงมีโอกาสเกิดรอยโรคฟันผุได้ง่าย รอยผุเริ่มต้นด้านประชิดแม้จะมีการสูญเสียแร่ร่าตุแต่อายุไม่เป็นสองรองโดยจากการศึกษา Pitts และ Rimmer ที่ทำการศึกษารอยโรคฟันผุที่ปรากฏในภาพถ่ายรังสีแบบกัดปีกเบรียบเทียบกับรอยโรคฟันผุในทางคลินิกที่ใช้ยางแยกฟันไว้เป็นเวลา 1 อาทิตย์พบว่า ในฟันแท้ เมื่อพบรอยโรคฟันผุภาพรังสีอยู่ในคริ่งนอกของชั้นเคลือบฟันในทางคลินิกจะไม่พบว่าฟันเป็นโพรงเลย เมื่อพบรอยโรคฟันผุภาพรังสีอยู่ในคริ่งในของชั้นเคลือบฟันในทางคลินิกจะพบว่ามีฟันร้อยละ 10.5 ที่มีฟันผุเป็นโพรง เมื่อพบรอยโรคฟันผุภาพรังสีอยู่ในคริ่งนอกของชั้นเนื้อฟันในทางคลินิกจะพบว่ามีฟันร้อยละ 40.9 ที่มีฟันผุเป็นโพรง และรอยโรคฟันผุภาพรังสีอยู่ในคริ่งในของชั้นเนื้อฟันในทางคลินิกจะพบว่ามีฟันร้อยละ 40.9 ที่มีฟันผุเป็นโพรง และรอยโรคฟันผุภาพรังสีอยู่ในคริ่งนอกของชั้นเนื้อฟันในทางคลินิกจะพบว่ามีฟันร้อยละ 100 ที่มีฟันผุเป็นโพรง ส่วนในฟันน้ำนมนั้น เมื่อพบรอยโรคฟันผุภาพรังสีอยู่ในคริ่งนอกของชั้นเคลือบฟันในทางคลินิกจะพบว่ามีฟันร้อยละ 2.0 ที่มีฟันผุเป็นโพรง เมื่อพบรอยโรคฟันผุภาพรังสีอยู่ในคริ่งในของชั้นเคลือบฟันในทางคลินิกจะพบว่ามีฟันร้อยละ 2.9 ที่มีฟันผุเป็นโพรง เมื่อพบรอยโรคฟันผุภาพรังสีอยู่ในคริ่งนอกของชั้นเนื้อฟันในทางคลินิกจะพบว่ามีฟันร้อยละ 28.3 ที่มีฟันผุเป็นโพรง และรอยโรคฟันผุภาพรังสีอยู่ในคริ่งในของชั้นเนื้อฟันในทางคลินิกจะพบว่ามีฟันร้อยละ 95.5 ที่มีฟันผุเป็นโพรง(61) จะเห็นได้ว่ารอยผุด้านประชิดระยะเริ่มต้นส่วนมากจะยังไม่ผุจนเป็นโพรง หากเกิดการคืนกลับแร่ร่าตุจะทำให้การผุชะลอการดำเนินของโรคหรือหยุดลูกเลม(62) แต่หากปล่อยให้การผุนั่นดำเนินต่อไปจนผุลูกเลมเป็นโพรงไม่สามารถทำการคืนกลับแร่ร่าตุ การจัดการที่ทำได้คือการกรอและอุดเพื่อบูรณะรอยผุนั้น อย่างไรก็ตามมีโอกาสพบด้าน

ประชิดของพื้นที่ข้างเคียงที่ติดกับรอยผุที่ต้องบูรณะเกิดการผุระยะเริ่มต้น(63) รอยผุระยะเริ่มต้นที่ไม่เป็นโครงในพื้นที่ข้างเคียงยังสามารถเกิดการคืนกลับแร่ร่าตุได้หากได้รับพลุอิรีด์ที่เหมาะสม

จากการทบทวนการศึกษาการคืนกลับของแร่ร่าตุในรอยผุระยะเริ่มต้นของพื้นที่ข้างเคียงที่สัมผัสกับพื้นที่ได้รับการบูรณะด้วยวัสดุที่มีการปลดปล่อยฟลูอิรีด์ สามารถสรุปรายละเอียดได้ตามตารางหมายเลข 4 โดยการศึกษาส่วนมากจะเป็นการทดลองในห้องปฏิบัติการ(12, 16-18, 20, 21, 23) ส่วนการศึกษาทางคลินิกพบเพียงการศึกษาของ Donly(19) ในปี 1999 และ Qvist(22) ในปี 2010 เท่านั้น วิธีการศึกษาการคืนกลับแร่ร่าตุในรอยผุที่นิยมใช้ในการศึกษาได้แก่ การส่องรอยผุด้วยกล้องจุลทรรศน์ชนิดใช้แสงโพลาไรซ์เทียบก่อนและหลังการทดลอง แต่ในการศึกษาหลังปี 2000 เริ่มมีการวัดผลด้วยวิธีการใหม่ๆ เช่น การวัดความหนาแน่นรอยผุด้วยเครื่องเอกซเรย์คอมพิวเตอร์ ระดับไมโครเมตร, การส่องด้วยกล้องจุลทรรศน์อิเล็กตรอนแบบส่องกราด และการวัดความแข็งผิวระดับจุลภาคบริเวณรอยผุเทียบก่อนและหลังทดลอง

ผลการศึกษาส่วนใหญ่พบว่าวัสดุบูรณะที่สามารถปลดปล่อยฟลูอิรีด์ได้จะสามารถทำให้ยับยั้งการสูญเสียแร่ร่าตุในรอยผุระยะเริ่มต้นของพื้นที่ข้างเคียง รวมถึงเกิดการคืนกลับของแร่ร่าตุได้วัสดุบูรณะที่พบในการศึกษา ได้แก่ วัสดุแก้วไอโอดีนเมอร์ทั้งชนิดดังเดิมและดัดแปลง, วัสดุคอมโพสิตเรซิโนทั้งแบบปลดปล่อยและไม่ปลดปล่อยฟลูอิรีด์, วัสดุคอมโพเมอร์ และวัสดุ อะมัลกัม โดยพบว่าวัสดุแก้วไอโอดีนเมอร์มีความสามารถในการยับยั้งการสูญเสียแร่ร่าตุในรอยผุระยะเริ่มต้นของพื้นที่ข้างเคียงได้ดีกว่าวัสดุในกลุ่มอื่น ส่วนอะมัลกัมและคอมโพสิตเรซิโนทั้งชนิดไม่ปลดปล่อยฟลูอิรีด เป็นวัสดุที่ไม่สามารถปลดปล่อยฟลูอิรีดได้จึงเป็นกลุ่มที่พบการสูญเสียแร่ร่าตุในรอยผุระยะเริ่มต้นของพื้นที่ข้างเคียงได้มากที่สุด แต่อย่างไรก็ตามยังไม่มีการศึกษาใดที่นำวัสดุบูรณะในกลุ่มอัลคาไซต์ ซึ่งถือเป็นวัสดุในกลุ่มที่สามารถปลดปล่อยฟลูอิรีด รวมถึงประจุอิเล็กตรอน ๆ ได้แก่ แคลเซียมและไฮดรอกไซด์มาทำการบูรณะรอยผุด้านประชิดแล้วดูการคืนกลับของแร่ร่าตุในรอยผุของพื้นที่ข้างเคียง

ตาราง 4 แสดงการศึกษาการศึกษาเบื้องต้นของฟันเข้าสีที่รับประทานซึ่งทำให้ได้รับการบูรณะด้วยวัสดุที่ไม่สามารถปฏิรูปคือไฮโดรเจล

ผู้แต่ง,ปี	ชนิด	ประเภท	ชุดฟัน	ระบะบัด	การศึกษา	ผลการศึกษา
Segura และคณะ 1997(16)	60 ปี	ฟันกราร ฟันราม	ฟันกราร ฟันฟัน	14 วัน น้ำยาเทียม	-บูรณะคราส ตัวยับสีตุ๊ด 3 ครั้มแม้ว่าน้ำยาจะติดกับฟันที่ตัวยับจะยังคงอยู่ได้ต่อไปนานาไปๆใน กิ่งมูล 1 ยูดี้ยาแก้วโอลิโนเมอร์ (Ketac-Fill [®]) ถูกถอดออกแล้ววิธีตามบันได ครอบพิสด กิ่งมูล 2 แก้วโอลิโนเมอร์ซิลเวอร์ชีล์ฟ (Ketac-Silver [®]) 10 ซี. กิ่งมูล 3 อะม็อกซิม (Gytek [®]) 10 ซี.	วัสดุบูรณะกิ่งมูล 1 น้ำยาจะยังคง เคลือบและห่อฟันเพื่อป้องกันเชื้อโรค กิ่งมูล 2 โอลิโนเมอร์ซิลเวอร์ชีล์ฟ กิ่งมูล 3 อะม็อกซิมสำหรับฟันที่ติดกับฟันที่ต้องถอดออกแล้ว
Marinelli และคณะ 1997(17)	80 ปี	ฟันกราร ฟันราม	ฟันกราร ฟันฟัน	30 วัน หากลุ่มทุกคนไม่มีผลแพ้แพ้ 30 วัน	-นำฟันกรามมาสักฟันโดยผู้จัดทำในกล่องแล้วนำยีดติดกับฟันอีกซีซีโดยเปลี่ยน 4 กิ่งมูล หากลุ่มทุกคนไม่มีผลแพ้แพ้ 30 วัน กิ่งมูล 1 นำฟันที่รอมรอนมาริดกับฟันที่ไม่กรามแล้วใส่กล่องแล้วนำไปเมอร์ (Vitremer [®]) 10 คู่	การศึกษาลับของเรื่องฟันที่รอมรอนไม่ใช่ฟันที่ไม่ใช่ฟันที่รอมรอน กิ่งมูล 2 นำฟันที่ไม่ใช่ฟันที่รอมรอนใส่กล่องแล้วนำไปเมอร์ กิ่งมูล 3 ยำสีฟันฟันใส่กล่องแล้วนำไปเมอร์

การศึกษา				ผลการศึกษา				
ผู้แต่ง, ปี	ชนิด ประชารัฐ ปัจจุบัน	คุณภาพ มาตรฐาน	มาตรฐาน เชิงอ้างอิง	คุณภาพ มาตรฐาน	คุณภาพ มาตรฐาน	ระยะเวลา	ระยะเวลา	
Donly และคณะ 1999(19) (ต่อ)				ช่วง 3 อิมเลคอลาสทุ ทำตัวว่าสุดเก้าอี้โอบนเมืองรชนิดต์แลกตัวยารีชิน (Vitremer®) และเบรจ พมดูรยาสพ์ไม่เป็นเพลิงอยู่แล้ว วันถัด 2 ครั้ง ครั้งละ 2 นาที ช่วง 4 อิมเลคอลาสทุ ทำตัวว่าสุดเก้าอี้โอบนเมืองรชนิดต์เปลงตัวยารีชิน (Vitremer®) และเบรจ พมดูรยาสพ์ไม่เป็นเพลิงอยู่แล้ว (Crest) วันถัด 2 ครั้ง ครั้งละ 2 นาที ช่วง 5 อิมเลคอลาสทุ ทำตัวว่ายสุดค้อมพสิตรีชินที่สามารถบล็อกไปอีก วันถัด 2 ครั้ง ครั้งละ 2 นาที (Heliomolar®) และบปรังฟันด้วยยาสีฟันฟูมูกอ่อนแล้ว วันถัด 2 ครั้ง ครั้งละ 2 นาที ช่วง 6 อิมเลคอลาสทุ ทำตัวว่ายสุดค้อมพสิตรีชินที่สามารถบล็อกไปอีก วันถัด 2 ครั้ง ครั้งละ 2 นาที (Heliomolar®) และบปรังฟันด้วยยาสีฟันฟูมูกอ่อน (Crest) วันถัด 2 ครั้ง ครั้งละ 2 นาที -หลังครบ 6 ช่วงจะนำการติดครอบแบบอิมเลคอลาสทุกตัวที่ส่วนขาวเปลบตามเดิมพอกอ่อนไว้แล้ว อย่างน้ำยา -นำไปซื้อฟันที่มีรอยจางลงมากและตัวอย่างสูงสุดของร่องรอยน้ำยาในและฟันขาวที่เคยเทียบกับหลังทดลอง ครบ 30 วัน				
Jang และคณะ 2001(20)	พัฒนาว ัชกรรม	พัฒนา วัสดุ	พัฒนา วัสดุ	พัฒนาว ัชกรรม	พัฒนา วัสดุ	30 วัน	30 วัน	

ผู้แต่ง, ปี	ชนิด ประชาร สูงอายุ	ชนิด ซี่ฟัน	ชุดฟัน ซี่ฟัน	ระยะ เวลา	การศึกษา	ผลการศึกษา
Lee และคณะ 2008(21)	20 ปี (ตั้งแต่ 64 ปี)	ฟันกราวร ฟันกราม น้อย	ฟันกราวร ฟันกราม	30 วัน	โดยรับฟันทันทีโดยใช้ฟันกรามน้อยมาสร้างร่องฟันกราฟันทันทีในฟันกราฟันทันทีที่ได้รับ บริโภคอาหารคาวหรือเครื่องดื่มที่มีรสเผ็ดแล้วห่อฟันกราฟันทันทีด้วยฟันกรามที่มี ช่องฟันกรามตัดกับฟันกราฟันที่มีช่องฟันกรามที่มีฟันกรามพิเศษ 30 วัน ผู้สูงอายุ 1 วัสดุไม้ไผ่โอลิโนเมอร์ (Fup® IX GP®) 16 ตุ่ ผู้สูงอายุ 2 วัสดุไม้ไผ่โอลิโนเมอร์ (F2000) 16 ตุ ผู้สูงอายุ 3 วัสดุคอมโพลิเมอร์ (Z250) 16 ตุ ผู้สูงอายุ 4 วัสดุคอมโพลิเมอร์ที่มีปลอกเคลือบไฮดรอกออล (Z250) 16 ตุ ผู้สูงอายุที่ร่วมกับฟันกรามพิเศษด้วยฟันกรามที่มีช่องฟันกราม หัวฟันกราม หัวฟันกราม 3 , 6 และ 9 เต็มไป	โดยรับฟันทันทีโดยใช้ฟันกรามน้อยมาสร้างร่องฟันกราฟันทันทีในฟันกราฟันที่ได้รับ บริโภคอาหารคาวหรือเครื่องดื่มที่มีรสเผ็ดแล้วห่อฟันกราฟันทันทีด้วยฟันกรามที่มี ช่องฟันกรามตัดกับฟันกราฟันที่มีช่องฟันกรามที่มีฟันกรามพิเศษ 30 วัน เจริญเติบโตเร็วทันทีที่ห่อฟันกรามที่มีช่องฟันกรามตัดกับฟันกรามที่มีช่องฟันกราม อย่างรวดเร็วสำหรับฟันกรามที่มีช่องฟันกรามที่มีฟันกรามพิเศษในฟันกรามที่มีช่องฟันกราม หัวฟันกราม หัวฟันกราม 3 , 6 และ 9 ผ่านไปในทุกๆ วัน และฟันกรามจะหายใจและฟื้นฟูเมื่อมีการรักษาต่อจากครั้ติ
Qvist และคณะ 2010(22)	1459 คน 2.6-15.3 ปี	-ฟันกราม น้ำนม ฟันกราม น้อยกราวร	-ฟันกราม น้ำนม ฟันกราม น้อยกราวร	8 ปี	ดำเนินการศึกษาฟันที่อยู่ติดกันที่เนื้อเยื่ออ่อนกรูดและคลาสทุต ตัวอย่างวัสดุบรรจุ 4 กระเบื้องที่ทำจากปูร์เชชิติกซี ฟันกรามรากฟันและฟันกรามน้อยรวมไปด้วย 1341 ตัวกัน ผู้สูงอายุ 1 ดำเนินการศึกษาที่ติดกับวัสดุอะมัลตัน (Dispersalloy®) 220 ตัวกัน ผู้สูงอายุ 2 ดำเนินการศึกษาที่ติดกับวัสดุแม็กซ์โล่โอลิโนเมอร์ (Ketac-C-Fil®, Ketac-Molar®) 226 ตัวกัน ผู้สูงอายุ 3 ดำเนินการศึกษาที่ติดกับวัสดุแม็กซ์โล่โอลิโนเมอร์ ที่มีช่องฟันกราม (Fup® II LC®, PhotacFil® Vitremer®) 522 ตัวกัน ผู้สูงอายุ 4 ดำเนินการศึกษาที่ติดกับวัสดุคอมโพลิเมอร์ (Dyact®, Dyract AP®, Compoglass®) 373 ตัวกัน -วัสดุที่อยู่ทางเดียวจะประเมินทางคณิติกา ร่วมกับภาระที่สามารถรับได้ โดยมีรูปแบบ เรียงมาติดต่อกัน 4-16 เตือนหมายความเรื่องตัวบุคคลที่อาจอ้างผู้ติดต่อจ	พบว่าร้อยละ 28 ของตัวบุคคลประเมินว่าฟันกรามที่ติดกับวัสดุอะมัลตัน ต้องบูรณะ โดยเป็นตัวบุคคลที่ติดกับวัสดุอะมัลตันมากที่สุดจึงมีรายทางสังคมที่ต่ำและต้องเสียเงิน จึงสรุปได้ว่าวัสดุที่ไม่ทนทานต่อการใช้งานต่อไปที่มีความสามารถในการ ปลดปล่อยฟันกรามได้เร็วกว่า (ก่อน 2-3 ปี) ทวายหยุดชะงักการ ถูกสามารถบุคคลประเมินต่อไปได้

ผู้แต่ง/ปี	ผู้แต่ง/ปี	ประเภท	ขนาด	อะตอม	อะตอม	ระยะ	ผลการศึกษา
Baligal, L & Bhart 2010 ⁽¹²⁾	90 ชีวิต	พัฒนารักษาระยะสั้น	พัฒนารักษาระยะสั้น	พัฒนารักษาระยะสั้น	- บุรุษและสตรี 3 กลุ่มและวัย暮年人群ที่ต้องทนประชดฟื้นฟูหลังจัดฟันที่ดีและฟื้นฟูฟันที่ดี	28 วัน	- กระบวนการรักษาฟันที่ดีและฟื้นฟูฟันที่ดีในประเทศไทยมีความหลากหลายมากที่สุด แต่ก็ยังคงมีความซับซ้อนและซับซ้อนอย่างมาก จึงต้องใช้เวลาและแรงงานที่สูงมาก แต่ก็สามารถให้ได้ผลลัพธ์ที่ดีและคงทน
Gulsen 1 2015 ⁽²³⁾	พัฒนารักษาระยะสั้น	พัฒนารักษาระยะสั้น	พัฒนารักษาระยะสั้น	พัฒนารักษาระยะสั้น	พัฒนารักษาระยะสั้น	28 วัน	- กระบวนการรักษาฟันที่ดีและฟื้นฟูฟันที่ดีในประเทศไทยมีความหลากหลายมากที่สุด แต่ก็ยังคงมีความซับซ้อนและซับซ้อนอย่างมาก จึงต้องใช้เวลาและแรงงานที่สูงมาก แต่ก็สามารถให้ได้ผลลัพธ์ที่ดีและคงทน

การวัดผลการสูญเสียและคีนกลับแร่ราก

ฟันผุเกิดจากการเสียสมดุลของกระบวนการหล่อละลายและคีนกลับแร่รากที่ส่งผลให้ปริมาณแร่รากสูตริข่องฟันมีการเปลี่ยนแปลงซึ่งนำไปสู่การเปลี่ยนแปลงทางกายภาพต่อไป เช่น ความแข็งผิวฟัน ความสามารถในการหักเหแสง เป็นต้น ดังนั้นการศึกษาบริมาณแร่รากที่เปลี่ยนแปลงจึงถือเป็นวิธีการวัดผลการศึกษาระบวนการสูญเสียและคีนกลับแร่รากอย่างตรงไปตรงมา(64) ซึ่งวิธีทرانเวิร์สไมโครเรดิโอลอกราฟ (Transverse microradiography :TMR) เป็นวิธีมาตรฐานที่นิยมใช้ในการศึกษา ส่วนการศึกษาคุณสมบัติทางกายภาพที่เปลี่ยนไปอื่น ๆ ถือเป็นวิธีการศึกษาระบวนการสูญเสียและคีนกลับแร่รากในทางอ้อม เช่น ความแข็งผิวฟัน ความสามารถในการหักเหแสงของฟัน เป็นต้น ซึ่งวิธีการศึกษาแต่ละวิธีมีข้อดี ข้อเสียและข้อจำกัดที่แตกต่างกัน ผู้ศึกษาจึงต้องพิจารณาและเลือกวิธีให้เหมาะสมกับงานวิจัย(65)

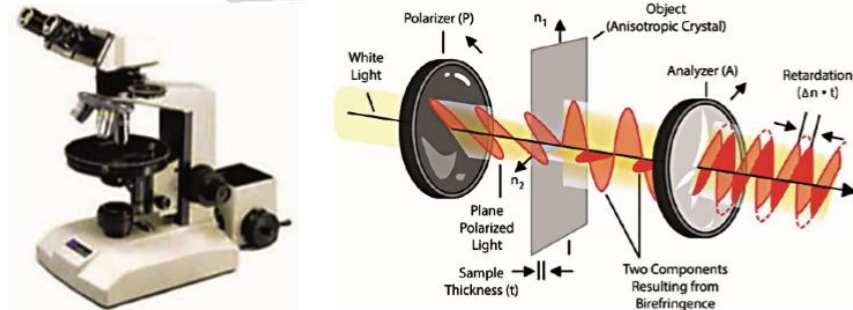
การวัดด้วยวิธีทرانเวิร์สไมโครเรดิโอลอกราฟ

วิธีทرانเวิร์สไมโครเรดิโอลอกราฟเป็นวิธีการวัดปริมาณ องค์ประกอบและการเปลี่ยนแปลงของแร่รากในฟันที่สามารถวัดผลเชิงปริมาณและเป็นวิธีมาตรฐาน (gold standard) ในการศึกษาการสูญเสียและคีนกลับแร่รากในรอยโรคฟันผุ(64, 66) วิธีนี้อาศัยการวัดการดูดกลืนรังสีเอกซ์ความยาวคลื่นค่าเดียวของชิ้นฟันเทียบกับค่าการดูดกลืนมาตรฐานโดยมีการใช้ไมโครสโคปเดนสิตومิเตอร์ (Microscope densitometer) ช่วยคำนวณปริมาณแร่รากที่ในฟัน(67) แต่วิธีทرانเวิร์สไมโครเรดิโอลอกราฟมีข้อจำกัดและข้อด้อยที่สำคัญคือการวัดด้วยวิธีนี้จะทำลายชิ้นฟันจึงไม่สามารถวัดซ้ำได้ และมีขั้นตอนการเตรียมชิ้นฟันที่ยุ่งยาก ใช้เวลาในการทำงานเนื่องจากชิ้นฟันที่เตรียมจะต้องมีพื้นผิวเรียบและหนาไม่เกิน 100 ไมโครเมตรเพื่อความแม่นยำในการวัด รวมถึงต้องระมัดระวังหากชิ้นฟันที่จะวัดมีส่วนของเนื้อฟัน (dentin) เนื่องจากเนื้อฟันอาจหาดตัวเมื่ออาภาคแห้งเกินไปทำให้ผลลัพธ์เคลื่อนได้ ดังนั้นวิธีทرانเวิร์สไมโครเรดิโอลอกราฟจึงอาจไม่ใช่ทางเลือกแรกๆในการวัดการสูญเสียและคีนกลับแร่รากในรอยผุ(66, 68)

การวัดด้วยกล้องจุลทรรศน์ชนิดแสงโพลาไรซ์ (Polarized light microscope)

วิธีการวัดการสูญเสียและคีนกลับของแร่รากด้วยกล้องจุลทรรศน์ชนิดแสงโพลาไรซ์เป็นวิธีหนึ่งที่นิยมใช้ในการศึกษาการเปลี่ยนแปลงแร่รากในรอยผุ(68) หลักการทำงานคือกล้องจุลทรรศน์ชนิดนี้จะใช้กับวัตถุที่มีผลึกทำให้มีการหักเหแสงได้ 2 ทิศทางหรือที่เรียกว่าคุณสมบัติไบร์ฟรินเจนซ์

(birefringence) เช่น เคลือบฟัน โดยกล้องจะมีแผ่นกรอง 2 ชั้นเพื่อกรองคลื่นแสงแล้วสร้างօกมาเป็นภาพที่มีความเปรียบต่าง (contrast) ที่ดีจนสามารถแสดงองค์ประกอบวัตถุได้ละเอียด กล้องจุลทรรศน์ชนิดแสงโพลาไรซ์สามารถใช้ตรวจสอบการสูญเสียแร่ธาตุในฟันได้เนื่องจากฟันปกติกับฟันที่สูญเสียแร่ธาตุจะมีการหักเหแสงที่มีเปลี่ยนแปลงจึงเกิดให้ภาพที่แตกต่างกัน(69) เมอร์นิจมีค่าใช้จ่ายที่ถูก แต่ข้อจำกัดที่สำคัญของกล้องจุลทรรศน์ชนิดแสงโพลาไรซ์ ได้แก่ การเตรียมชิ้นฟันที่มีหลายชั้nton ทั้งการตัดชิ้นฟันให้มีความหนา 50-100 ไมโครเมตร และการจุ่มชิ้นฟันในสารละลายที่มีค่าดัชนีหักเหต่าง ๆ จึงมีขั้นตอนและใช้เวลาทำมากกว่าเมื่อเทียบกับวิธีทราวนิร์สไมโครเรดิโอลูฟท์ อีกทั้งผลที่จะสามารถบอกได้เฉพาะความลึกของรอยผุ แต่ไม่สามารถวัดการเปลี่ยนแปลงปริมาณแร่ธาตุได้ วิธีนี้จึงมักใช้ในการศึกษาเชิงคุณภาพ(65, 67, 68)



รูปภาพ 9 แสดงภาพกล้องจุลทรรศน์ชนิดแสงโพลาไรซ์และหลักการทำงาน

การวัดด้วยไมโครคอมพิวเตต์โดยโมโนกราฟฟ์ (Micro-computed tomography)

เทคนิคคอมพิวเตต์โดยโมโนกราฟฟ์ถูกพัฒนาขึ้นในช่วงต้นของ ค.ศ. 1970 เป็นการรวมภาพรังสีของวัตถุหลายมุมเข้าด้วยกันแล้วใช้คอมพิวเตอร์ช่วยในการวิเคราะห์และสร้างօกมาเป็นแผนภาพสามมิติโดยภาพสามมิติที่สร้างจากไมโครคอมพิวเตต์โดยโมโนกราฟฟ์จะมีความละเอียดสูงเพรัววอกเซลหรือปริมาตรที่เล็กที่สุดที่รวมตัวกันเป็นภาพจะมีขนาดเพียง 5-50 ไมโครเมตรซึ่งเล็กกว่าคอมพิวเตต์โดยโมโนกราฟฟ์ทั่วไปถึง 1,000,000 เท่า ปัจจุบันนิยมน้ำหนักนิคไมโครคอมพิวเตต์โดยโมโนกราฟฟ์มาใช้ในการศึกษาทางทันตกรรมหลายด้าน เช่น วิเคราะห์โครงสร้าง ความหนาและแร่ธาตุของฟัน, วิเคราะห์ลักษณะกายวิภาคของคลองรากฟัน, ศึกษาโครงสร้างกลไกศีรษะและขากรรไกร และการทำรากฟันเทียม เป็นต้น สำหรับการวัดความหนาแน่นของแร่ธาตุด้วยเทคนิคไมโครคอมพิวเตต์โดยโมโนกราฟฟ์ มีข้อดีคือวิธีศึกษานี้ไม่ทำลายชิ้นฟัน ไม่จำเป็นต้องตัดชิ้นตัวอย่าง ดังนั้นหลังการวัดชิ้นฟันนี้ยังสามารถนำไปศึกษาต่อได้ รวมถึงสามารถทำการวัดซ้ำได้(70, 71) แต่เทคนิคไมโครคอมพิวเตต์โดยโมโนกราฟฟ์ก็

มีข้อจำกัด ได้แก่ ค่าใช้จ่ายในการทดสอบสูงเนื่องจากต้องมีอุปกรณ์และระบบซอฟต์แวร์สำหรับการวิเคราะห์โดยเฉพาะ และใช้เวลาในการถ่ายภาพรังสีและวิเคราะห์ออกแบบมาเป็นภาพสามมิตินาน(72)

การวัดค่าความแข็งผิวด้วยดับจุลภาค (Microhardness measurement)

การวัดความแข็งผิวด้วยดับจุลภาคเป็นการใช้หัวกดเพชรกดลงบนชิ้นฟันด้วยแรงและเวลา กดค้างที่กำหนด (dwell time) จะเกิดรอยกดบนผิวฟันโดยความยาวของรอยกดสามารถใช้บอกการเปลี่ยนแปลงปริมาณแร่ธาตุในทางอ้อมได้ หากรอยกดมีความยาวเพิ่มขึ้นหมายถึงชิ้นฟันมีการสูญเสียแร่ธาตุ แต่หากความยาวรอยกดลดลงหมายถึงชิ้นฟันมีการคืนกลับของแร่ธาตุ การวัดความแข็งผิวด้วยดับจุลภาคมี 2 ประเภท ได้แก่(65)

1. การวัดความแข็งผิวด้วยดับจุลภาคที่พื้นผิว (Surface Microhardness)

ใช้หัวกดเพชรกดตั้งฉากลงบนชิ้นฟันที่ขัดเรียบเพื่อให้ได้ความแข็งระดับจุลภาคที่พื้นผิว ข้อดีของการวัดด้วยวิธินี้คือสามารถทำซ้ำได้จึงเหมาะสมกับการศึกษาที่ต้องวัดความแข็งผิวด้วยดับจุลภาคที่พื้นผิwt่อเนื่อง และการวัดทำง่าย ใช้เวลาไม่น้อยเมื่อเทียบกับการวัดความแข็งผิวด้วยดับจุลภาคชนิดตัดขวาง แต่วิธินี้จะวัดได้เฉพาะความแข็งผิวด้วยดับจุลภาคที่พื้นผิวที่จำกัด ไม่สามารถติดตามความแข็งผิวในระดับลึกได้(65, 67)

2. การวัดความแข็งผิวด้วยดับจุลภาคชนิดตัดขวาง (Cross-sectional Microhardness)

ใช้หัวกดเพชรกดลงบนชิ้นฟันที่เตรียมด้วยการตัดชิ้นฟันในแนวขวางจึงทำให้สามารถวัดความแข็งผิวด้วยดับจุลภาคได้ทั้งที่ระดับพื้นผิวและลึกลงไป ผลที่ได้จากวิธินี้มีความสัมพันธ์กับการวัดด้วยวิธีมาตรฐานอย่าง ทรานเวิร์สไมโครเด็อกراف(65, 73) แต่ข้อจำกัดคือความแข็งผิวด้วยดับจุลภาคที่วัดจากวิธินี้จะไม่รวมพื้นผิว 25 ไมโครเมตรที่อยู่ด้านนอกสุดของชิ้นงาน และเป็นวิธีที่ทำลายชิ้นตัวอย่างมากจึงไม่ที่จะทำซ้ำ(67)

หัวกดเพชรที่ใช้ในการวัดความแข็งผิวด้วยดับจุลภาคที่นิยมมี 2 ชนิด(65) ได้แก่ หัวกดวิกเกอร์ส (Vickers) และหัวกดนูป (Knoop)

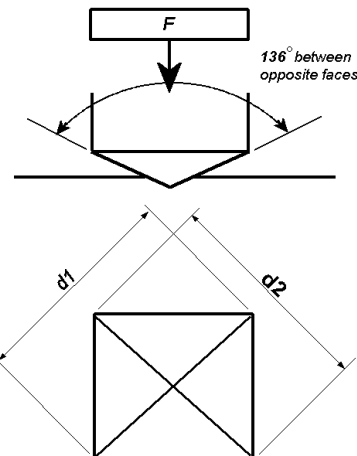
1. หัวกดวิกเกอร์ส

เป็นหัวกดเพชรรูปทรงพีระมิดฐานสี่เหลี่ยมจัตุรัส โดยยอดแหลมทำมุมกว้าง 136 องศา โดยความแข็งผิววิกเกอร์ส (Vickers Hardness, H_v) จะคำนวณจากแรงที่ใช้กดและความยาวเส้นทแยงมุมของรอยกดตามสูตร

$$H_v = \frac{1.854F}{d^2}$$

$$d = \sqrt{d_1^2 + d_2^2}/2$$

รอยกดที่ได้จะลึกประมาณ 1 ใน 7 ของความยาวเส้นทแยงมุม(66, 74)

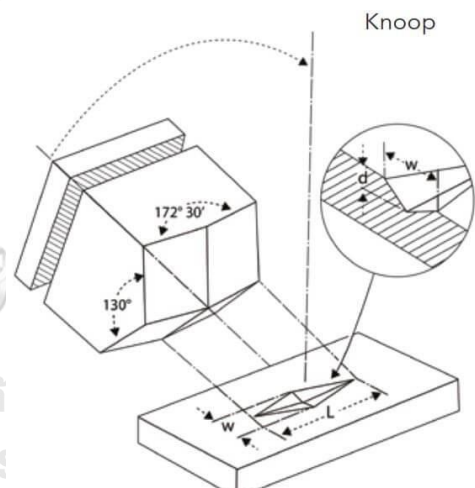


รูปภาพ 10 แสดงหัวกดวิกเกอร์ส (Vickers)

2. หัวกดนูป

เป็นหัวกดเพชรรูปทรงพีระมิดขนมเปียกปูนที่ทำมุม 130 องศาและ 172 องศา 30 ลิปดา รอยกดจะมีเส้นทแยงมุม 2 เส้นโดยเส้นยาว (L) จะยาวเป็น 7 เท่าของเส้นสั้น (W) ซึ่งรอยกดในแนวเส้นทแยงมุมสั้น (W) จะมีการคืนตัว ดังนั้นความแข็งผิวนูป (Knoop Hardness, H_k) จะคำนวณจากแรงที่ใช้กดและความยาวเส้นทแยงมุมเส้นยาว (L) ตามสูตร

$$H_k = \frac{14.23F}{L^2}$$



รูปภาพ 11 แสดงหัวกดนูป (Knoop)

รอยกดที่ได้จะลึกประมาณ 1 ใน 30 ของความยาวเส้นทแยงมุม หัวกดนูปสามารถใช้กับชิ้นงานที่มีความประาะและบางเนื่องจากหัวกดนูปมีรอยกดที่ตื้นกว่าหัวกดวิกเกอร์สจึงเสี่ยงต่อการที่ชิ้นงานจะแตกหักน้อยกว่า(66, 74)

จากการบททวนการศึกษาการคืนกลับของแร่ธาตุในรอยผุระยะเริ่มต้นของฟันข้างเคียงที่สัมผัสกับฟันที่ได้รับการบูรณะด้วยวัสดุที่มีการปลดปล่อยฟลูออไรต์พบว่าการศึกษาในช่วงส่วนมากใช้วิธีการวัดการสูญเสียและคืนกลับของแร่ธาตุด้วยกล้องจุลทรรศน์ชนิดแสงโพลาไรซ์ ผลการศึกษาที่ได้จึงเป็นในเชิงคุณภาพ(16-18, 20) ในการศึกษานี้เลือกใช้วัดความแข็งผิวระดับจุลภาคที่พื้นผิว

ด้วยหัวกดนูป เนื่องจากสามารถวัดผลการเปลี่ยนแปลงแร่ธาตุได้มากกว่าการใช้กล้องจุลทรรศน์นิดแสงโพลาไรซ์ สามารถทำการวัดต่อเนื่องเพื่อเปรียบเทียบการคืนกลับแร่ธาตุก่อนและหลังการเข้ากระบวนการเลียนแบบสภาวะการเปลี่ยนแปลงความเป็นกรดด่างและอุณหภูมิในช่องปากได้ รวมถึงขั้นตอนการทำไม่ยุ่งยาก และเลือกใช้หัวกดนูป เพราะหัวกดนูปจะมีรอยกดที่ตื้นกว่าหัวกดวิกเกอร์ หากรอยกดยาว 100 ไมโครเมตร หัวกดนูปจะกดลึก 3.5 ไมโครเมตร ส่วนหัวกดวิกเกอร์จะกดลึก 14 ไมโครเมตร(65) ดังนั้นหัวกดนูปจึงเหมาะสมกับชิ้นงานที่ประแตกจ่ายอย่างชิ้นฟันมากกว่าหัวกดวิกเกอร์



บทที่ 3 การดำเนินการวิจัย

ประชากรเป้าหมาย

พื้นที่มีรอยพระยะเริ่มต้น

ประชากรตัวอย่าง

พัฒนาน้อยแท็บน ชีที่ 1 หรือ 2 ของมนุษย์ที่ถูกถอนโดยปราศจากรอยผุ รอยร้าว วัสดุบูรณะ หรือความผิดปกติของผิวหนัง

กลุ่มตัวอย่าง

ชิ้นพื้นตัวอย่างที่เตรียมจากด้านประชิดของพัฒนาน้อยแท็บน ชีที่ 1 หรือ 2 ที่ผ่านเกณฑ์คัดเข้าใน การเลือกตัวอย่างเข้าศึกษา

หลักเกณฑ์ในการคัดเลือกประชากรตัวอย่างของการวิจัยที่ใช้ในการศึกษา (eligible criteria)

หลักเกณฑ์ในการคัดตัวอย่างเข้างานวิจัย

พัฒนาน้อยแท็บน ชีที่ 1 หรือ 2 ของมนุษย์ที่เคลือบพื้นด้านประชิดปราศจากรอยผุ รอยร้าว วัสดุ บูรณะ หรือความผิดปกติของผิวหนัง

การคำนวณขนาดของกลุ่มตัวอย่าง

คำนวณขนาดของกลุ่มตัวอย่างโดยใช้โปรแกรม G*Power 3.1.9.4 สูตรการวิเคราะห์ความ แปรปรวนทางเดียว (one-way ANOVA) โดยอ้างอิงค่าเฉลี่ยและค่าเบี่ยงเบนมาตรฐานของความแข็ง ระดับจุลภาคที่พื้นผิวหนังที่อยู่ติดกับวัสดุบูรณะชนิดต่าง ๆ จากการศึกษาของ Samuel และ Rubinstein (75) พบว่ามีค่าขนาดอิทธิพล (effect size) เท่ากับ 0.781 ระดับความเชื่อมั่นร้อยละ 95 ($1-\alpha$) ค่าความผิดพลาดประเภทที่ 2 (β) ที่ 0.2 แบ่งกลุ่มทดลองเป็น 3 กลุ่ม เมื่อคำนวณอภิมา จะได้จำนวนกลุ่มตัวอย่างกลุ่มละ 7

จากการศึกษาที่คล้ายคลึงกันในอดีตพบว่าจำนวนกลุ่มตัวอย่างที่ใช้จะมีขนาดประมาณ 10-16 ต่อกลุ่ม เมื่อพิจารณาจากความเป็นไปได้ในการเก็บชิ้นพื้นตัวอย่างและความน่าเชื่อถือของการ วิจัยจึงพิจารณาใช้ตัวอย่างจำนวนกลุ่มละ 10

วัสดุและอุปกรณ์ที่ใช้ในการวิจัย

อุปกรณ์

1. เครื่องตัดความเร็วต่ำ (Low speed cutting machine ISOMET1000™, Buehler, USA)
2. เครื่องขัดผิววัสดุ (Polishing Machine MINITECH 233, PRESI, France)
3. เครื่องวัดความแข็งผิว (Microhardness tester machine FM-810, FUTURE-TECH, Japan)
4. กล้องจุลทรรศน์ชนิดสเตอริโอ (Stereo Microscope OLYMPUS, SZ61, Japan)
5. เครื่องฉายแสง (Light curing unit Elipar Trilight ,3M, USA)
6. เครื่องวัดความเป็นกรดและด่าง (pH meter, Clean : PH200 & PH500)
7. เครื่องวัดขนาดแบบดิจิตอล (Digital Caliper, Micrometer, Mitutoyo, Japan)
8. แปรสีฟันและอุปกรณ์ขัดทำความสะอาดฟัน
9. ด้ามกรอความเร็วสูง (High Speed Handpiece)
10. ด้ามกรอความเร็วต่ำ และข้อต่อสำหรับหัวขัด (Low Speed Handpiece and Prophy head)
11. หัวกรอเพชรความเร็วสูง เบอร์ 204 (Length 4 mm, ISO Ø 1/10 mm : 014)
12. หัวขัดยาง (Rubber cup)
13. กระดาษทราย เบอร์ 600, 800, 1000 และ 1200
14. กระดาษกำมะหยี่
15. โพรงสำหรับวัดร่องลึกปริทันต์
16. เครื่องซั่งดิจิตอล(SBA 51, Scaltec, Germany)
17. ตู้ควบคุมอุณหภูมิ
18. กล่องพลาสติก

วัสดุ

1. ขวดสำหรับบรรจุฟัน
2. สารละลายน้ำยาที่มอลความเข้มข้น 0.1%
3. น้ำยาทาเต็บ (Revlon, New York)
4. ผงขัดพิวมิสแบบไม่ผสมฟลูออิร์ด
5. ผงขัดอะลูมินา
6. สารละลายน้ำยาสำหรับทำให้เกิดการสูญเสียแร่ธาตุ (Demineralized solution : 2.2 mM CaCl₂, 2.2 mM NaH₂PO₄, 0.05 M acetic acid, pH 4.6 ใช้ 1M KOH ปรับแต่งค่าความเป็นกรดด่าง ภาควิชาชีวเคมี คณะทันตแพทยศาสตร์ จุฬาลงกรณ์มหาวิทยาลัย)
7. เจลสำหรับทำให้เกิดการสูญเสียแร่ธาตุ (Demineralized gel : ไฮดรอกซีเอทธิล เซลลูโลส (hydroxyethylcellulose) ร้อยละ 1 ตามน้ำหนักและ 0.1 mol/l กรดแลคติก (lactic acid) และใช้ 1.0 mol/l โซเดียมไฮดรอกไซด์ (NaOH) ปรับแต่งค่าความเป็นกรดด่างให้ได้ pH 5.1 ภาควิชาชีวเคมี คณะทันตแพทยศาสตร์ จุฬาลงกรณ์มหาวิทยาลัย)
8. สารละลายน้ำยาสำหรับทำให้เกิดการคืนกลับแร่ธาตุ (Remineralized solution: 1.5 mM CaCl₂, 0.9 mM NaH₂PO₄, 0.15 M KCl, pH 7 ใช้ 1M KOH ปรับแต่งค่าความเป็นกรดด่าง ภาควิชาชีวเคมี คณะทันตแพทยศาสตร์ จุฬาลงกรณ์มหาวิทยาลัย)
9. น้ำลายเทียม (Methyl-p-hydroxybenzoate 2.0 g, sodium carboxymethyl cellulose 10.0 g, KCl 0.625 g, MgCl₂·6H₂O 0.059 g, CaCl₂·2H₂O 0.166 g, K₂HPO₄ 0.804 g, KH₂PO₄ 0.326 g ในน้ำ 1000 มิลลิลิตร, pH 7 ภาควิชาชีวเคมี คณะทันตแพทยศาสตร์ จุฬาลงกรณ์มหาวิทยาลัย)
10. น้ำประจุจากไอออน (ฝ่ายวิจัย คณะทันตแพทยศาสตร์ จุฬาลงกรณ์มหาวิทยาลัย)
11. วัสดุบูรณะแก้วไออกโนเมอร์ (EQUIA Forte®)
12. วัสดุบูรณะอัลคาไซต์ (Cention N®)
13. วัสดุบูรณะคอมโพสิตเรซินชนิดไม่ปลดปล่อยฟลูออิร์ด (Filtek™ Z350)

14. อะคริลิกเรซินแบบบ่มตัวเองและแบบหล่อ(mold)

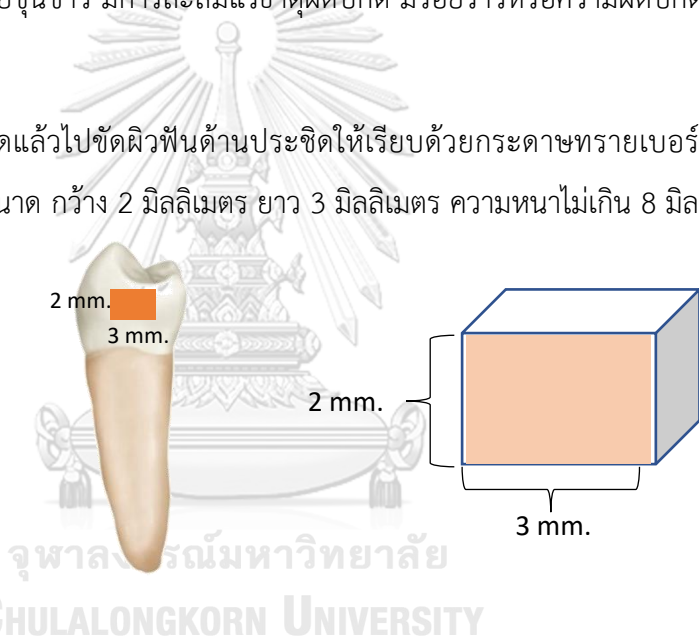
15. ชิลิโคนสำหรับทำแม่พิมพ์เพื่อหล่ออะคริลิก

ขั้นตอนดำเนินงานวิจัย

เตรียมชิ้นพื้น

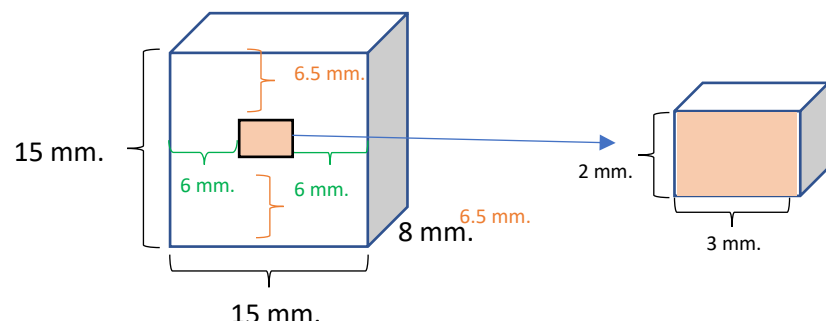
นำพื้นกรรมน้อยเทบบน ชีท 1 หรือ 2 ที่แข็งในสารละลายไทmol ความเข้มข้น 0.1% มาทำความสะอาดแล้วมาส่องเคลือบฟันด้านประชิดด้วยกล้องจุลทรรศน์ชนิดสเตอริโอ กำลังขยาย 2 เท่า เพื่อคัดพื้นที่มีรอยผุ มีรอยชุ่นขาว มีการสะสมแร่ธาตุผิดปกติ มีรอยร้าวหรือความผิดปกติของเคลือบฟัน

จากนั้นนำพื้นคัดแล้วไปขัดผิวพื้นด้านประชิดให้เรียบด้วยกระดาษทรายเบอร์ 1000 และนำไปตัดเป็นชิ้นพื้นใหม่มีขนาด กว้าง 2 มิลลิเมตร ยาว 3 มิลลิเมตร ความหนาไม่เกิน 8 มิลลิเมตร



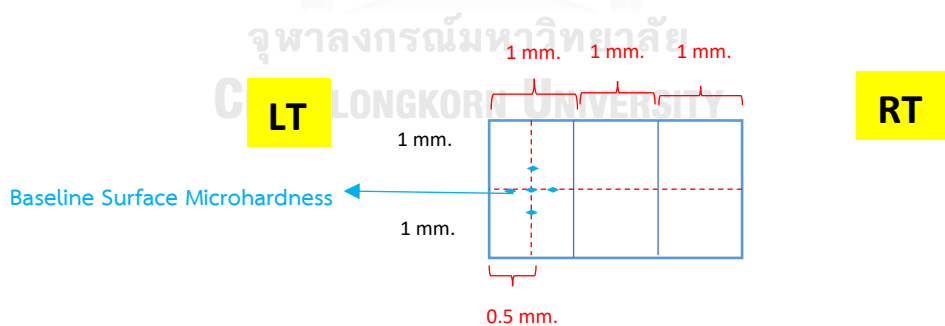
เตรียมชิ้นพื้นและฐานอะคริลิก

เตรียมฐานอะคริลิกด้วยอะคริลิกแบบบ่มตัวเอง ขนาดกว้าง 15 มิลลิเมตร ยาว 15 มิลลิเมตร หนา 8 มิลลิเมตร จำนวน 30 ชิ้นโดยผึ้งชิ้นลงในอะคริลิกในตำแหน่งกึ่งกลาง โดยเว้นจากขอบด้านบนและล่าง 6.5 มิลลิเมตร และเว้นจากขอบด้านข้างผึ้งละ 6 มิลลิเมตร



นำชิ้นพื้นและฐานอะคริลิกมาขัดด้วยกระดาษทรายเบอร์ 600 800 1000 และ 1200 ตามลำดับแล้วจึงขัดด้วยกระดาษกำมะหยี่และผงอะลูมินา แล้วนำไปใส่เครื่องล้างความถี่สูง นำออกมล้างน้ำและซับแห้ง

นำชิ้นพื้นในอะคริลิกไปวัดความแข็งผิวด้วยตัววัด硬度 Knoop hardness number (KHN) ที่พื้นผิวตัวอย่างหัวกด 5 กรัม กดค้างไว้ 10 วินาที แบ่งชิ้นพื้นเป็น 3 ส่วนแต่ละส่วนกว้าง 1 มิลลิเมตรตามภาพ โดยกดทั้งหมด 5 รอยกดที่กึ่งกลางซ่องด้านซ้ายโดยให้รอยกดตรงกลางอยู่ที่กึ่งกลางของชิ้นพื้น เว้นขอบบ 1 มิลลิเมตรหรือ 1000 ไมโครเมตรและเว้นจากขอบด้านซ้ายเข้ามา 0.5 มิลลิเมตรและส่วนรอยกดอีก 4 จุดแต่ละจุดห่างกันอย่างน้อย 100 ไมโครเมตร ชิ้นพื้นที่จะเข้าเกณฑ์เพื่อนำไปศึกษาต่อจะต้องมีความแข็งผิวทุกรอยกดมากกว่า 270 Knoop hardness number (KHN) (76, 77) โดยจะต้องมีชิ้นพื้นที่ผ่านเข้าไปศึกษาทั้งหมด 30 ชิ้น ก่อนวัดความแข็งผิวด้วยตัววัด硬度 Knoop hardness number (KHN) ที่พื้นผิวจากการรอยกดในแนวเดียวกันและทำการวัดความแข็งผิวด้วยตัววัด硬度 Knoop hardness number (KHN) ที่พื้นผิวซ้ำจากการรอยกดเดิมและกำหนดให้ผู้วิจัยทำการวัดได้ไม่เกิน 6 ชั่วโมงต่อวัน โดยแบ่งเป็นช่วงเป็น 3 ช่วง ช่วงละ 2 ชั่วโมง มีระยะเวลา 30 นาที เพื่อป้องกันความผิดพลาดจากความอ่อนล้าของผู้วัด รวมถึงทำการทดสอบความน่าเชื่อถือภายในผู้ประเมิน (intra-examination reliability) ด้วยการสุ่มข้อมูลอย่างน้อยร้อยละ 15 มาอ่านค่าความแข็งระดับจุลภาคชนิดตัดขาวง โดยทำการวัดสองครั้ง ห่างกัน 7 วัน เพื่อป้องกันอคติ แล้วนำค่าที่ได้มาทดสอบด้วยสถิติสัมประสิทธิ์สหสัมพันธ์ภายในชั้น (intraclass correlation coefficient: ICC)

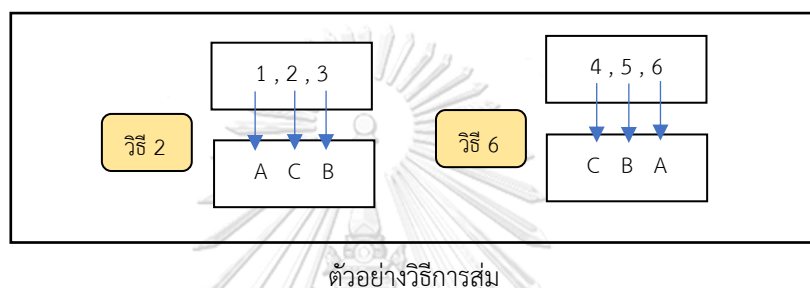


จากนั้นนำชิ้นอะคริลิกพร้อมพื้นที่ผ่านเกณฑ์มาเรียงลำดับความแข็งผิวด้วยตัววัด硬度 Knoop hardness number (KHN) ที่พื้นผิวจำนวนมากไปน้อยและแบ่งเป็นกลุ่มย่อยกลุ่มละ 3 ชิ้นตามลำดับแล้วกำหนดหมายเลขที่ฐานอะคริลิก ตั้งแต่เลข 1-30 เพื่อทำการจัดเข้ากลุ่มทดลองด้วยวิธีสุ่มตัวอย่างแบบกลุ่มย่อยที่มีการเรียงลำดับ (permuted block randomization) โดยกำหนดให้เป็นวัสดุ A แทนแก้วไอโวโนเมอร์ วัสดุ B แทน

วัสดุอัลคาไชต์ และวัสดุ C แทนวัสดุคอมโพสิตเรซินชนิดไม่ปลดปล่อยฟลูออไรด์ ดังนั้นจะมีวิธีการจัดชั้นอะคริลิกพร้อมพันเข้ากลุ่มได้ 6 วิธี ดังนี้

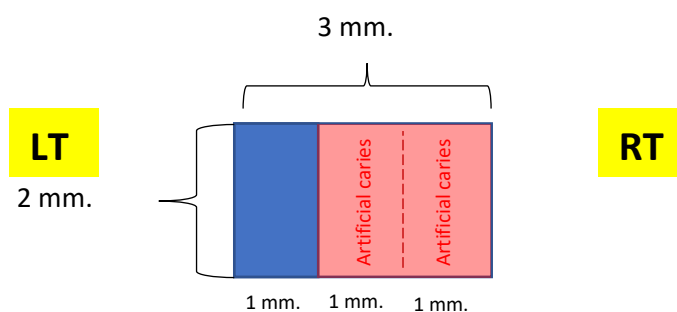
- | | | |
|--------|-------|-------|
| 1. ABC | 2.ACB | 3.BAC |
| 4.BCA | 5.CAB | 6.CBA |

แล้วจึงใช้โปรแกรมสุ่ม (sequence generator) เพื่อสุ่มหารวิธีการจัดเข้ากลุ่มของพันแต่ละชุดจนครบทุกชั้น และทำการบันทึกหมายเลขอั้นอะคริลิกและกลุ่มวัสดุที่ใช้



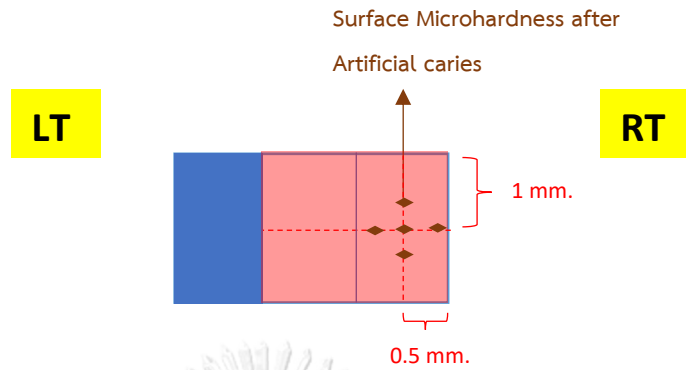
หัวอย่างวิธีการสุ่ม

เมื่อจัดกลุ่มแล้วนำชิ้นพันที่ฝังในอะคริลิกไปสร้างรอยผุจำลอง (100 ไมโครเมตร)(78) โดยนำชิ้นพันที่แบ่งเป็น 3 ส่วนแต่ละส่วนกว้าง 1 มิลลิเมตรตามภาพ โดยทาเคลือบด้วยน้ำยาทาเล็บที่ช่องช้ายแล้วเว้นช่องกลางและช่องขวาไว้เพื่อทำรอยผุจำลอง รอให้แห้งอย่างน้อย 8 ชั่วโมงแล้วจึงนำชิ้นพันไปแข็งในเจลสำหรับกระบวนการเตียร์ราตุปริมาณ 20 มิลลิลิตรที่อุณหภูมิ 37 องศาเซลเซียสเป็นเวลา 2 วันโดยไม่เขย่า เจลนี้ตัดแปลงจากสูตร Alsaffar และคณะ(79) โดยประกอบด้วยไฮดรอกซิล ออฟเซลลูโลส (hydroxyethylcellulose) ร้อยละ 1 ตามน้ำหนักและ 0.1 mol/l กรดแลคติก (lactic acid) และใช้ 1.0 mol/l โซเดียมไฮดรอกไซด์ (NaOH) ปรับแต่งค่าความเป็นกรดด่างให้ได้พีเอช 5.1



เมื่อครบ 2 วันนำชิ้นพันมาล้างด้วยน้ำปราศจากไอออนเป็นเวลา 20 วินาทีเช็ดให้แห้งแล้วนำไปแข่น้ำลายเทียมเป็นเวลา 24 ชั่วโมงแล้วจึงนำชิ้นพันไปวัดความแข็งพิวาระดับจุลภาคที่พื้นผิวด้วยหัวกดนูป 5 รอยกดที่ตำแหน่งซ่องขวาที่ผ่านการทำให้ผุ กำหนดให้รอยกดตรงกลางอยู่ที่กึ่งกลางของ

ชิ้นฟันนั่นคือเว้นจากขอบด้านขวาเข้ามา 0.5 มิลลิเมตร เว้นจากขอบบน 1 มิลลิเมตรและรอยกดแต่ละจุดห่างกันอย่างน้อย 100 ไมโครเมตร และบันทึกแล้วนำเก็บโดยแซ็ปไว้น้ำลายเทียม

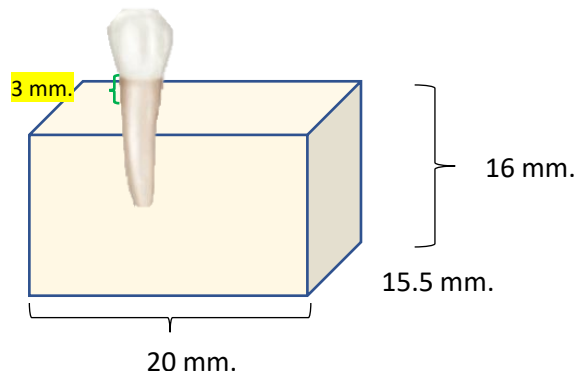


เตรียมฟันสำหรับสุดบูรณะ

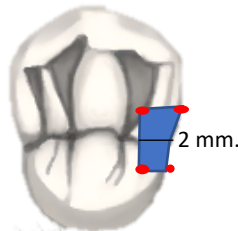
นำฟันกรามน้อยแท็บน ซีที่ 2 ที่แข็งในสารละลายไทมอล ความเข้มข้น 0.1% มาทำความสะอาดและขัดด้านบดเคลียร์ให้แบบราบแล้วกรอเพื่อเตรียมแคร์ตี้ด้านประชิดไกลกลางขนาดกว้าง 4 มิลลิเมตร สูง 4 มิลลิเมตร ลึก 2 มิลลิเมตรโดยใช้พรบัดความลึกปริทันต์วัดขนาดแคร์ตี้ 4 ตำแหน่ง ตามภาพ



จากนั้นนำฟันกรามน้อยแท็บนซีที่ 2 มาลงฐานด้วยการเทปุนลงในแม่พิมพ์ขนาดกว้าง 15.5 มิลลิเมตร ยาว 20 มิลลิเมตร สูง 16 มิลลิเมตร กำหนดตำแหน่งยึดฟันโดยวัดลงมาจากรอยต่อระหว่างเคลือบฟันกับเคลือบราชฟัน (cemento-enamel junction : CEJ) ประมาณ 3 มิลลิเมตร และนำฟันที่กรอแล้วพร้อมฐานปูนไปทำแม่พิมพ์จากซิลิโคนใช้สำหรับเทอบรูริกเพื่อเป็นบล็อกฟันสำหรับการบูรณะ



เทบลีอกอะคริลิกจำนวน 30 ชิ้นโดยทำการระบุชนิดของวัสดุบูรณะ โดย A แทนวัสดุแก้วไอโอนิเมอร์ B แทนวัสดุอัลคาไซต์ และ C แทนวัสดุคอมโพสิตเรซินชนิดไม่ปลดปล่อยฟลูออไรด์ที่ฐานบลีอกอะคริลิก ทำการวัดความกว้าง ยาวและลึกของแควตี้ด้วยprobeวัดความลึกบริหันต์วัดขนาดแควตี้ 4 ตำแหน่งตามภาพและเครื่องวัดขนาดแบบดิจิตอล จดบันทึก



จากนั้นทำการบูรณะแต่ละกลุ่มตามชนิดวัสดุโดยก่อนเริ่มบูรณะทำการซึ่งน้ำหนักบลีอกอะคริลิกแต่ละชิ้นแล้วบันทึกค่าแล้วจึงใส่แมทริกซ์โลหะโดยใช้ท่อฟีลมายเรทเทนเนอร์ (Tofflemire retainer)

- กลุ่ม A : แก้วไอโอนิเมอร์
 1. ทา GC คอนดิชั่นเนอร์นาน 10 วินาที
 2. ล้างและเป่าลม (เป่าพอหมด ไม่ให้แห้งสนิท)

เนื่องจากบลีอกฟันที่ใช้ทดลองเป็นเรซินอะคริลิกจึงไม่ทำขั้นตอนที่ 1-2
 3. นำแคปซูลมาเขย่าและกดปุ่มแล้วจึงนำไปใส่ปืนฉีด โดยกดปืน 1 ครั้งเพื่อแอคติเวท
 4. นำแคปซูลออกจากปืนฉีดแล้วนำไปปั่นเป็นเวลา 10 วินาทีแล้วจึงใส่ปืนฉีดเพื่อทำการบูรณะ

รอวัสดุแข็งเป็นเวลา 2 นาที 30 วินาที
 5. ซึ่งน้ำหนักบลีอกอะคริลิกหลังบูรณะแล้วคำนวณปริมาณวัสดุบูรณะสุทธิเพื่อตรวจสอบว่าใส่วัสดุบูรณะได้เต็มแควตี้ ไม่มีช่องว่างภายใน
- กลุ่ม B : อัลคาไซต์
 1. เตรียมส่วนผสมและน้ำในอัตราส่วน 1:1 ในกระดาษผสม ส่วนน้ำให้เขย่าขวดก่อนแล้วจึงวางขวดตั้งฉากเพื่อหยด
 2. ใช้พายผสมแบบพลาสติกเริ่มผสม โดยให้แบ่งส่วนผสมเข้าพสมทีลักษณะ ใช้เวลาผสม 45-60 วินาที แล้วจึงนำวัสดุมาทำการบูรณะ

3. ชั้นน้ำหนักบล็อกอะคริลิกหลังบูรณะแล้วคำนวณปริมาณวัสดุบูรณะสุทธิเพื่อตรวจสอบว่า ใส่ไว้บูรณะได้เต็มแค่ไหน ไม่มีซ่องว่างภายใน

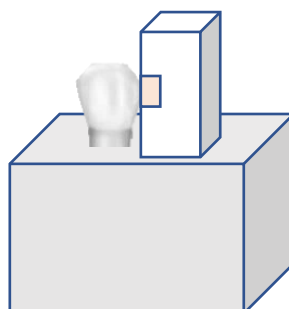
- กลุ่ม C : คอมโพสิตเรซินชนิดไม่ปลดปล่อยฟลูออไรด์
 1. ปรับสภาพผิวด้วยกรดฟอฟอริกความเข้มข้นร้อยละ 37 เป็นเวลา 15 วินาที
 2. ล้างน้ำเป็นเวลา 10 วินาที เป่าลมให้หมด ไม่แห้งสนิท
 3. ทาสารยึดติด (Adper™ 3M ESPE) ให้ทั่วนาน 15 วินาทีแล้วจึงเป่าลมเป็นเวลา 5 วินาที ให้แห้งสนิทแล้วจึงทำการฉายแสงเป็นเวลา 10 วินาที

เนื่องจากบล็อกพื้นที่ใช้ทดลองเป็นเรซินอะคริลิกจึงสามารถยึดอยู่กับวัสดุคอมโพสิตเรซินได้ อยู่แล้วจึงไม่ทำขั้นตอนที่ 1-3

 4. นำวัสดุคอมโพสิตมาบูรณะโดยอุดแบบเป็นชั้นแต่ละชั้นไม่เกิน 2 มิลลิเมตร ทำการฉายแสงเป็นเวลา 40 วินาทีในแต่ละชั้น
 5. ถอดแม่ทริกซ์โลหะออกแล้วฉายอีก 40 วินาที
 6. ชั้นน้ำหนักบล็อกอะคริลิกหลังบูรณะแล้วคำนวณปริมาณวัสดุบูรณะสุทธิเพื่อตรวจสอบว่า ใส่ไว้บูรณะได้เต็มแค่ไหน ไม่มีซ่องว่างภายใน

กระบวนการจำลองสภาวะในช่องปาก

นำชิ้นพื้นในฐานอะคริลิกมาติดกับบล็อกพื้นอะคริลิกตามกลุ่มที่สุ่มไว้ด้วยการแท่งชิลิโคนให้บริเวณรอยผุจำลองที่เตรียมไว้แนบกับวัสดุบูรณะ จะได้ 3 กลุ่ม กลุ่มละ 10 บล็อก



จากนั้นนำมาเข้ากระบวนการเดียนแบบสภาวะการเปลี่ยนแปลงความเป็นกรดค่าในช่องปาก (pH cycling) เป็นเวลา 7 วัน ในแต่ละรอบจะแบ่งเป็นช่วงละลายแร่ธาตุและส่งเสริมการคืนกลับสลับกันโดยเริ่มจากช่วงสูญเสียแร่ธาตุ 8 ชั่วโมง และจึงเป็นช่วงส่งเสริมการคืนกลับแร่ธาตุ 16

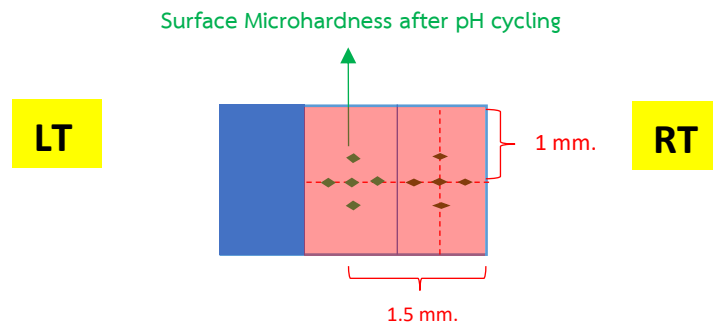
ชั่วโมง(23) สารละลายสำหรับทำให้เกิดการสูญเสียแร่ธาตุ ประกอบด้วย 2.2 mM CaCl₂, 2.2 mM NaH₂PO₄, 0.05 M acetic acid, pH 4.6 ใช้ 1M KOH ปรับแต่งค่าความเป็นกรดด่าง และสารละลายสำหรับทำให้เกิดการคืนกลับแร่ธาตุ ประกอบด้วย 1.5 mM CaCl₂, 0.9 mM NaH₂PO₄, 0.15 M KCl, pH 7 ใช้ 1M KOH ปรับแต่งค่าความเป็นกรดด่าง ปริมาณ 2 มิลลิลิตรที่อุณหภูมิห้อง ในกระบวนการนี้ภาชนะสำหรับการแข็งสารละลายแร่ธาตุและส่งเสริมการคืนกลับจะใช้ภาชนะที่มีการแยกช่องสำหรับขึ้นงานแต่ละชิ้น ไม่ให้สารละลายแต่ละช่องปะปนกันได้

การวัดความแข็งผิว

เมื่อเสร็จสิ้นกระบวนการจำลองสภาพในช่องปากทำการล้างขึ้นฟันด้วยน้ำปราศจากไอออนซ์บแห้งแล้วเก็บในน้ำยาเทียมเป็นเวลา 24 ชั่วโมงแล้วจึงนำขึ้นฟันมาวัดความแข็งผิวโดยให้รอยกดตรงกลางอยู่ที่กึ่งกลางของขึ้นฟันโดยเว้นขอบด้านขวา 1.5 มิลลิเมตรหรือ 1500 ไมโครเมตรและเว้นจากขอบด้านบน 1 มิลลิเมตรและส่วนรอยกดอีก 4 จุดแต่ละจุดห่างกันอย่างน้อย 100 ไมโครเมตรบันทึกเป็นค่าความแข็งผิว และคำนวณค่าร้อยละการคืนกลับความแข็งผิวระดับจุลภาค (The percentage surface hardness recovery)(80)

The percentage surface hardness recovery

$$= \frac{(\text{Hardness after pH cycling} - \text{Hardness after artificial caries})}{\text{Baseline hardness} - \text{Hardness after artificial caries}} \times 100$$



การวิเคราะห์ข้อมูล

ใช้โปรแกรมเอสพีไอเอสเอส เวอร์ชัน 22.0 (SPSS version 22.0, SPSS Inc., USA) ในการประมวลผล

1. ใช้สถิติเชิงพรรณนา ได้แก่ ค่าเฉลี่ย (mean) และส่วนเบี่ยงเบนมาตรฐาน (standard deviation) ของความแข็งผิวรอบดับจุลภาคตั้งตัน ความแข็งผิวรอบดับจุลภาคเมื่อทำรอยผุจำลอง ความแข็งผิวรอบดับจุลภาคหลังผ่านการทำลายสภาวะซ่องปากและค่าร้อยละการคืนกลับความแข็งผิวรอบดับจุลภาค , ค่ามัธยฐาน (median) ของความแข็งผิวรอบดับจุลภาคหลังผ่านการทำลายสภาวะซ่องปากและค่าร้อยละการคืนกลับความแข็งผิวรอบดับจุลภาค
2. ทดสอบการกระจายของข้อมูลในแต่ละกลุ่มด้วยสถิติ Shapiro-Wilk test โดยกำหนดระดับนัยสำคัญที่ 0.05 โดยพบว่าความแข็งผิวรอบดับจุลภาคตั้งตันและความแข็งผิวรอบดับจุลภาคเมื่อทำรอยผุจำลองมีการกระจายของข้อมูลแบบปกติและมีความแปรปรวนแต่ละกลุ่มเท่ากัน (equal variance) จึงใช้การวิเคราะห์ความแปรปรวนทางเดียว (one-way ANOVA) เพื่อหาความแตกต่างระหว่าง 3 กลุ่มการทำลาย และหากพบความแตกต่างกันจึง ใช้ Tukey's Test เพื่อหาความแตกต่างทางสถิติในแต่ละคู่ โดยกำหนดระดับนัยสำคัญที่ 0.05
3. เนื่องจากความแข็งผิวรอบดับจุลภาคหลังผ่านการทำลายสภาวะซ่องปากและค่าร้อยละการคืนกลับความแข็งผิวรอบดับจุลภาคในแต่ละกลุ่มมีการกระจายของข้อมูลแบบไม่ปกติ จึงแสดงค่าเฉลี่ยของอันดับ(Mean rank) และวิเคราะห์เปรียบเทียบระหว่าง 3 กลุ่มด้วยสถิติแบบอนพาราเมตริกชนิด Kruskal-Wallis Test โดยกำหนดระดับนัยสำคัญที่ 0.05 และทดสอบความแตกต่างในแต่ละคู่ด้วยสถิติ Mann-Whitney Test โดยมีระดับนัยสำคัญที่ 0.017 (ได้มาจากการระดับนัยสำคัญ 0.05 หารด้วยจำนวนครั้งของการทดสอบคือ $0.05/3$) ซึ่งเป็นระดับนัยสำคัญที่ผ่านการทำทดสอบ Bonferroni multiple testing correction เพื่อควบคุมความคลาดเคลื่อนประเภทที่ 1 (81, 82)
4. ใช้สถิติสัมประสิทธิ์สหสัมพันธ์ภายในชั้น (intraclass correlation coefficient: ICC) ในการทดสอบความน่าเชื่อถือของผู้ประเมิน (intra-rater reliability)

บทที่ 4 ผลการดำเนินการวิจัย

ชิ้นพันตัวอย่างจำนวน 30 ชิ้น แบ่งออกเป็น 3 กลุ่ม จำนวนกลุ่มละ 10 ชิ้น ได้แก่ วัสดุคอมโพสิตเรซิโนนิดไม่ปลดปล่อยฟลูอิร็ต : Filtek™ Z350 , วัสดุแก้วไอโอดีโนเมอร์ : EQUIA Forte® และวัสดุอัลคาไซต์ : Cention N® ในการศึกษานี้ทำการวัดผลด้วยการวัดความแข็งผิวด้ับจุลภาคที่พื้นผิวซึ่งวัดผลโดยผู้ประเมินคนเดียวที่ได้ทำการทดสอบความน่าเชื่อถือของผู้ประเมินแล้วพบว่าค่าสถิติสัมประสิทธิ์สหสัมพันธ์ภายนอกชั้น มีค่า 0.86 ซึ่งถือว่ามีความสอดคล้องในการวัดผลในระดับดี (83)

ค่าเฉลี่ยและส่วนเบี่ยงเบนมาตรฐานของความแข็งผิวด้ับจุลภาคตั้งตันและเมื่อทำรอยผุจำลองของแต่ละกลุ่มแสดงในตารางที่ 5 โดยความแข็งผิวด้ับจุลภาคตั้งตันของแต่ละกลุ่มเป็นไปตามที่กำหนดให้ชิ้นพันทุกชิ้นที่เข้าเกณฑ์ที่นำมาศึกษาจะต้องมีความแข็งผิวทุกรอยกดมากกว่า 270 KHN และเมื่อเปรียบเทียบค่าเฉลี่ยความแข็งผิวด้ับจุลภาคตั้งตันระหว่าง 3 กลุ่ม พบร่วมกันว่าไม่มีความแตกต่างทางสถิติ ($p = 0.97$) สำหรับค่าเฉลี่ยความแข็งผิวด้ับจุลภาคเมื่อทำรอยผุจำลองพบว่าเมื่อเปรียบเทียบระหว่าง 3 กลุ่มพบว่าไม่มีความแตกต่างทางสถิติด้วยเช่นกัน ($p = 0.662$)

หลังเสร็จสิ้นกระบวนการจำลองสภาพะในช่องปากพบว่าค่าเฉลี่ยขันตับความแข็งผิวด้ับจุลภาคของกลุ่มวัสดุอัลคาไซต์เป็น 25.5 ส่วนกลุ่มแก้วไอโอดีโนเมอร์และกลุ่มคอมโพสิตเรซิโนนิดเป็น 15.4 และ 5.6 ตามลำดับ เมื่อทำการเปรียบเทียบระหว่าง 3 กลุ่มพบว่าทุกกลุ่มมีความแตกต่างกันอย่างมีนัยสำคัญ ($p < 0.017$) เมื่อนำผลที่ได้มาคำนวณร้อยละการคืนกลับความแข็งผิวด้ับจุลภาคพบว่ากลุ่มวัสดุอัลคาไซต์มีค่าเฉลี่ยอันดับของกลุ่มวัสดุอัลคาไซต์เป็น 25.5 ส่วนกลุ่มแก้วไอโอดีโนเมอร์และกลุ่มคอมโพสิตเรซิโนนิดเป็น 15.5 และ 5.5 ตามลำดับ ซึ่งเมื่อทำการเปรียบเทียบค่าร้อยละการคืนกลับความแข็งผิวด้ับจุลภาคระหว่าง 3 กลุ่มพบว่าทุกกลุ่มมีความแตกต่างกันอย่างมีนัยสำคัญ ($p < 0.017$) สำหรับค่ามัธยฐานของความแข็งผิวด้ับจุลภาคหลังผ่านการจำลองสภาพะช่องปากและค่าร้อยละการคืนกลับความแข็งผิวด้ับแสดงในตารางที่ 6

ตาราง 5 ค่าเฉลี่ย (Mean) และส่วนเบี่ยงเบนมาตรฐาน (SD) ของความแข็งผิวระดับจุลภาคตั้งตัน เมื่อทำรอยผุ จำลอง หลังผ่านการจำลองสภาพะช่องปากและร้อยละการคืนกลับความแข็งผิวระดับจุลภาค

กลุ่มทดลอง	จำนวน	ค่าเฉลี่ยความแข็งผิว ระดับจุลภาคตั้งตัน \pm ส่วนเบี่ยงเบน มาตรฐาน (KHN)	ค่าเฉลี่ยความแข็งผิวระดับ จุลภาคเมื่อทำรอยผุ จำลอง \pm ส่วนเบี่ยงเบน มาตรฐาน (KHN)	ค่าเฉลี่ยความแข็งผิวระดับ จุลภาคหลังผ่านการ จำลองสภาพะช่องปาก \pm ส่วนเบี่ยงเบนมาตรฐาน (KHN)	ค่าเฉลี่ยร้อยละการคืน กลับความแข็งผิวระดับ จุลภาค \pm ส่วนเบี่ยงเบนมาตรฐาน (ร้อยละ)
กลุ่มคอมโพสิตเรซิน (Filtek™Z350)	10	323.076 \pm 25.540 * ^a	16.030 \pm 4.986 * ^a	11.991 \pm 5.949	(-1.34) \pm 1.405
วัสดุแก้วไอโอนิเมอร์ (EQUIA Forte®)	10	321.239 \pm 15.065 * ^a	16.153 \pm 3.819 * ^a	28.886 \pm 4.008	4.175 \pm 0.773
วัสดุอลคาไชร์ (Cention N®)	10	321.239 \pm 15.065 * ^a	17.619 \pm 4.066 * ^a	56.931 \pm 25.975	12.975 \pm 8.381

หมายเหตุ

* ทำการทดสอบด้วยสถิติ one-way ANOVA

ตัวอักษรที่แตกต่างกัน แสดงความแตกต่างกันทางสถิติอย่างมีนัยสำคัญ ($P \leq 0.05$) เมื่อเทียบระหว่างกลุ่ม

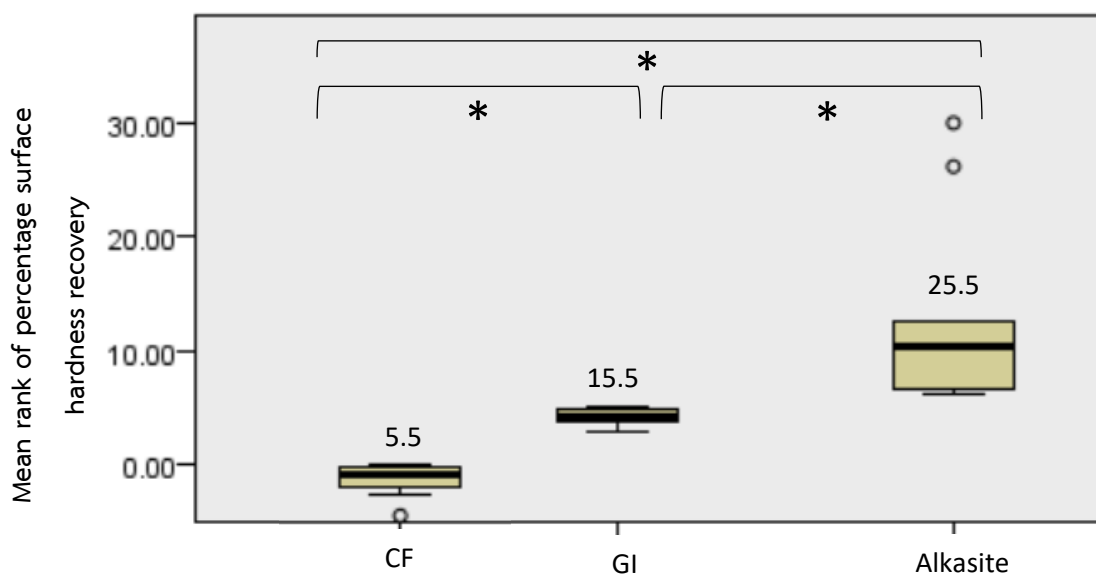
ตาราง 6 ค่าเฉลี่ยอันดับ (mean rank) และค่ามัธยฐาน (median) ของความแข็งผิวระดับจุลภาคหลังผ่านการจำลอง สภาวะช่องปากและร้อยละการคืนกลับความแข็งผิวระดับจุลภาค

กลุ่มทดลอง	จำนวน	ค่าเฉลี่ยอันดับของความแข็ง ผิวระดับจุลภาคหลังผ่านการ จำลองสภาพะช่องปาก (KHN)	ค่าเฉลี่ยอันดับของร้อยละ การคืนกลับความแข็งผิว ระดับจุลภาค (ร้อยละ)	ค่ามัธยฐานของความแข็ง ผิวระดับจุลภาคหลังผ่าน การจำลองสภาพะช่องปาก (KHN)	ค่ามัธยฐานของร้อยละการ คืนกลับความแข็งผิวระดับ จุลภาค (ร้อยละ)
กลุ่มคอมโพสิตเรซิน (Filtek™Z350)	10	5.6 ^a	5.5 ^a	10.701	(-0.868)
วัสดุแก้วไอโอนิเมอร์ (EQUIA Forte®)	10	15.4 ^b	15.5 ^b	29.766	4.175
วัสดุอลคาไชร์ (Cention N®)	10	25.5 ^c	25.5 ^c	46.337	10.354

หมายเหตุ

ตัวอักษรที่แตกต่างกัน แสดงความแตกต่างกันทางสถิติอย่างมีนัยสำคัญ ($P \leq 0.017$) เมื่อเทียบระหว่างกลุ่ม

ทดสอบด้วยสถิติ Mann-Whitney Test



รูปภาพ 12 กราฟค่าเฉลี่ยของอันดับร้อยละการคืนกลับความแข็งผิวด้วยตัวบุลภาคน้อยอย่างเมื่อสัมผัสกับวัสดุ
CF แทนกลุ่มคอมโพสิตเรซิน , GI แทนกลุ่มแก้วไอโอลไมอร์ , Alkasite แทนกลุ่มอัลคาไซต์

* แสดงความแตกต่างกันทางสถิติอย่างมีนัยสำคัญ ($P \leq 0.017$) เมื่อเทียบระหว่างกลุ่มทดลองด้วยสถิติ Mann-Whitney Test

จุฬาลงกรณ์มหาวิทยาลัย
CHULALONGKORN UNIVERSITY

บทที่ 5 สรุปผลการวิจัย อภิปรายผลและข้อเสนอแนะ

การศึกษานี้เป็นการศึกษาแรกในการแสดงถึงการคืนกลับของแร่ธาตุในรอยผุรยะเริ่มต้นของพื้นที่สัมผัสถูกทิ่มที่ได้รับการบูรณะด้านประชิดด้วยวัสดุอัลคาไซต์ โดยเปรียบเทียบกับวัสดุบูรณะแก้ว ไอโโโนเมอร์ที่สามารถปลดปล่อยฟลูออไรด์ไปยังพื้นที่สัมผัสถูกทิ่ม(12, 18, 20, 21, 23) และให้คอมโพสิตเรซิโนนเป็นกลุ่มควบคุม โดยใช้การจำลองรอยผุเริ่มต้นในชั้นเคลือบฟัน และใช้กระบวนการเลียนแบบสภาพการเปลี่ยนแปลงความเป็นกรดด่างในช่องปาก (pH cycling) ตามการศึกษาของ Guglielmi และคณะ(23) ซึ่งประกอบด้วยกระบวนการสูญเสียแร่ธาตุ 8 ชั่วโมงและช่วงส่งเสริมการคืนกลับแร่ธาตุ 16 ชั่วโมงซึ่งมีความคล้ายคลึงกับสภาพในช่องปากของผู้ป่วย ผลการศึกษาในครั้งนี้พบว่ารอยผุรยะเริ่มต้นของพื้นที่สัมผัสถูกทิ่มที่บูรณะด้วยวัสดุอัลคาไซต์มีการคืนกลับแร่ธาตุมากกว่าวัสดุแก้วไอโโโนเมอร์และวัสดุคอมโพสิตเรซิโนนที่ระดับนัยสำคัญ 0.017 ซึ่งมีความสอดคล้องกับการศึกษาของ Donly และคณะที่ศึกษาความสามารถในการยับยั้งการสูญเสียแร่ธาตุโดยวัดผลด้วยระดับการสูญเสียแร่ธาตุในภาพจากกล้องแสงโพลาไรซ์ พบว่าวัสดุกลุ่มอัลคาไซต์มีความสามารถในการยับยั้งการสูญเสียแร่ธาตุได้มากกว่าวัสดุคอมโพสิตเรซิโนนที่ไม่มีการปลดปล่อยฟลูออไรด์ชนิดแซด 100 อย่างมีนัยสำคัญ(60) แต่การศึกษาของ Donly และคณะพบว่าวัสดุแก้วไอโโนเมอร์ชนิดวีทรีเมอร์ มีความสามารถในการยับยั้งการสูญเสียแร่ธาตุได้มากกว่าวัสดุเซนท์ทิน เอ็นอย่างมีนัยสำคัญทางสถิติ(60) ซึ่งต่างจากการศึกษานี้ โดยเมื่อพิจารณาคุณสมบัติของวัสดุอัลคาไซต์ในการต้านทานการสูญเสียแร่ธาตุและส่งเสริมการคืนกลับแร่ธาตุพบว่าอัลคาไซต์จะปลดปล่อยประจุฟลูออไรด์และแคลเซียมได้ดีในภาวะเป็นกรดและเมื่อแข็งตัวแบบบ่มตัวเอง(24, 29) ซึ่งการศึกษาของ Donly และคณะใช้การจำลองสภาพในช่องปากโดยแข็งในน้ำลายเทียมแล้วนำไปแข็งในสารละลายสำหรับกระบวนการสูญเสียแร่ธาตุที่มีค่าความเป็นกรดด่าง pH 4.5 เป็นเวลา 1 ชั่วโมงวันละ 2 ครั้งและไม่มีการระบุว่าทำให้วัสดุอัลคาไซต์แข็งตัวแบบใด(60) ส่วนการศึกษานี้ใช้การจำลองสภาพในช่องปากให้คล้ายคลึงกับผู้ที่มีความเสี่ยงในการเกิดฟันผุรยะดับสูงโดยการแข็งในสารละลายแร่ธาตุ 8 ชั่วโมง แล้วแข็งในสารละลายสำหรับส่งเสริมการคืนกลับแร่ธาตุ 16 ชั่วโมงและใช้การบ่มตัวเองทำให้วัสดุอัลคาไซต์แข็งตัว จึงน่าจะเป็นเหตุผลที่ทำให้วัสดุอัลคาไซต์จากการศึกษานี้สามารถปลดปล่อยฟลูออไรด์และแคลเซียมได้ดีและเกิดการคืนกลับแร่ธาตุได้มากกว่า

การจำลองลักษณะด้านประชิดให้ใกล้เคียงกับพื้นธรรมาติถือเป็นข้อดีของการศึกษานี้ โดยเลือกใช้ชิ้นฟันที่ขัดเรียบเพื่อให้สามารถนำชิ้นฟันไปวัดความแข็งผิวระดับจุลภาคที่พื้นผิวได้ มาติดกับ

วัสดุบูรณะคลาสทูที่มีรูปร่าง ความป่องนูนใกล้เคียงกับพื้นธรรมชาติ เมื่อพิจารณาการศึกษาอื่นๆ พบว่ามีการจำลองการติดกันของรอยผุและวัสดุบูรณะหอยลักษณะ ได้แก่ การนำชิ้นพื้นที่ตัดและขัดผิวให้เรียบฝังในอะคริลิกแล้วนำมาติดกับชิ้นวัสดุบูรณะพื้นผิวเรียบ(21) ซึ่งวิธีการนี้วัสดุบูรณะจะสัมผัสและแนบกับชิ้นพื้นทำให้เกิดการคืนกลับแร่ร้าตุ่นมาก แต่ไม่ได้เป็นการจำลองลักษณะด้านประชิดของพื้นตามธรรมชาติ ส่วนการนำพื้นทั้งชิ้นที่มีการทำรอยผุที่ด้านประชิดมาติดกับพื้นที่กรอบและบูรณะคลาสทู(12, 16, 17, 20) แม้จะสามารถจำลองลักษณะด้านประชิดได้ใกล้เคียงกับพื้นธรรมชาติ แต่ไม่สามารถใช้กับการวัดผลที่ต้องการพื้นผิวรอยผุที่เรียบ เช่นการวัดความแข็งผิวด้วยจุลภาคได้

นอกจากนี้ การทดลองเพื่อจำลองรอยผุด้วยเจลสำหรับลายแร่ร้าตุของการศึกษานี้มีความแตกต่างจากการศึกษาของ Alsaffar และคณะ(79) ในเรื่องของปริมาณไฮดรอกซี่ เอทิล เซลลูโลสและระยะเวลาที่แข็ง เนื่องจากการศึกษานำร่องพบร้าหากให้ไฮดรอกซี่ เอทิล เซลลูโลสร้อยละ 6 ตามน้ำหนัก เจลที่ได้มีความหนืดและแข็งตัวมากเกินไปจึงได้ทำการปรับปริมาณไฮดรอกซี่ เอทิล เซลลูโลสเป็นร้อยละ 1 ตามน้ำหนัก และในเรื่องเวลาการแข็งที่การศึกษานี้ใช้เวลา 2 วันซึ่งแตกต่างจากการงานของ Alsaffar และคณะ(79) ที่ใช้เวลา 20 วัน เนื่องจากในการศึกษาของ Alsaffar และคณะ(79) ใช้เจลสำหรับลายแร่ร้าตุเพื่อจำลองการพบร้าหักจากบูรณะ ต่างจากการศึกษาของเราระดับของการสร้างรอยผุระยะเริ่มต้นและขณะทำการศึกษานำร่องพบร้าหักเมื่อใช้เวลาแข็งในเจลสำหรับลายแร่ร้าตุเพิ่มมากขึ้น จะส่งผลให้ความแข็งผิวด้วยจุลภาคลดลงซึ่งหากค่าความแข็งผิวด้วยจุลภาคต่ำกว่ากันไปจะมีผลต่อการวัดความแข็งผิวด้วยจุลภาคหลังจากผ่านกระบวนการเลียนแบบสภาพการเปลี่ยนแปลงความเป็นกรดด่างในช่องปาก การศึกษานี้จึงปรับลดรันในการแข็งเจลสำหรับลายแร่ร้าตุเพื่อสร้างรอยผุจำลองให้น้อยที่สุดที่ทำให้เกิดรอยผุระยะเริ่มต้นที่มีลักษณะเคลื่อนย้ายเป็นสีขาวขุ่นและมีความลึกรอยผุ 100 ไมโครเมตร ตามที่กำหนด

การวัดความแข็งผิวด้วยจุลภาคเป็นหนึ่งในวิธีที่นิยมนิยมนำมาใช้ในการประเมินผลการคืนกลับแร่ร้าตุ สามารถวัดผลในเชิงปริมาณ และวัดต่อเนื่องเพื่อเปรียบเทียบการคืนกลับแร่ร้าตุก่อนและหลังเข้ากระบวนการเลียนแบบสภาพการเปลี่ยนแปลงความเป็นกรดด่างในช่องปากได้โดยวิธีการไม่ยุ่งยาก(84) ซึ่งหลังจากผ่านกระบวนการสร้างรอยผุจำลองแล้วนำวัดค่าความแข็งผิวด้วยจุลภาคพบว่าค่าเฉลี่ยความแข็งผิวด้วยจุลภาคของทุกกลุ่มเท่ากับ 16.6 ± 4.232 KHN ซึ่งแตกต่างจากการศึกษาอื่นที่มีการสร้างรอยผุจำลองซึ่งวัดค่าเฉลี่ยความแข็งผิวด้วยจุลภาคได้ในช่วง 53-131 KHN(85, 86) โดยความแตกต่างนี้อาจมาจากชิ้นพื้นที่ใช้แตกต่างกัน โดยการศึกษาของ Jardim และคณะ(85) กับ Carvalho และคณะ(86) เลือกใช้พื้นกระดาษทรายต่างจากการศึกษานี้ที่เลือกใช้พื้นกระดาษน้อย ซึ่งจาก

การศึกษาของ Healy พบว่าความแข็งผิวรอบดับจุลภาคโดยเฉลี่ยของเคลือบฟันพั้นกรรมถาวรมีค่ามากกว่าพั้นกรรมน้อยโดยความแข็งผิวรอบดับจุลภาคของเคลือบฟันพั้นกรรมถาวรมีค่า 385 KHN ส่วนพั้นกรรมน้อยมีค่า 327 KHN(87) นอกจากนี้กระบวนการทำรอยผุจำลองจากสองการศึกษาข้างต้นมีความแตกต่างจากการศึกษานี้ โดยการศึกษาของ Jardim และคณะ(85) ใช้เชื้อ S.mutan ในคราบจุลินทรีย์สร้างรอยผุจำลองเป็นระยะเวลา 7 วัน โดยคราบจุลินทรีย์มีค่าพีอีอช 7.0 สลับกับค่าพีอีอช 5.5 เมื่อได้รับน้ำตาล ซึ่งจะเห็นได้ว่าค่าพีอีอชในคราบจุลินทรีย์มีความเป็นกรดน้อยกว่าเจลสำหรับละลายแร่ร้าตุของการศึกษานี้ ส่วนการศึกษาของ Carvalho และคณะ(86) ใช้การแซ่สารละลายสำหรับละลายแร่ร้าตุ ค่าพีอีอช 4.7 เป็นเวลา 6 ชั่วโมงสลับกับการแซ่ละลายลายนส์เสริมการคืนกลับแร่ร้าตุ ค่าพีอีอช 7.0 เป็นเวลา 18 ชั่วโมงเป็นเวลา 2 วัน ซึ่งจะเห็นได้ว่าค่าพีอีอชของสารละลายสำหรับละลายแร่ร้าตุจากการศึกษาของ Carvalho และคณะมีความเป็นกรdn้อยกว่าเจลสำหรับละลายแร่ร้าตุของการศึกษานี้ และมีช่วงเวลาในการแซ่สารละลายสำหรับละลายแร่ร้าตุที่น้อยกว่าการศึกษานี้

การศึกษานี้พบว่าวัสดุอัลคาไไซค์มีร้อยละการคืนกลับความแข็งผิวรอบดับจุลภาคมากกว่าการบูรณะด้วยวัสดุแก้วไอโอดีนเมอร์ ซึ่งอาจจะเป็นผลจากความสามารถในการปลดปล่อยแร่ร้าตุทั้งประจุฟลูออไรด์ และประจุแคลเซียม ซึ่งต่างจากวัสดุแก้วไอโอดีนเมอร์ที่สามารถปลดปล่อยได้เฉพาะประจุฟลูออไรด์ ซึ่งในกระบวนการคืนกลับแร่ร้าตุพบว่าฟลูออไรด์จะกระตุ้นการคืนกลับแร่ร้าตุโดยฟลูออไรด์ที่อยู่บริเวณผิวผลึกจะดึงดูดประจุแคลเซียมและฟอสเฟตมาสร้างเป็นชั้นผิวผลึกใหม่เพื่อคืนกลับแร่ร้าตุทดแทน(11, 55) ดังนั้นการมีประจุแคลเซียมจึงช่วยเพิ่มการคืนกลับแร่ร้าตุให้มากขึ้น โดยจากการศึกษาของ Ruengrungsom และคณะพบว่าเมื่อเปรียบเทียบการปลดปล่อยแคลเซียมของวัสดุบูรณะเซนทิน เอ็นพบว่ามีการปลดปล่อยแคลเซียมสะสม 2,453.6 นาโนโมลต่อตารางเซนติเมตรที่เวลา 7 วันและยังสามารถสะสมแคลเซียมเมื่อได้รับ MI vanish และเกิดการปลดปล่อยชาได้อีกด้วย (88) ซึ่งหากต้องการยืนยันว่าผลจากการศึกษาครั้นี้เป็นไปตามแนวคิดนี้หรือไม่ อาจทำวิเคราะห์ร้าตุที่ร้อยผุรูปะเริ่มต้นด้วยกล้องจุลทรรศน์อิเล็กตรอนแบบส่อง粒 (Scanning Electron Microscope-Energy Dispersive X-ray fluorescence analysis: SEM-EDX) เพิ่มเติมในการศึกษาต่อไป

นอกจากนี้วัสดุอัลคาไไซค์ที่ประกอบด้วยส่วนผง และส่วนน้ำ ในส่วนผงจะประกอบด้วยผงแก้วหลาภูชนิด สำหรับส่วนน้ำประกอบด้วยสารโมโนเมอร์ สารริเริ่มการก่อตัวและสารเร่ง เมื่อใช้งานต้องนำส่วนผงและส่วนน้ำมาผสมกันโดยใช้ช้อนตวงและการหยดจากขวดซึ่งอาจทำให้อัตราส่วนระหว่างผงและน้ำแปรปรวนจากผู้ปฏิบัติการ เช่น การตวงส่วนผง ปริมาณที่ได้จะขึ้นกับความหนาแน่นของผง

ขณะต่างๆ และปริมาณของส่วนน้ำจะขึ้นอยู่กับมุ่มน้ำในการถือตอนบีบขาดและแรงที่ใช้ในการบีบ(89) แตกต่างจากวัสดุแก้วไวน์เมอร์ชนิดอิเค维ย ฟอร์เต้ ฟิล์ที่อยู่ในรูปแบบแคปซูลซึ่งมีอัตราส่วนระหว่างส่วนผสมและน้ำแน่นอนและถูกต้องตามคำแนะนำของบริษัทผู้ผลิต(90) จากการศึกษาผลของอัตราส่วนผสมต่อน้ำของวัสดุแก้วไวน์เมอร์ต่อคุณสมบัติการปลดปล่อยฟลูอิริด์พบว่าอัตราส่วนผสมที่เพิ่มขึ้นภายในแก้วไวน์เมอร์จะลดปริมาณการปลดปล่อยฟลูอิริด์(91) ดังนั้นจึงมีความเป็นไปได้ที่อัตราส่วนระหว่างส่วนผสมและส่วนน้ำที่เปลี่ยนไปอาจมีผลต่อคุณสมบัติการปลดปล่อยฟลูอิริด์ของวัสดุอัลคาไซต์เท่านั้น

โดยสรุป ผลจากการศึกษานี้พบว่าการบูรณะด้วยวัสดุอัลคาไซต์ให้ผลการคืนกลับแร่ธาตุในรอยผุรุดยาระเรื่มต้นของชิ้นพื้นได้มากกว่าวัสดุบูรณะแก้วไวน์เมอร์และคอมโพสิตเรซินอย่างมีนัยสำคัญทางสถิติในห้องปฏิบัติการ วัสดุอัลคาไซต์จึงถือเป็นวัสดุหนึ่งที่สามารถเลือกใช้ในกรณีที่ต้องบูรณะรอยผุรุดยาระเรื่มต้นเพื่อยับยั้งการลุก浪

อย่างไรก็ได้การศึกษานี้เป็นเพียงการศึกษาเบื้องต้นเพื่อเปรียบเทียบการคืนกลับแร่ธาตุในรอยผุรุดยาระเรื่มต้นของชิ้นพื้นในระยะสั้น ในอนาคตจึงควรเพิ่มระยะเวลาในการศึกษาเพื่อคุณภาพในระยะยาว รวมถึงการศึกษาครั้งนี้ใช้พัฒนาน้อยแท้ในการศึกษา ผลการศึกษาที่ได้จึงไม่อาจนำมาสรุปในพื้นน้ำหน้ามได้

จุฬาลงกรณ์มหาวิทยาลัย
CHULALONGKORN UNIVERSITY

บรรณานุกรม

1. Sugars and dental caries 2017 [Internet]. Available from:
<http://apps.who.int/iris/bitstream/handle/10665/259413/WHO-NMH-NHD-17.12-eng.pdf;jsessionid=524211B35F11000E8FADD1D7C6CC634A?sequence=1>.
2. Oral health , Fact sheet [Internet]. 2018. Available from:
<https://www.who.int/news-room/fact-sheets/detail/oral-health>.
3. สำนักทันตสาธารณสุข. รายงานผลการสำรวจสภาวะสุขภาพช่องปากแห่งชาติ ครั้งที่ 8 ประเทศไทย พ.ศ. 2560. นนทบุรี: กระทรวงสาธารณสุข; 2561.
4. Petersen PE, Estupinan-Day S, Ndiaye C. WHO's action for continuous improvement in oral health. Bulletin of the World Health Organization. 2005;83(9):642.
5. Mejare I, Källestål C, Stenlund H, Johansson H. Caries Development from 11 to 22 Years of Age: A Prospective Radiographic StudyPrevalence and Distribution. Caries Research. 1998;32(1):10-6.
6. ชูติมา ไตรรัตน์วรกุล. พื้นผืนเด็กปฐมวัย. In: ชูติมา ไตรรัตน์วรกุล, editor. ทันตกรรมป้องกันในเด็กและวัยรุ่น. 2 ed. กรุงเทพฯ: เบสทบุ๊คส์ออนไลน์; 2551. p. 43-122.
7. Mount GJ, Ngo H. Minimal intervention: Early lesions. Quintessence International. 2000;31(8):535-46.
8. Eden E. Evidence-Based Caries Prevention. Cham, SWITZERLAND: Springer; 2016.
9. Meyer-Lueckel H, Paris S. When and How to Intervene in the Caries Process. Operative Dentistry. 2016;41(S7):S35-S47.
10. Buzalaf M.A.R. PJP, Honório H.M., ten Cate J.M. Mechanisms of Action of Fluoride for Caries Control. In: Buzalaf MAR, editor. Fluoride and the Oral Environment. 22. Basel: Karger; 2011. p. 97-114.
11. Featherstone JDB. THE SCIENCE AND PRACTICE OF CARIES PREVENTION. The Journal of the American Dental Association. 2000;131(7):887-99.
12. Baliga MS, Bhat SS. Effect of fluorides from various restorative materials on remineralization of adjacent tooth: an in vitro study. J Indian Soc Pedod Prev Dent. 2010;28(2):84-90.
13. Yaman SD, Er O, Yetmez M, Karabay GA. In vitro inhibition of caries-like lesions

- with fluoride-releasing materials. *J Oral Sci.* 2004;46(1):45-50.
14. Dionysopoulos D, Koliniotou-Koumpia E, Helvatzoglou-Antoniades M, Kotsanos N. Fluoride release and recharge abilities of contemporary fluoride-containing restorative materials and dental adhesives. *Dental materials journal.* 2013;32(2):296-304.
 15. Burke FM, Ray NJ, McConnell RJ. Fluoride-containing restorative materials. *Int Dent J.* 2006;56(1):33-43.
 16. Segura A, Donly KJ, Stratmann RG. Enamel remineralization on teeth adjacent to Class II glass ionomer restorations. *Am J Dent.* 1997;10(5):247-50.
 17. Marinelli CB, Donly KJ, Wefel JS, Jakobsen JR, Denehy GE. An in vitro comparison of three fluoride regimens on enamel remineralization. *Caries Res.* 1997;31(6):418-22.
 18. Bynum AM, Donly KJ. Enamel de/remineralization on teeth adjacent to fluoride releasing materials without dentifrice exposure. *ASDC J Dent Child.* 1999;66(2):89-92, 84.
 19. Donly KJ, Segura A, Wefel JS, Hogan MM. Evaluating the effects of fluoride-releasing dental materials on adjacent interproximal caries. *J Am Dent Assoc.* 1999;130(6):817-25.
 20. Jang KT, Garcia-Godoy F, Donly KJ, Segura A. Remineralizing effects of glass ionomer restorations on adjacent interproximal caries. *ASDC J Dent Child.* 2001;68(2):125-8, 42.
 21. Lee HS, Berg JH, Garcia-Godoy F, Jang KT. Long-term evaluation of the remineralization of interproximal caries-like lesions adjacent to glass-ionomer restorations: a micro-CT study. *Am J Dent.* 2008;21(2):129-32.
 22. Qvist V, Poulsen A, Teglars PT, Mjor IA. Fluorides leaching from restorative materials and the effect on adjacent teeth. *Int Dent J.* 2010;60(3):156-60.
 23. Guglielmi , Calvo , Tedesco , Mendes , Raggio Contact with Fluoride-Releasing Restorative Materials Can Arrest Simulated Approximal Caries Lesion. *Journal of Nanomaterials.* 2015.
 24. Ivoclar Vivadent AG Research&Development Sceintific Service. Scientific Documentation: Cention N Liechtenstein2016 [Available from:
<https://www.ivoclarvivadent.in/p/all/cention-n>.
 25. Sadananda V, Shetty C, Hegde M, S. Bhat G. Alkasite restorative material: flexural and compressive strength evaluation. *Research Journal of Pharmaceutical, Biological*

- and Chemical Sciences. 2018;9:2179.
26. Chole D, Khushal Shah H, Kundoor S, Bakle S, Gandhi N, Hatte N. In Vitro Comparision of Flexural Strength of Cention-N, BulkFill Composites, Light-Cure Nanocomposites And Resin-Modified Glass Ionomer Cement. IOSR Journal of Dental and Medical Sciences 2018;17(10):79-82.
27. Kaur M, Singh MN, Jhamb A, Batra D. A comparative evaluation of compressive strength of Cention N with glass ionomer cement: An in-vitro study International Journal of Applied Dental Sciences 2019:5-9.
28. Chowdhury D, Guha C, Desai P. Comparative Evaluation of Fracture Resistance of Dental Amalgam, Z350 Composite Resin and Cention-N Restoration In Class II Cavity. 2019.
29. Gupta N, Jaiswal S, Nikhil V, Gupta S, Jha P, Bansal P. Comparison of fluoride ion release and alkalizing potential of a new bulk-fill alkasite. J Conserv Dent. 2019;22(3):296-9.
30. Roopa K, Pathak S, Poornima P, Neena I. White spot lesions: A literature review. Journal of Pediatric Dentistry. 2015;3(1):1-7.
31. Pitts NB, Zero DT, Marsh PD, Ekstrand K, Weintraub JA, Ramos-Gomez F, et al. Dental caries. Nature reviews Disease primers. 2017;3:17030.
32. Frencken JE, Peters MC, Manton DJ, Leal SC, Gordan VV, Eden E. Minimal intervention dentistry for managing dental caries - a review: report of a FDI task group. Int Dent J. 2012;62(5):223-43.
33. Staehle HJ. Minimally invasive restorative treatment. The journal of adhesive dentistry. 1999;1(3):267-84.
34. Sakaguchi RL, Ferracane J, Powers JM. Craig's Restorative Dental Materials - E-Book. Philadelphia, UNITED STATES: Mosby; 2018.
35. Jiayao L. Clinical Management of Dental Caries. 2016. In: Dental caries : principles and management [Internet]. Springer; [107-28]. Available from: <http://public.eblib.com/choice/publicfullrecord.aspx?p=4068769>.
36. Heintze SD, Rousson V. Clinical effectiveness of direct class II restorations - a meta-analysis. The journal of adhesive dentistry. 2012;14(5):407-31.
37. American Academy of Pediatric Dentistry. Pediatric Restorative Dentistry.

2019;371-83.

38. Fuks AB, Araujo FB, Osorio LB, Hadani PE, Pinto AS. Clinical and radiographic assessment of Class II esthetic restorations in primary molars. *Pediatr Dent*. 2000;22(6):479-85.
39. Soncini JA, Maserejian NN, Trachtenberg F, Tavares M, Hayes C. The longevity of amalgam versus compomer/composite restorations in posterior primary and permanent teeth: findings From the New England Children's Amalgam Trial. *J Am Dent Assoc*. 2007;138(6):763-72.
40. Alves dos Santos MP, Luiz RR, Maia LC. Randomised trial of resin-based restorations in Class I and Class II beveled preparations in primary molars: 48-month results. *J Dent*. 2010;38(6):451-9.
41. Yengopal V, Mickenautsch S. Caries-preventive effect of resin-modified glass-ionomer cement (RM-GIC) versus composite resin: a quantitative systematic review. *Eur Arch Paediatr Dent*. 2011;12(1):5-14.
42. Vermeersch G, Leloup G, Vreven J. Fluoride release from glass–ionomer cements, compomers and resin composites. *Journal of oral rehabilitation*. 2001;28(1):26-32.
43. Swartz ML, Phillips RW, Clark HE. Long-term F release from glass ionomer cements. *J Dent Res*. 1984;63(2):158-60.
44. Moshaverinia M, Navas A, Jahedmanesh N, Shah KC, Moshaverinia A, Ansari S. Comparative evaluation of the physical properties of a reinforced glass ionomer dental restorative material. *The Journal of Prosthetic Dentistry*. 2019;122(2):154-9.
45. Croll TP, Nicholson JW. Glass ionomer cements in pediatric dentistry: review of the literature. *Pediatr Dent*. 2002;24(5):423-9.
46. Moshaverinia A, Roohpour N, W L Chee W, Schricker S. A review of powder modifications in conventional glass-ionomer dental cements. *Journal of Materials Chemistry*. 2010;21:1319-28.
47. Salinovic I, Stunja M, Schauperl Z, Verzak Z, Ivanisevic Malcic A, Brzovic Rajic V. Mechanical Properties of High Viscosity Glass Ionomer and Glass Hybrid Restorative Materials. *Acta Stomatol Croat*. 2019;53(2):125-31.
48. Mousavinasab SM, Meyers I. Fluoride release by glass ionomer cements,

- compomer and giomer. *Dental research journal.* 2009;6(2):75-81.
49. Mitra SB, Oxman JD, Falsafi A, Ton TT. Fluoride release and recharge behavior of a nano-filled resin-modified glass ionomer compared with that of other fluoride releasing materials. *Am J Dent.* 2011;24(6):372-8.
50. Dasgupta S, Saraswathi MV, Somayaji K, Pentapati KC, Shetty P. Comparative evaluation of fluoride release and recharge potential of novel and traditional fluoride-releasing restorative materials: An in vitro study. *Journal of conservative dentistry : JCD.* 2018;21(6):622-6.
51. Toh SL, Messer LB. Evidence-based assessment of tooth-colored restorations in proximal lesions of primary molars. *Pediatr Dent.* 2007;29(1):8-15.
52. Menezes-Silva R, Velasco SRM, Bastos RS, Molina G, Honorio HM, Frencken JE, et al. Randomized clinical trial of class II restoration in permanent teeth comparing ART with composite resin after 12 months. *Clinical oral investigations.* 2019;23(9):3623-35.
53. de Medeiros Serpa EB, Clementino MA, Granville-Garcia AF, Rosenblatt A. The effect of atraumatic restorative treatment on adhesive restorations for dental caries in deciduous molars. *J Indian Soc Pedod Prev Dent.* 2017;35(2):167-73.
54. GC America. EQUIA Forte® Bulk Fill, Fluoride Releasing, Glass Hybrid Restorative System [Available from:
http://www.gcamerica.com/products/operatory/EQUIA_Forte/index.php.
55. Abou Neel EA, Aljabo A, Strange A, Ibrahim S, Coathup M, Young AM, et al. Demineralization-remineralization dynamics in teeth and bone. *Int J Nanomedicine.* 2016;11:4743-63.
56. Silverstone LM. Remineralization of human enamel in vitro. *Proc R Soc Med.* 1972;65(10):906-8.
57. Mattousch T, van der Veen M, Zentner A. Caries lesions after orthodontic treatment followed by quantitative light-induced fluorescence: A 2-year follow-up. *European journal of orthodontics.* 2007;29:294-8.
58. Philip N. State of the Art Enamel Remineralization Systems: The Next Frontier in Caries Management. *Caries Research.* 2019;53(3):284-95.
59. Cochrane NJ, Cai F, Huq NL, Burrow MF, Reynolds EC. New approaches to enhanced remineralization of tooth enamel. *J Dent Res.* 2010;89(11):1187-97.

60. Donly KJ, Liu JA. Dentin and enamel demineralization inhibition at restoration margins of Vitremer, Z 100 and Cention N. *Am J Dent.* 2018;31(3):166-8.
61. Pitts NB, Rimmer PA. An in vivo comparison of radiographic and directly assessed clinical caries status of posterior approximal surfaces in primary and permanent teeth. *Caries Res.* 1992;26(2):146-52.
62. Mount GJ, Ngo H. Minimal intervention: a new concept for operative dentistry. *Quintessence Int.* 2000;31(8):527-33.
63. Cagetti MG, Campus G, Sale S, Cocco F, Strohmenger L, Lingstrom P. Association between interdental plaque acidogenicity and caries risk at surface level: a cross sectional study in primary dentition. *Int J Paediatr Dent.* 2011;21(2):119-25.
64. Huysmans MC, Longbottom C. The challenges of validating diagnostic methods and selecting appropriate gold standards. *J Dent Res.* 2004;83 Spec No C:C48-52.
65. Arends J, ten Bosch JJ. Demineralization and Remineralization Evaluation Techniques. *Journal of Dental Research.* 1992;71(3_suppl):924-8.
66. Lippert F, Lynch RJ. Comparison of Knoop and Vickers surface microhardness and transverse microradiography for the study of early caries lesion formation in human and bovine enamel. *Arch Oral Biol.* 2014;59(7):704-10.
67. Ten Bosch JJ, Angmar-Mansson B. A review of quantitative methods for studies of mineral content of intra-oral caries lesions. *J Dent Res.* 1991;70(1):2-14.
68. Lo EC, Zhi QH, Itthagaran A. Comparing two quantitative methods for studying remineralization of artificial caries. *J Dent.* 2010;38(4):352-9.
69. ราชินทร์ เพียงสุข, กษาปณ พิเชฐ์โชติ, ชุดกุล เขื่อนแก้ว, ณีรนุช กิตติวนิชันนท, ปานไพลิน แสงอุทัย, ทวีศักดิ ประสานสุทธิพร, et al. เครื่องมือที่ใช้ในการตรวจสอบลักษณะพื้นผิวและรูปร่างของวัสดุสำหรับงานวิจัยทางทันตกรรม. *เชียงใหม่ทันตแพทยสาร.* 2560;38(1):13-28.
70. Sun J, Eidelman N, Lin-Gibson S. 3D mapping of polymerization shrinkage using X-ray micro-computed tomography to predict microleakage. *Dent Mater.* 2009;25(3):314-20.
71. Swain MV, Xue J. State of the art of Micro-CT applications in dental research. *Int J Oral Sci.* 2009;1(4):177-88.
72. Domark JD, Hatton JF, Benison RP, Hildebolt CF. An ex vivo comparison of digital radiography and cone-beam and micro computed tomography in the detection of the

- number of canals in the mesiobuccal roots of maxillary molars. *J Endod.* 2013;39(7):901-5.
73. Featherstone JD, ten Cate JM, Shariati M, Arends J. Comparison of artificial caries-like lesions by quantitative microradiography and microhardness profiles. *Caries Res.* 1983;17(5):385-91.
74. Darvell BW. Chapter 1 - Mechanical Testing. In: Darvell BW, editor. *Materials Science for Dentistry (Tenth Edition)*: Woodhead Publishing; 2018. p. 1-39.
75. Samuel SM, Rubinstein C. Microhardness of enamel restored with fluoride and non-fluoride releasing dental materials. *Braz Dent J.* 2001;12(1):35-8.
76. Meredith N, Sherriff M, Setchell DJ, Swanson SAV. Measurement of the microhardness and young's modulus of human enamel and dentine using an indentation technique. *Archives of Oral Biology*. 1996;41(6):539-45.
77. Gutiérrez-Salazar MdP, Reyes-Gasga J. Microhardness and chemical composition of human tooth. *Materials Research*. 2003;6:367-73.
78. Jones RS, Fried D. Remineralization of enamel caries can decrease optical reflectivity. *Journal of dental research*. 2006;85(9):804-8.
79. Alsaffar A, Tantbirojn D, Versluis A, Beiraghi S. Protective effect of pit and fissure sealants on demineralization of adjacent enamel. *Pediatric dentistry*. 2011;33(7):491-5.
80. Maia LC, de Souza IP, Cury JA. Effect of a combination of fluoride dentifrice and varnish on enamel surface rehardening and fluoride uptake in vitro. *European journal of oral sciences*. 2003;111(1):68-72.
81. Zeitouny M, Cuisinier F, Tassery H, Fayyad-Kazan H. The Efficacy of Soprolife(®) in Detecting in Vitro Remineralization of Early Caries Lesions. *J Oral Maxillofac Res.* 2020;11(2):e6-e.
82. Manosubsak N, Sukarawan W, Sriarj W. The Remineralization Quality by Fluoridated Dentifrice on Artificial Incipient Caries Lesion. . *Mahidol Dental Journal* 2019.
83. Koo TK, Li MY. A Guideline of Selecting and Reporting Intraclass Correlation Coefficients for Reliability Research. *J Chiropr Med.* 2016;15(2):155-63.
84. Zhang YR, Du W, Zhou XD, Yu HY. Review of research on the mechanical properties of the human tooth. *Int J Oral Sci.* 2014;6(2):61-9.
85. Jardim RN, Rocha AA, Rossi AM, de Almeida Neves A, Portela MB, Lopes RT, et

- al. Fabrication and characterization of remineralizing dental composites containing hydroxyapatite nanoparticles. *Journal of the Mechanical Behavior of Biomedical Materials.* 2020;109:103817.
86. de Carvalho FG, Vieira BR, Santos RL, Carlo HL, Lopes PQ, de Lima BA. In vitro effects of nano-hydroxyapatite paste on initial enamel carious lesions. *Pediatr Dent.* 2014;36(3):85-9.
87. Healy KE. Dentin and enamel. In: Black J, Hastings G, editors. *Handbook of Biomaterial Properties.* Boston, MA: Springer US; 1998. p. 24-39.
88. Ruengrungsom C, Burrow MF, Parashos P, Palamara JEA. Evaluation of F, Ca, and P release and microhardness of eleven ion-leaching restorative materials and the recharge efficacy using a new Ca/P containing fluoride varnish. *Journal of Dentistry.* 2020;102:103474.
89. Fleming GJ, Marquis PM, Shortall AC. The influence of clinically induced variability on the distribution of compressive fracture strengths of a hand-mixed zinc phosphate dental cement. *Dental materials : official publication of the Academy of Dental Materials.* 1999;15(2):87-97.
90. Ferreira Fde M, do Vale MP, Jansen WC, Paiva SM, Pordeus IA. Effect of mixing process on microleakage of glass ionomer cements used in atraumatic restorative treatment on primary molars. *J Clin Pediatr Dent.* 2007;31(4):251-6.
91. Panpisut P, Monmaturapoj N, Srion A, Angkananuwat C, Krajangta N, Panthumvanit P. The effect of powder to liquid ratio on physical properties and fluoride release of glass ionomer cements containing pre-reacted spherical glass fillers. *Dental materials journal.* 2020;39(4):563-70.



จุฬาลงกรณ์มหาวิทยาลัย

CHULALONGKORN UNIVERSITY



ภาคผนวก ก เอกสารผลพิจารณาจริยธรรมการวิจัยในมนุษย์



No. 012/2020

**Study Protocol and Consent Form Approval
Certificate of Exemption**

The Human Research Ethics Committee of the Faculty of Dentistry, Chulalongkorn University, Bangkok, Thailand has approved the following study to be carried out according to the protocol and patient/participant information sheet dated and/or amended as follows in compliance with the ICH/GCP

Study Title	: The effects of fluoride-releasing materials on surface microhardness of adjacent initial interproximal caries: <i>in vitro</i> study
Study Code	: HREC-DCU 2020-014
Study Center	: Chulalongkorn University
Principle Investigator	: Ms. Thipthida Theerarath
Protocol Date	: February 24, 2020
Date of Approval	: March 11, 2020
Date of Expiration	: March 10, 2022

L. Bhalang

(Associate Professor Dr. Kanokporn Bhalang)
Chairman of Ethics Committee
Associate Dean for Research

*A list of the Ethics Committee members (names and positions) present at the Ethics Committee meeting on the date of approval of this study has been attached (upon requested). This Study Protocol Approval Form will be forwarded to the Principal Investigator.

Approval is granted subject to the following conditions: (see back of the approval)

ภาคผนวก ข เอกสารผลการประเมินความปลอดภัยทางชีวภาพ

CU-IBC09



**Faculty of Dentistry
Chulalongkorn University
Institutional Biosafety Committee**

Certificate of Notification

Notification No. : DENT CU-IBC 018/2020
Project title : THE EFFECTS OF FLUORIDE-RELEASING MATERIALS ON SURFACE MICROHARDNESS OF ADJACENT INITIAL INTERPROXIMAL CARIES: IN VITRO STUDY
Subproject title : -
Principal investigator of the project : Assistant Professor Wannakorn Sriarj, DDS, Ph.D.
Principal investigator of the subproject : -
Affiliation : Department of Pediatric dentistry
Risk group :
 Pathogen Risk group 1 Risk group 2 Risk group 3 Risk group 4
 Animal toxin Risk group 1 Risk group 2 Risk group 3
 Other..... Risk group/LD₅₀.....
Biocontainment level :
 Biosafety level 1 Biosafety level 2 Biosafety level 2 enhanced Biosafety level 3 Biosafety level 4

This project has been reviewed and notified by CU-IBC in accordance with the levels of risk in pathogens and animal toxins list in the Risk Group of Pathogen (2018) and Animal Toxin (2019) published by Department of Medical Sciences (Ministry of Public Health), the Pathogen and Animal Toxin Act (2015) and Biosafety Guidelines for Modern Biotechnology BIOTEC (2016).

The official signing to certify that the information provided on this form is correct. The institution assumes that investigators will take responsibility, and follow the levels of risk in pathogens and animal toxins list in the Risk Group of Pathogen (2018) and Animal Toxin (2019) published by Department of Medical Sciences (Ministry of Public Health), the Pathogen and Animal Toxin Act (2015) and Biosafety Guidelines for Modern Biotechnology BIOTEC (2016).

The notification is subjected to assurance given in the levels of risk in pathogens and animal toxins list in the Risk Group of Pathogen (2018) and Animal Toxin (2019) published by Department of Medical Sciences (Ministry of Public Health), the Pathogen and Animal Toxin Act (2015) and Biosafety Guidelines for Modern Biotechnology BIOTEC (2016) and may be required for future investigations and reviews.

If there are any changes in information, please notify CU-IBC.

Effective date: June 15, 2020

Expiration date: June 30, 2021

Signature

(Assistant Professor Kanokporn Bhalang, DDS, Ph.D.)

DENT CU-IBC Chair

ภาคผนวก ค เอกสารสำหรับขอพันเพื่อใช้ในการวิจัย



จก.2.7

เอกสารสำหรับขอ พัน/เนื้อเรื่อง/ภาพรังสี/ข้อมูล/อื่นๆ เพื่อใช้ในการทำวิจัย

เรียน ท่านดแพทย์เจ้าของคลินิก

ข้าพเจ้า ทันตแพทย์หญิงพิมลิศา ชีรรัฐ จะทำการวิจัยเรื่องผลของการส่องกล้องวัสดุธรรมที่สามารถปลดปล่อยหูออกไห้ ต่อความแข็งแรงดับจุลภาคที่ทึ่นดีในเรื่อยมุรุยะเริ่มต้นของฟันซึ่งดังเดียว : การทดลองในห้องปฏิบัติการ ซึ่งเป็นการดำเนินการที่เกี่ยวข้องกับการศึกษาการคืนกลับแร่ธาตุในรอยมุรุยะเริ่มต้นของฟันซึ่งดังเดียวที่มีการบูรณะด้วยวัสดุชนิด ต่าง ๆ โดยประเมินจากความแข็งแรงดับจุลภาคที่ทึ่นดี ประโยชน์ที่ได้จากการวิจัยครั้งนี้คือ ผลจากการศึกษาจะนำไปสู่การวิจัยทางคลินิก และเป็นแนวทางในการเลือกวัสดุธรรมให้เหมาะสมกับผู้ป่วยโดยเฉพาะอย่างยิ่งในรายที่มีความเสี่ยงต่อการเกิดพันมุรุยะดับสูงต่อไป ทั้งนี้ การวิจัยนี้จะต้องใช้พันกรณาน้อยแท็บบันซีที่ 1 และ 2 ของมนุษย์ซึ่งถูกถอนตัวให้หมดทางทันตกรรม จำนวน 30 ชิ้น โดยผู้วิจัยจะไม่เก็บข้อมูลโดยตรงจากอาสาสมัคร และไม่ต้องการเชื่อมโยงถึงข้อมูลดังๆ ของอาสาสมัคร

ซึ่งเรียนมาเพื่อขอใช้พันกรณาน้อยแท็บบันซีที่ 1 และ 2 ของมนุษย์ ซึ่งอยู่ในการดูแล/ครอบครองของท่าน และข้าพเจ้าจะจัดการกับสิ่งที่ขอใช้ดังกล่าวเมื่อเสร็จสิ้นการวิจัยโดยการกำจัดเป็นขยะติดเชื้อ

ขอแสดงความนับถือ

ลงนาม..... จันทร์ อรุณ

(ทันตแพทย์หญิงพิมลิศา ชีรรัฐ)

ผู้วิจัยหลัก

หมายเลขโทรศัพท์มือถือ 0830460915

ลงนาม..... วิภาดา วงศ์กานต์

(ผู้ช่วยศาสตราจารย์ ทันตแพทย์หญิง ดร. วรรณา วงศ์กานต์)

อาจารย์ที่ปรึกษา

วันที่ 19 เดือน กุมภาพันธ์ พ.ศ.2563

ภาคผนวก ๔ เอกสารยินยอมฉบับพื้นเพื่อใช้ในการทำวิจัย

จต.2.8



เอกสารยินยอมฉบับ พื้น/เนื้อเยื่อ/ภาพรังสี/ข้อมูล/หรือสิ่งอื่นๆ เพื่อใช้ในการทำวิจัย

การวิจัยเรื่อง ผลของวัสดุบูรณะที่สามารถปลดปล่อยฟลูออไรต์ต่อความแข็งแรงตัวบุลอกภาคที่พื้นผิวนในรอบผุรุษะเริ่มต้นของ

พื้นที่ชี้ข้างเคียง : การทดสอบในห้องปฏิบัติการ

ผู้วิจัยหลัก ทันตแพทย์หญิง ทิพย์ธิดา ชีรวัช

ก่อนที่จะลงนามในเอกสารยินยอมนี้ ข้าพเจ้าได้รับการอธิบายจากผู้วิจัยถึงวัตถุประสงค์ของการวิจัย วิธีการวิจัย รวมถึง ประโยชน์ที่จะเกิดขึ้นจากการวิจัยอย่างละเอียดและมีความเข้าใจดีแล้ว ข้าพเจ้าขออนุญาต

- พื้นที่ได้รับความยินยอมจากผู้ป่วยให้ถอนออกเนื่องจากเหตุผลทางการแพทย์
- เนื้อเยื่อที่ได้รับความยินยอมจากผู้ป่วยให้ตัดออกเนื่องจากเหตุผลทางการแพทย์
- ภาพรังสี
- ข้อมูล (ประชุม)
- สิ่งอื่นๆ (ประชุม)

จำนวนเท่าที่ผู้วิจัยขอมา ที่อยู่ในความตูด/ครอบครองของข้าพเจ้า เพื่อนำไปใช้ในการวิจัยต่อไป

ลงนาม.....

ผู้ยินยอม

(พ.วิม. เกษษากร)

ดำเนินการ ทันตแพทย์เจ้าของริมทันตแพทย์ศิรินิก

วันที่ ๑๖ เดือน กันยายน พ.ศ. ๒๕๖๓

ที่อยู่ที่สามารถติดต่อได้

51 ถนนสามเสน วัดสามพระยา
เขตพระนคร กรุงเทพมหานคร ๑๐๒๐๐

เริ่มใช้ พฤศจิกายน ๒๕๕๙

เอกสารถูกจัดทำครั้งที่ ๑ วันที่จัดทำ ๑๗ / ๑๐๘ / ๒๕๖๓

ภาคผนวก จ รายละเอียดข้อมูลและการวิเคราะห์ข้อมูลทางสถิติ

BaselineKHN	ค่าเฉลี่ยความแข็งผิวรอบดับจุลภาคตั้งตัน
CariesKHN	ค่าเฉลี่ยความแข็งผิวรอบดับจุลภาคหลังทำการอยผุจำลอง
AfterKHN	ค่าเฉลี่ยความแข็งผิวรอบดับจุลภาคหลังผ่านการจำลองสภาพช่องปาก
PercentRe	ค่าเฉลี่ยร้อยละการคืนกลับความแข็งผิวรอบดับจุลภาค

ตารางแสดงค่าเฉลี่ยความแข็งผิวรอบดับจุลภาคตั้งตัน เมื่อทำการอยผุจำลอง หลังผ่านการจำลอง สภาวะช่องปากและค่าเฉลี่ยร้อยละการคืนกลับความแข็งผิวรอบดับจุลภาคของแต่ละชิ้นฟันตัวอย่างใน กลุ่มที่บูรณะด้วยวัสดุแก้วไอโอนเมอร์ : EQUIA Forte®

Sample No.	BaselineKHN (KHN)	CariesKHN (KHN)	AfterKHN (KHN)	PercentRe (%)
4	346.642	18.306	32.662	4.372
13	335.04	13.5	29.846	5.084
18	329.876	13.794	26.366	3.977
23	322.64	14.672	26.374	3.799
25	321.14	13.966	29.686	5.118
32	315.034	23.062	32.738	3.314
35	312.514	9.676	21.066	3.761
46	328.048	16.384	25.184	2.824
49	308.722	18.88	33.074	4.897
57	292.732	19.29	31.868	4.600
Total	321.239±15.065	16.153±3.819	28.886±4.008	4.175±0.773

ตารางแสดงค่าเฉลี่ยความแข็งผิวระดับจุลภาคตั้งตัน เมื่อทำรอยผุจำลอง หลังผ่านการจำลอง
สภาพช่องปากและค่าเฉลี่ยร้อยละการคืนกลับความแข็งผิวระดับจุลภาคของแต่ละชิ้นพื้นตัวอย่างใน
กลุ่มที่บูรณะด้วยวัสดุอัลคาไซต์ : Cention N®

Sample No.	BaselineKHN (KHN)	CariesKHN (KHN)	AfterKHN (KHN)	PercentRe (%)
9	342.02	20.386	40.426	6.231
11	338.944	13.64	111.414	30.056
14	334.754	14.112	54.502	12.597
20	328.696	13.406	33.994	6.529
29	319.44	21.702	45.77	8.084
33	314.798	23.574	60.23	12.587
37	306.106	16.384	35.852	6.719
43	333.638	15.334	46.904	9.918
51	298.912	22.918	95.328	26.2360776
55	294.244	14.734	44.894	10.790
Total	321.155±17.121	17.619±4.066	56.931±25.975	12.975±8.381

ตารางแสดงค่าเฉลี่ยความแข็งผิวระดับจุลภาคตั้งตัน เมื่อทำการจำลอง หลังผ่านการจำลอง สภาวะช่องปากและค่าเฉลี่ยร้อยละการคืนกลับความแข็งผิวระดับจุลภาคของแต่ละชิ้นฟันตัวอย่างใน กลุ่มที่บูรณะด้วยวัสดุคอมโพสิตเรซิโนนิดไม่ปลดปล่อยฟลูออโรต : Filtek™ Z350

Sample No.	BaselineKHN (KHN)	CariesKHN (KHN)	AfterKHN (KHN)	PercentRe (%)
1	369.342	10.82	3.884	-1.935
3	359.692	27.548	23.954	-1.082
17	331.898	16.078	14.016	-0.653
21	328.086	15.42	10.71	-1.506
26	321.034	11.27	10.692	-0.187
40	299.328	10.646	9.782	-0.299
41	297.428	16.278	8.588	-2.735
48	322.84	18.618	18.472	-0.048
50	305.358	15.408	14.1	-0.451
52	295.752	18.218	5.716	-4.505
Total	323.076±25.540	16.030±4.986	11.991±5.949	(-1.34) ±1.405

จุฬาลงกรณ์มหาวิทยาลัย
CHULALONGKORN UNIVERSITY

การวิเคราะห์การกระจายของข้อมูลค่าเฉลี่ยความแข็งผิวนะดับจุลภาคตั้งตัน เมื่อทำร้อยผู้
จำลอง หลังผ่านการจำลองสภาพช่องปากและค่าเฉลี่ยร้อยละการคืนกลับความแข็งผิวนะดับจุลภาค
ด้วยสถิติ Shapiro-Wilk test

Tests of Normality

	Group	Kolmogorov-Smirnov ^a			Shapiro-Wilk		
		Statistic	df	Sig.	Statistic	df	Sig.
BaselineKHN	GI	.103	10	.200*	.990	10	.997
	CentionN	.170	10	.200*	.925	10	.402
	Composite	.165	10	.200*	.896	10	.200
CariesKHN	GI	.151	10	.200*	.969	10	.881
	CentionN	.219	10	.189	.850	10	.058
	Composite	.202	10	.200*	.862	10	.080
AfterKHN	GI	.179	10	.200*	.899	10	.216
	CentionN	.250	10	.076	.794	10	.012
	Composite	.185	10	.200*	.952	10	.690
PercentRe	GI	.125	10	.200*	.947	10	.633
	CentionN	.318	10	.005	.766	10	.006
	Composite	.188	10	.200*	.853	10	.064

*. This is a lower bound of the true significance.

a. Lilliefors Significance Correction

การวิเคราะห์เปรียบเทียบค่าเฉลี่ยความแข็งผิวนะดับจุลภาคตั้งตันและค่าเฉลี่ยความแข็งผิวนะดับจุลภาคเมื่อทำรอยผุจำลองระหว่างกลุ่มด้วยสถิติ one-way ANOVA

Test of Homogeneity of Variances

	Levene Statistic	df1	df2	Sig.
BaselineKHN	1.306	2	27	.287
CariesKHN	.137	2	27	.872

ANOVA

		Sum of Squares	df	Mean Square	F	Sig.
BaselineKHN	Between Groups	23.568	2	11.784	.030	.970
	Within Groups	10551.608	27	390.800		
	Total	10575.175	29			
CariesKHN	Between Groups	15.626	2	7.813	.419	.662
	Within Groups	503.812	27	18.660		
	Total	519.438	29			



การวิเคราะห์เปรียบเทียบค่าเฉลี่ยความแข็งผิวนะดับจุลภาคหลังผ่านการจำลองสภาพะช่องปากและค่าเฉลี่ยร้อยละการคืนกลับความแข็งผิวนะดับจุลภาคระหว่างกลุ่มด้วยสถิติแบบอนพารามetric Kruskal-Wallis Test

Kruskal-Wallis Test

Ranks			
	Group	N	Mean Rank
AfterKHN	GI	10	15.40
	CentionN	10	25.50
	Composite	10	5.60
	Total	30	
PercentRe	GI	10	15.50
	CentionN	10	25.50
	Composite	10	5.50
	Total	30	

Test Statistics ^{a,b}		
	After	PercentRe
Chi-Square	25.551	25.806
df	2	2
Asymp. Sig.	.000	.000

a. Kruskal Wallis Test

b. Grouping Variable: Group

การวิเคราะห์เปรียบเทียบค่าเฉลี่ยความแข็งผิวระดับจุลภาคหลังผ่านการจำลองสภาพะช่องปากระหว่างคู่ด้วยสถิติแบบอนพารามเมตริกชนิด Mann-Whitney Test

Mann-Whitney Test

Ranks

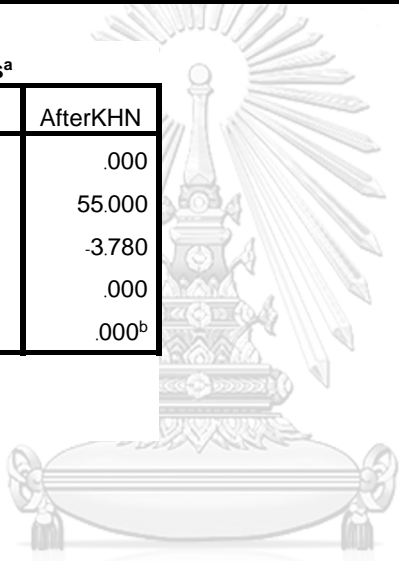
	Group	N	Mean Rank	Sum of Ranks
AfterKHN	GI	10	5.50	55.00
	CentionN	10	15.50	155.00
	Total	20		

Test Statistics^a

	AfterKHN
Mann-Whitney U	.000
Wilcoxon W	55.000
Z	-3.780
Asymp. Sig. (2-tailed)	.000
Exact Sig. [2*(1-tailed Sig.)]	.000 ^b

a. Grouping Variable: Group

b. Not corrected for ties.



Ranks

	Group	N	Mean Rank	Sum of Ranks
AfterKHN	GI	10	15.40	154.00
	Composite	10	5.60	56.00
	Total	20		

Test Statistics^a

	AfterKHN
Mann-Whitney U	1.000
Wilcoxon W	56.000
Z	-3.704
Asymp. Sig. (2-tailed)	.000
Exact Sig. [2*(1-tailed Sig.)]	.000 ^b

a. Grouping Variable: Group

b. Not corrected for ties.

Mann-Whitney Test

Ranks

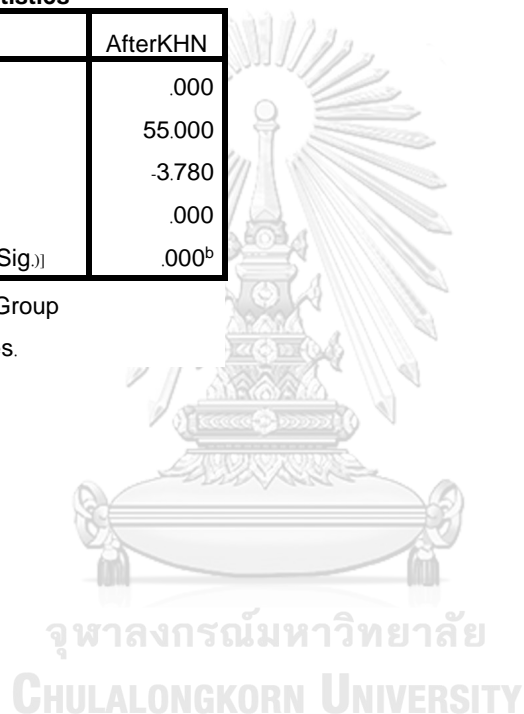
	Group	N	Mean Rank	Sum of Ranks
AfterKHN	CentionN	10	15.50	155.00
	Composite	10	5.50	55.00
	Total	20		

Test Statistics^a

	AfterKHN
Mann-Whitney U	.000
Wilcoxon W	55.000
Z	-3.780
Asymp. Sig. (2-tailed)	.000
Exact Sig. [2*(1-tailed Sig.)]	.000 ^b

a. Grouping Variable: Group

b. Not corrected for ties.



การวิเคราะห์เปรียบเทียบค่าเฉลี่ยร้อยละการคืนกลับความแข็งผิวนะดับจุลภาคระหว่างคู่ด้วยสถิติแบบอนพารามetric ชนิด Mann-Whitney Test

Mann-Whitney Test

Ranks

	Group	N	Mean Rank	Sum of Ranks
PercentRe	GI	10	5.50	55.00
	CentionN	10	15.50	155.00
	Total	20		

Test Statistics^a

	PercentRe
Mann-Whitney U	.000
Wilcoxon W	55.000
Z	-3.780
Asymp. Sig. (2-tailed)	.000
Exact Sig. [2*(1-tailed Sig.)]	.000 ^b

a. Grouping Variable: Group

b. Not corrected for ties.

Ranks

	Group	N	Mean Rank	Sum of Ranks
PercentRe	GI	10	15.50	155.00
	Composite	10	5.50	55.00
	Total	20		

Test Statistics^a

	PercentRe
Mann-Whitney U	.000
Wilcoxon W	55.000
Z	-3.780
Asymp. Sig. (2-tailed)	.000
Exact Sig. [2*(1-tailed Sig.)]	.000 ^b

a. Grouping Variable: Group

b. Not corrected for ties.

Mann-Whitney Test

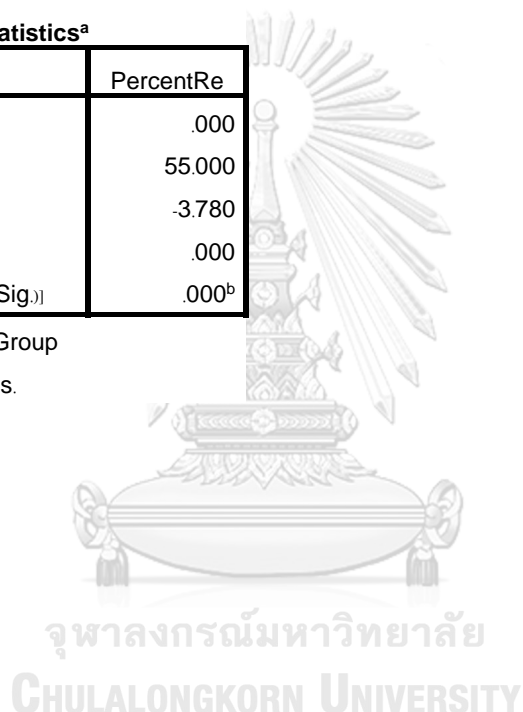
Ranks				
	Group	N	Mean Rank	Sum of Ranks
PercentRe	CentionN	10	15.50	155.00
	Composite	10	5.50	55.00
	Total	20		

Test Statistics^a

	PercentRe
Mann-Whitney U	.000
Wilcoxon W	55.000
Z	-3.780
Asymp. Sig. (2-tailed)	.000
Exact Sig. [2*(1-tailed Sig.)]	.000 ^b

a. Grouping Variable: Group

b. Not corrected for ties.



สถิติสัมประสิทธิ์สหสัมพันธ์ภายในชั้น (intraclass correlation coefficient: ICC) ในการทดสอบความน่าเชื่อถือของผู้ประเมิน (intra-rater reliability)

Case Processing Summary		
	N	%
Cases	Valid	10 100.0
	Excluded ^a	0 .0
	Total	10 100.0

a. Listwise deletion based on all variables in the procedure.



Intraclass Correlation Coefficient

	Intraclass Correlation ^b	95% Confidence Interval		F Test with True Value 0			
		Lower Bound	Upper Bound	Value	df1	df2	Sig
Single Measures	.860 ^a	.182	.970	26.798	9	9	.000
Average Measures	.925 ^c	.308	.985	26.798	9	9	.000

Two-way mixed effects model where people effects are random and measures effects are fixed.

a. The estimator is the same, whether the interaction effect is present or not.

b. Type A intraclass correlation coefficients using an absolute agreement definition.

c. This estimate is computed assuming the interaction effect is absent, because it is not estimable otherwise.

จุฬาลงกรณ์มหาวิทยาลัย
CHULALONGKORN UNIVERSITY



ประวัติผู้เขียน

ชื่อ-สกุล	ทิพย์ธิดา ชีรรักษ์
วัน เดือน ปี เกิด	23 กรกฎาคม 2534
สถานที่เกิด	กรุงเทพฯ
วุฒิการศึกษา	หันตแพทยศาสตร์บัณฑิต จุฬาลงกรณ์มหาวิทยาลัย (ปี 2559)
ที่อยู่ปัจจุบัน	99 ซอยลาดพร้าว 71 วังทองหลาง กรุงเทพฯ 10310
ผลงานตีพิมพ์	-
รางวัลที่ได้รับ	-



จุฬาลงกรณ์มหาวิทยาลัย

CHULALONGKORN UNIVERSITY